

E  
M22

UNIVERSIDAD NACIONAL  
DEL CALLAO  
FACULTAD DE INGENIERIA  
ELECTRICA Y ELECTRONICA

TEMA:

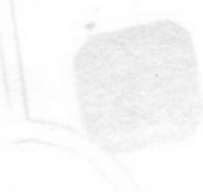
IMPLEMENTACION DE SALA  
DE PRUEBAS PARA  
TRANSFORMADORES DE  
DISTRIBUCION

INFORME SUSTENTATORIO PRESENTADO POR  
MOISES WILLIAM MANSILLA RODRIGUEZ

PARA OPTAR EL TITULO PROFESIONAL EN:  
INGENIERIA ELECTRICA

BELLAVISTA, ENERO DE 1994

01



A mis amados padres Glicerio y Noel,  
al constante apoyo y cariño de mis  
hermanos. Y en especial a Yrma Amelia  
mi indesmayable esposa, así como a  
mis adorados hijos Arturo Tomás e  
Isabel Mía por su alegre compañía en  
esta vida

## INDICE

CAPITULO I . . . . .	3
GENERALIDADES . . . . .	3
1.1 Alcances . . . . .	3
1.2 Valores preferenciales de la potencia nominal para transformadores de distribución . . . . .	4
1.3 Características físicas y accesorios de los transformadores de distribución . . . . .	6
1.3.1 Núcleo . . . . .	6
1.3.2 Bobinados . . . . .	8
1.3.3 Tanque . . . . .	12
1.3.4 Accesorios . . . . .	15
1.3.5 Aceite . . . . .	17
1.4 Ensayos de Recepción a efectuar en transformadores de distribución . . . . .	20
CAPITULO II . . . . .	23
CARACTERISTICA DE LOS EQUIPOS A EMPLEAR PARA LAS PRUEBAS DE RECEPCION A EFECTUAR EN TRANSFORMADORES DE DISTRIBUCION . . . . .	23
2.1 Regulador de Inducción . . . . .	23
2.2 Aparatos de Medición . . . . .	28
2.3 Medición de la Resistencia de Aislamiento . . .	29
2.4 Medición de la Resistencia de los Arrollamientos . . . . .	31

2.5	Medición de la Relación de Transformación y Grupo de Conexión . . . . .	38
2.6	Medidas de las Perdidas debidas a la Carga y de la Tensión de Cortocircuito . . . . .	44
2.7	Medida de las Perdidas y de la Corriente en Vacío . . . . .	53
2.8	Ensayo de Tensión Inducida . . . . .	58
2.9	Ensayo de Tensión Aplicada . . . . .	62
2.10	Ensayo de Calentamiento . . . . .	65
<b>CAPITULO III</b>	. . . . .	74
<b>CALCULO DEL TRANSFORMADOR AUXILIAR PARA PRUEBA DE TENSION DE TRANSFORMADORES DE DISTRIBUCION</b>		74
3.1	Resumen de las características a obtener . . .	74
3.2	Símbolos a emplear . . . . .	74
3.3	Cálculo de las dimensiones del Núcleo . . . .	75
3.4	Sección del Núcleo por columna . . . . .	77
3.5	Número de Espiras de Bobinado Primario y Secundario . . . . .	78
3.6	Cálculo de las Secciones de Conductor de Cobre y la densidad de corriente de los Bobinados . . . . .	78
3.7	Distribución de las Espiras del Bobinado Primario y Secundario por Columnas . . . . .	81

3.8 Cálculo de los Diametros de las Bobinas . . . . .	84
3.9 Pesos del Núcleo y del Cobre . . . . .	86
3.10 Perdidas en el Fierro y en el Cobre . . . . .	86
3.11 Tensión de Cortocircuito . . . . .	95
3.12 Dimensiones del Tanque . . . . .	96
3.13 Fabricación de Caja para Transformador Monofásico en Aceite . . . . .	100
CONCLUSIONES . . . . .	103
BIBLIOGRAFIA . . . . .	105

## INTRODUCCION

En la organización de una empresa dedicada a la fabricación y/o reparación de maquinas eléctricas, es importante la función que cumple la SALA DE PRUEBAS en el control de calidad de los materiales y equipos que ingresan a ella. Es allí donde se efectúan diversos tipos de prueba (recepción, previa y final) que permiten comprobar el buen funcionamiento de una máquina eléctrica cumpliendo ésta las exigencias dadas en las normas nacionales e internacionales.

Los resultados obtenidos son registrados en un protocolo de pruebas que permite tener la información ordenada de cada máquina probada.

En el caso de la fabricación de transformadores, se procede a realizar las pruebas previas verificando que la parte activa construida este de acuerdo con las especificaciones dadas por el Ingeniero Calculista, verificando también la construcción de la caja metálica, la rigidez dieléctrica del aceite aislante y los accesorios con que cuenta el transformador.

Posteriormente, terminado el montaje del transformador se procede a realizar la prueba final en la cual se realizan los ensayos recomendados por la Norma Técnica ITINTEC 370.002, pudiendo estar presente el cliente a fin de verificar la calidad del producto.

En el caso de mantenimiento o reparación de transformadores se procede inicialmente a anotar en el protocolo de pruebas las observaciones externas y los valores obtenidos de las pruebas de recepción, que permiten recomendar los trabajos a efectuar en el transformador para su normal funcionamiento.

Luego de aceptar el cliente el presupuesto y realizar los trabajos, se procede a verificar el estado del transformador mediante las pruebas previas y final en forma consecutiva de acuerdo a las recomendaciones dadas en la norma.

El siguiente trabajo se realizó con la finalidad de implementar una sala de pruebas, para una pequeña empresa, que permita cumplir con las medidas y ensayos que se deben efectuar a los transformadores de distribución hasta una potencia de 630 kVA y un nivel de tensión de 10 kV, de acuerdo a la Norma Técnica Peruana ITINTEC 370.002 y con las recomendaciones de la Comisión Electrotécnica Internacional Pub. 76, para asegurar que el transformador bajo prueba satisfaga las condiciones especificadas por el fabricante, en lo que respecta diseño, dimensiones y calidad de los principales materiales y de la mano de obra.

## CAPITULO I :

### GENERALIDADES

#### 1.1 ALCANCES

De acuerdo al Código Nacional de Electricidad, los niveles de tensiones aprobadas para los sistemas de distribución primaria que abastecen servicios públicos son:

Tensión Nominal KV	Tensión Máxima del Sistema KV
2.3	2.4
6.6	6.9
<u>10.0</u>	<u>10.5</u>
<u>13.2</u>	<u>13.8</u>
<u>23.0</u>	<u>24.0</u>
30.0	31.5

En la elaboración de proyectos de sistemas de distribución primaria deberá tenerse en cuenta las tensiones subrayadas, según Norma DGE correspondiente.

Los niveles de tensión aprobados para los sistemas de distribución secundaria son:

Red Trifásica V	Red Monofásica V
220	220
380 / 220	440 / 220

Las tensiones que se emplearan serán tales que permitan adoptar los siguientes sistemas de corriente alterna:

- 220 V, trifásico, 3 conductores (activos)
- 380 / 220 V, trifásico, 4 conductores (3 conductores activos y un conductor neutro con puesta a tierra múltiple)
- 220 V, monofásico, 2 conductores (activos)
- 440 / 220 V, monofásico, 3 conductores (2 conductores activos y 1 conductor neutro con puesta a tierra múltiple)

De acuerdo a los niveles de tensión recomendadas según DGE, en el presente trabajo se ha considerado que la Sala de Pruebas esté en capacidad de probar transformadores con un nivel de tensión hasta 10 KV.

#### 1.2 VALORES PREFERENCIALES DE LA POTENCIA NOMINAL PARA TRANSFORMADORES DE DISTRIBUCION

De acuerdo a la DGE, la potencia nominal, el esquema de conexión y el número de transformadores, deberán ser elegidos en función de la necesidad del servicio del sistema de distribución.

Deberá tener tomas suplementarias en el devanado primario o con conmutador de regulación que permite el ajuste de la tensión secundaria.

Los transformadores hasta una potencia de 100 KVA deberán estar dotados de orejas para su izamiento.

Asimismo, los transformadores a instalarse al interior deberán estar provistos de ruedas para su movimiento sobre rieles en el piso.

Los niveles de potencia para los transformadores de distribución son:

POTENCIA NOMINAL DE TRANSFORMADORES EN KVA Monofásico	Trifásico
15	<u>50</u>
<u>25</u>	<u>75</u>
<u>37.5</u>	<u>100</u>
<u>50</u>	<u>160</u>
<u>75</u>	<u>250</u>
100	<u>315</u>
	<u>400</u>
	500
	<u>630</u>
	800
	1000
	1600

En la elaboración de proyectos deberán adoptar las potencias subrayadas.

De acuerdo a las potencias adoptadas según DGE, para el presente trabajo se consideró que la Sala de Pruebas esté en capacidad de probar transformadores hasta 630 KVA.

### 1.3 CARACTERISTICAS FISICAS Y ACCESORIOS DE LOS TRANSFORMADORES DE DISTRIBUCION.

#### 1.3.1 NUCLEO

Para los transformadores trifásicos de distribución se utiliza la disposición de los núcleos en tres columnas, mientras que para los transformadores monofásicos son construidos en dos columnas o del tipo acorazado.

Las chapas de grano orientado (laminado en frío) que constituye los núcleos es suministrado por las acerías en forma de rollos de diferentes anchos, se trata de chapa para transformadores de 0.3 mm de espesor y con una cifra máxima de pérdidas de 0.97 W/Kg para 1.5 T en la dirección del laminado, estas chapas son de acero especial con un 3% a 5% de Silicio, y está recubierta por ambos lados de una fina capa de fosfato (Film de Carlite). La aleación del Silicio tiene importancia porque reduce las pérdidas por histéresis y aumenta la resistividad del acero logrando disminuir las pérdidas por corrientes parásitas, como también protege contra el óxido y el envejecimiento de las planchas.

En el caso de los núcleos acorazados son de sección rectangular dividido en dos mitades. Cada mitad se obtiene bobinando un toroide con una cinta de chapa magnética, después de lo cual se prensa para darle una forma rectangular, se corta en cada vuelta para permitir su ensamblaje alrededor de los arrollamientos este núcleo es recocido para reducir el esfuerzo mecánico.

En el caso de los núcleos de columnas para transformadores monofásicos pueden ser de sección rectangular o escalonada y para transformadores trifásicos generalmente son de sección escalonada.

El apilado se efectúa por lo general disponiendo las chapas de manera que las uniones se vayan alternando consiguiendo un ensamblaje perfecto y rígido.

Para los efectos de sujeción del núcleo se utiliza madera de madera especialmente tratada ó perfiles de hierro, se emplean espárragos de acero para mantener rígidamente unidas entre sí las chapas superiores e inferiores de los yugos constituyendo un bastidor mecánicamente capaz de soportar fuertes cargas que asume los esfuerzos totales al ser levantada la parte activa del transformador; los de compresión ejercidos por los arrollamientos estabilizados o los axiales que provocan los arrollamientos en caso de cortocircuito.

### 1.3.2 BOBINADOS

Al bloque del bobinado pertenecen los arrollamientos de AT y BT , sistemas aislantes y aros de presión de una columna.

El bloque constituye un elemento prefabricado en estado comprimido y secado que es introducido en el núcleo de acero.

En transformadores de distribución, los arrollamientos y aislantes son ejecutados uno sobre el otro en máquinas bobinadoras que son tornos especiales, previstos de contador de vueltas y parada automática; los moldes utilizados son generalmente de madera y deben ser desarmables para poder quitar los arrollamientos después de ejecutados.

Según la disposición de los arrollamientos de AT y BT se dividen en:

A) ARROLLAMIENTOS CONCENTRICOS, o sea, los que en todas las secciones transversales representan circunferencias con centro común.

Los principales tipos de arrollamientos concéntricos son :

#### A.1) Arrollamiento cilíndrico ó de capas

Para altas corrientes y bajas tensiones generalmente se emplean conductores de cobre de sección rectangular que pueden ser esmaltados o desnudos forrados con cinta de papel o cinta de algodón.

Normalmente el arrollamiento de BT se hace de dos capas, en cada una de ellas se arrollan las espiras helicoidalmente muy juntas una a otra a lo largo de la generatriz del cilindro, el conductor rectangular se arrolla tal que el lado más ancho es colocado en dirección axial y la espira puede estar constituida por uno o más alambres en paralelo. Así pues, la altura del arrollamiento es la altura de capa.

Para mejorar la refrigeración se deja entre las capas del arrollamiento un canal de 5 mm de anchura.

En el arrollamiento de AT se utiliza el conductor de cobre de sección circular esmaltada, con el cual se puede formar bobinas con varias capas (galletas) aisladas una de otra por arandelas de cartón aislante o por canales de aceite; también este arrollamiento puede ser efectuado como bobinado continuo, considerando en ambos casos derivaciones que representan el porcentaje de elevación o reducción de voltaje tal como  $\pm 2.5\%$  ,  $\pm 5\%$  del voltaje nominal.

#### A.2) Arrollamiento helicoidal

A.2.1 Arrollamiento helicoidal simple, en el cual, así como en el cilíndrico, las espiras están arrolladas en línea helicoidal, pero en éste se deja entre dos espiras contiguas por altura un canal de 4.5 - 6 mm de anchura.

A.2.2 Arrollamiento semihelicoidal, en el que cada dos espiras, excepto las de los extremos, se unen en una sola bobina sin canal.

Una espira del arrollamiento helicoidal o semihelicoidal consta de varios conductos paralelos de sección transversal rectangular dispuestos en dirección radial del arrollamiento de plano y junto uno a otro.

Para conseguir la distribución más uniforme posible de la corriente entre las derivaciones paralelas, se recurre al cruzamiento (transposición) de los conductores.

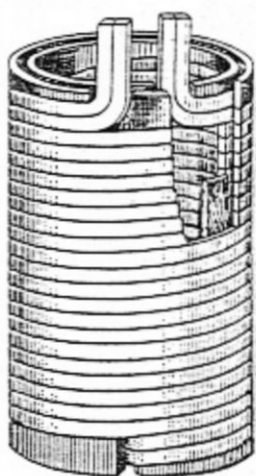
El arrollamiento helicoidal se usa ampliamente como arrollamiento de BT para transformadores de distribución y especialmente de gran potencia.

A.2.3 Arrollamiento continuo, En los arrollamientos de AT (de 35 KV y más) se utiliza el arrollamiento continuo, que a diferencia del arrollamiento helicoidal, consiste en una serie de bobinas planas, o sea, discos separados uno de otro por canales. Si la espira del arrollamiento consta de varios conductores paralelos, entonces, lo mismo que en el arrollamiento helicoidal, se recurre al cruzamiento de éstos.

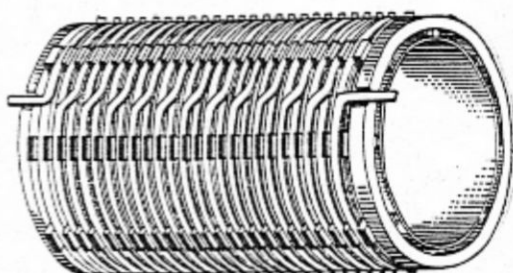
B) ARROLLAMIENTOS ALTERNADOS, las partes de los arrollamientos de AT y BT se alternan y están dispuestos de tal manera que las bobinas del arrollamiento de BT se encuentre más cerca de la culata.

Este tipo de arrollamiento se utiliza principalmente en los transformadores acorazados.

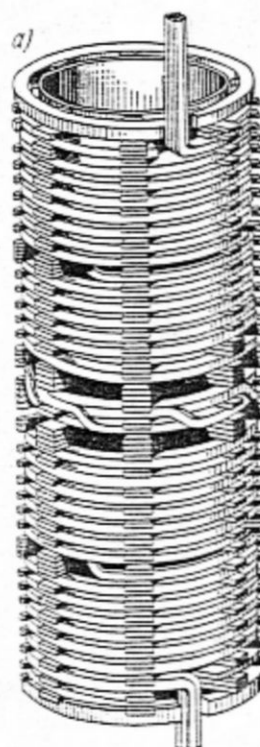
En la prueba de aislamiento de corta duración con corriente alterna, se presentan grandes solicitudes entre los arrollamientos de los sistemas de tensiones y la tierra, se considera que el aislamiento formado por el dieléctrico aceite prespan constituye una solución óptima ya que requiere un espacio reducido y presenta una resistencia de aislamiento duradera.



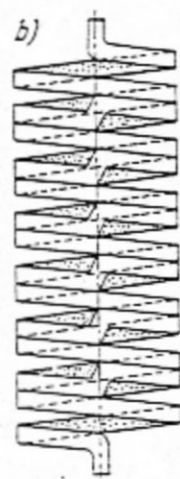
cilíndrico de dos capas



continuo



a)



b)

helicoidal: a — simple;  
b — semihelicoidal

### 1.3.3 TANQUE

El tanque sirve de recipiente para el aceite, protegiéndolo de la contaminación y suministrando al mismo tiempo la superficie necesaria de refrigeración para la disipación de calor. Los tanques pueden ser redondos, ovalados, rectangulares y de otras formas según el tipo de núcleo y bobinas que tengan que contener, contando con los espacios necesarios para el aislamiento.

La construcción del tanque varía con la potencia del transformador, por lo que:

1. Los transformadores de pequeña potencia ( de aproximadamente hasta 50 KVA ) tienen tanque liso, que se considera el tipo mas simple.

2. En los transformadores de mayor potencia se utiliza tanques en cuyas paredes están soldados tubos de aproximadamente 50 mm de diámetro dispuestos en una, dos ó tres filas; también se utilizan tanques con paredes de fierro ondulado y tanques con radiadores.

Generalmente los transformadores de distribución monofásicos cuentan con una escotilla (hand hole) de cierre hermético que permite operar el conmutador en vacío, sin tener que abrir la tapa.

En los transformadores de distribución trifásicos a fin de evitar el tener que manipular en el interior del tanque, una vez desconectado el transformador de la red, para variar la relación de tensiones la mayoría de transformadores van equipados con conmutadores que pueden ser accionados desde el exterior y montados sobre la tapa.

Los conmutadores suelen llevar un dispositivo mecánico de enclavamiento para mantenerlo en posición.

El fondo y la tapa son en general planos y ejecutados con plancha gruesa sin refuerzos.

El tanque y la tapa están constituidos para resistir, sin deformaciones permanentes, las fuerzas producidas por acción del izamiento y elevación de gatos del transformador completo.

Los transformadores podrán ser del tipo sellado o equipado con tanque conservador de aceite.

El transformador con tanque conservador, cumplirá las siguientes especificaciones:

El tanque conservador será a su vez tanque de expansión y de conservación de aceite para proteger el transformador contra la absorción de humedad y disminuir la oxidación.

La respiración del transformador se hará por medio de este recipiente en serie con un desecador de aire de gel de silice.

El tanque conservador está provisto de válvulas para muestreo y drenaje. Para propósito de mantenimiento un extremo del tanque conservador será completamente removible, además tiene un indicador de nivel de aceite y un relé tipo Buchholz ubicado entre el tanque y el tanque conservador.

El tanque sellado considera que el interior del tanque esta herméticamente aislado del medio exterior y es suministrado con un relé de presión súbita provisto de contactos, que responde a la tasa de elevación de presión interna.

Sobre la tapa se encuentran los bornes aisladores de porcelana cuya superficie vidriada, de color uniforme, libre de porosidades e inmune a la humedad y a la contaminación atmosférica, son fijadas mediante pernos de anclaje.

A pedido del cliente se pueden efectuar las pruebas tipo de sobrepresión, según el cual los tanques se construirán de manera que llenos de aceite a la temperatura de 25°C y después de haber estado funcionando el transformador durante 12 horas a plena carga y en un ambiente de 40°C de temperatura, la sobrepresión en el

volumen de aire por encima del aceite, no exceda los 7 psig (0.5 atmósferas). El tanque con su tapa, aisladores y accesorios montados deberá probarse con un mínimo de 7 psig de sobrepresión interior por lo menos durante 6 horas. Para considerar que un tanque ha sido construido adecuadamente deberá soportar la presión indicada sin que se presente deformación permanente en la plancha, ni variación de la presión inicial ejecutándose el control mediante manómetro.

El acabado del tanque debe asegurar un alto grado de resistencia a la corrosión, tanto en la zona exterior como interior, para lo cual serán limpiados eliminando el óxido, grasa o suciedad mediante el sistema de sopleteado con arena seca de río; granalla de acero o similar. Luego se aplicará una capa de pintura anticorrosiva y las de acabado tipo epóxico en toda la superficie.

#### 1.3.4 ACCESORIOS

##### A) RELE BUCHHOLZ

Si el transformador se diseña con inclusión de tanque conservador de aceite, éste estará provisto de dicho relé, de tipo antisísmico en todos los casos, con contactos de alarma y desconexión independientes siendo adecuados para conexión con brida y empaquetadura a la tubería que conduce al conservador.

##### B) RELE DE IMAGEN TERMICA

El transformador estará equipado con un detector de la temperatura de los devanados, tipo resistencia.

C) INDICADOR DE TEMPERATURA DEL ACEITE

El transformador esta equipado con termómetro, con su elemento sensor en la trayectoria del aceite mas caliente; estará localizado en tal forma que se pueda leer desde el piso; y su diseño prevee su instalación a intemperie, tanto en climas tropicales como en climas árticos.

D) INDICADOR DE NIVEL DE ACEITE

Con esfera para lectura local desde el nivel de aceite desde el conservador en la ejecución con tanque de expansión o desde el nivel de aceite en el tanque principal en la ejecución con tanque sellado.

E) VALVULA DE SEGURIDAD

El tanque del transformador esta provisto de una válvula de alivio que lo protege de las presiones internas excesivas.

F) VALVULAS DE VACIADO Y LLENADO

El transformador esta provisto de válvulas montadas una en la parte superior del tanque y la otra en el fondo.

G) PLACA DE CARACTERISTICAS

Se suministrará con el transformador una placa en la que aparecen sus características de fabricación, tanto datos eléctricos como mecánicos. Además incluye un esquema de conexiones, claramente visible.

### 1.3.5 ACEITE

Es de vital importancia como elemento aislante, pues, presenta una gran rigidez dieléctrica, después de un sencillo tratamiento y la posibilidad de transmitir el calor por convección, al mismo tiempo que protege a los materiales sólidos de su contacto con la humedad y el aire.

Debe hacerse notar que los aceites minerales en servicio no conservan indefinidamente sus propiedades originales, ya que estas varian, mas o menos, de prisa según la temperatura, por la acción combinada del calor y el oxígeno de aire, formando productos de oxidación solubles en el aceite, como los lodos, por ejemplo. estos últimos son especialmente perturbadores, por que al depositarse sobre la superficie de los bobinados hacen mas difícil la evacuación del calor.

Los transformadores son llenados con aceite suficiente para completar el tanque y los radiadores. Previamente a la inmersión en el aceite, la parte activa del transformador es secada en un horno apropiado con circulación de aire caliente.

## CARACTERISTICAS PRINCIPALES DE UN ACEITE NUEVO

De acuerdo con la recomendación VDE 0370/10.66 , son :

- Densidad a 15°C, valor máximo 0,890  
a 20°C, valor máximo 0,887

- Viscosidad	a 20°C, valor máximo 30 cSt a -30°C, valor máximo 1800 cSt
- Punto de inflamación	valor mínimo 140 C
- Cenizas	inapreciables
- Azufre corrosivo	exento
- Indice de neutralización	inapreciable
- Indice de saponificación	valor máximo 0,10 mg KOH/g de aceite
- Tensión de perforación	valor medio mínimo 60 KV (rigidez dieléctrica 240 KV/cm)
- Factor de pérdidas	(a 90°C) tg d, valor máx. $4 \cdot 10^{-10}$

#### ENSAYOS PARA OBTENER LA RIGIDEZ DIELECTRICA DEL ACEITE

##### A) ENSAYO CEI

De acuerdo con las recomendaciones de la CEI Nr 156, se prueba la rigidez del aceite entre electrodos a bolas de 12, 5 mm de diámetro y 2.5 mm de descarga con electrodos semiesféricos (llamados discos VDE) igualmente con 2.5 mm de descarga de chispa. Se llenará el recipiente de pruebas limpio vertiendo el aceite (a 15°C - 25°C) lentamente (para evitar burbujas) y se efectuará inmediatamente el ensayo. Se aumentará regularmente la tensión de 2 KV/seg hasta la descarga 6 veces seguidas; después de cada descarga se limpiará el espacio entre los electrodos de

restos quemados por medio de un bastoncito de vidrio de 2 mm de diámetro haciéndolo ir y venir lentamente entre los electrodos.

Como valor de rigidez se tomará la media aritmética de los 6 valores de descarga obtenidos (suma de los 6 valores dividido por 6).

Ninguno de los 6 valores de descarga debe ser menor que un 85% del resultado medio; en caso contrario se deberá repetir la prueba con una nueva muestra de aceite.

#### B) ENSAYO ASTM - D 1816

Este método es comparable al de CEI. El ensayo se lleva a cabo con semiesferas VDE y distancias de ruptura de 0.008" ó de 0.004".

Para cada muestra de aceite se hacen 6 ensayos que con excepción del primero, se utilizarán para determinar el valor medio de la descarga.

#### C) ENSAYO ASTM - D 877

Para este método se utilizan electrodos planos con cantos vivos de 1" de diámetro y 0.1" de distancia de ruptura.

El incremento del voltaje es de 3 KV/seg y se emplean 5 muestras de aceite con una descarga para cada una.

AMERICAN SOCIETY FOR TESTING AND MATERIALS  
1916 Race St., Philadelphia, Pa. 19103  
Reprinted from the Annual Book of ASTM Standards, Copyright ASTM  
It not listed in the current combined index. A number in parentheses indicates the year of last  
reapproval. A superscript epsilon (ε) indicates an editorial change since the last revision or reapproval.

## Standard Test Method for DIELECTRIC BREAKDOWN VOLTAGE OF INSULATING OILS OF PETROLEUM ORIGIN USING VDE ELECTRODES<sup>1</sup>.

This standard is issued under the fixed designation D 1816; the number immediately following the designation indicates the year of original adoption or, in the case of revision, the year of last revision. A number in parentheses indicates the year of last reapproval. A superscript epsilon (ε) indicates an editorial change since the last revision or reapproval.

### 1. Scope

1.1 This test method covers the determination of the dielectric breakdown voltage of insulating oils of petroleum origin. This test method is applicable to liquid petroleum oils commonly used in cables, transformers, oil circuit breakers, and similar apparatus as an insulating and cooling medium. The suitability of this test method for testing oils having viscosities of more than 19 cSt (mm<sup>2</sup>/s) (100 SUS) at 40°C (104°F) has not been determined.

1.2 This test method is more sensitive to the deleterious effects of moisture in solution than is Test Method D 877, especially when cellulosic fibers are present in the oil. It has been found to be especially useful in diagnostic and laboratory investigations of the dielectric breakdown strength of oil in insulating systems.

1.3 This test method is recommended for testing filtered, degassed, and dehydrated oil prior to and during the filling of power systems apparatus rated above 230 kV, and for testing samples of oil from the apparatus after filling. It is also finding increased usage for testing oils from transformers in service.

1.4 This test method is not recommended for, and should not be used for, acceptance tests on oil received from vendors in tank cars, tank trucks, or drums.

1.5 Both the metric and the alternative inch-pound units are acceptable.

1.6 *This standard may involve hazardous materials, operations, and equipment. This standard does not purport to address all of the safety problems associated with its use. It is the responsibility of whoever uses this standard to consult and establish appropriate safety and health practices, and determine the applicability of regulatory limits.*

### 2. Significance and Use

- 2.1 *ASTM Standard:*  
D 235 Specification for Mineral Spirits (Petroleum Spirits) (Hydrocarbon Dry-cleaning Solvent)<sup>2</sup>
- 2.2 *Test Method for Dielectric Breakdown Voltage of Insulating Liquids Using Disk Electrodes<sup>3</sup>*
- 2.3 *Methods of Sampling Electrical Insulating Liquids<sup>4</sup>*
- 2.4 *IEEE Standard:*  
No. 4 Measurement of Voltage in Dielectric Test

### 3. Significance and Use

3.1 The dielectric breakdown voltage of an insulating liquid is of importance as a measure of the liquid's ability to withstand electric stress without failure. It serves to indicate the presence of contaminating agents such as water, dirt, moisture cellulosic fibers, or conducting particles in the liquid, one or more of which may be present in significant concentrations when low breakdown voltages are obtained. However, a high dielectric breakdown voltage does not necessarily indicate the absence of all contaminants; it may merely indicate that the concentration of contaminants that are present in the liquid between the electrodes are not sufficient to cause breakdown.

<sup>1</sup> This test method is under the jurisdiction of ASTM Committee D-27 on Electrical Insulating Liquids and Gases and is the direct responsibility of Subcommittee D27.05 on Electrical Insulating Liquids.

<sup>2</sup> Current edition approved June 28, and July 27, 1984. Previously published as D 1816 - 82.

<sup>3</sup> *Annual Book of ASTM Standards, Vol 06.03.*

<sup>4</sup> Available from the Institute of Electrical and Electronics Engineers Inc., 345 E. 47th St., New York, NY 10017.



tion of impurities through the liquid. In order that a representative test specimen containing the impurities may be obtained, the sample container shall be gently inverted and swirled several times before filling the test cell. Rapid agitation is undesirable, since an excessive amount of air may be introduced into the liquid. Immediately after agitation, a small portion of the sample shall be used to rinse the test cell. The cell shall then be filled slowly with the remaining portion of the sample. There shall be an interval of at least 3 min between filling and application of voltage for the first breakdown, and at least 1-min intervals before applications of voltage for successive breakdowns. During these intervals and at the time voltage is being applied, the propeller shall be circulating the oil.

**9. Test Temperature**

9.1 The temperature of the sample when tested shall be the same as that of the room, but the room temperature shall in no case be less than 20°C (68°F). Testing liquids at temperatures lower than that of the room may give variable and unsatisfactory results.

**10. Procedure**

10.1 *Rate-of-Rise of Voltage*—Apply the voltage and increase from zero at the rate of approximately  $1/2$  kV/s until breakdown occurs, as indicated by operation of the circuit-interrupting equipment; record the value. Occasional momentary discharges may occur which do not result in operation of the interrupting equipment; these shall be disregarded.

10.2 When it is desired to determine the value of the dielectric breakdown voltage of an oil, make five breakdowns on one filling of the cup. Examine the five breakdowns for statistical consistency, and if they meet the criterion described in 10.3, use their average to determine the dielectric breakdown voltage of the sample. If they do not meet this criterion, make five additional breakdowns on the sample, and use the average of all ten breakdowns as the dielectric breakdown voltage of the sample.

10.3 *Criterion for Statistical Consistency*

10.3.1 Calculate the mean and standard deviation of the five breakdowns as follows:

$$\bar{X} = \frac{1}{5} \sum_{i=1}^5 X_i \text{ and } s = \sqrt{\frac{1}{4} \sum_{i=1}^5 (X_i - \bar{X})^2 - 5\bar{X}^2}$$

## 4 MM RAD

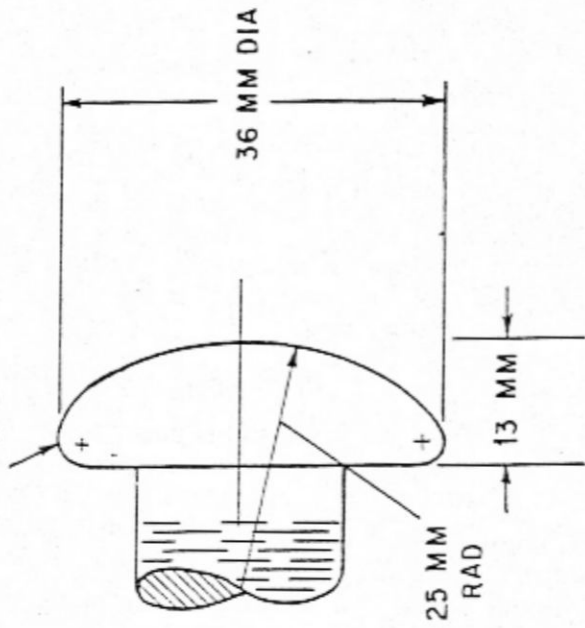


FIG. 1 VDE Electrode

## APPENDIX

### (Nonmandatory Information)

#### XI. OTHER FACTORS THAT AFFECT THE DIELECTRIC BREAKDOWN VOLTAGE OF INSULATING LIQUIDS AT COMMERCIAL POWER FREQUENCIES

XI.1 The dielectric breakdown voltage of a liquid at commercial power frequencies is also affected by the degree of uniformity of the electric field, the area of the electrodes or volume of the liquid under maximum stress, the length of time for which the liquid is under stress, the temperature of the liquid (especially as it affects the relative saturation level of moisture in solution), gassing tendencies of the liquid under the influence of electric stress, concentration of dissolved gases (especially if saturation levels are exceeded as a result of sudden cooling or decrease in pressure, which may cause the formation of gas bubbles), incompatibility with materials of construction, and velocity of flow. A decrease in dielectric strength

is often accompanied by an increase in breakdown voltage. The effect of the influences listed above, the average breakdown voltage of a liquid as determined by this test method, cannot be used for design purposes. Alternative test procedures that may yield more meaningful indications of the functional dielectric strength of a liquid are under consideration (for example, a step-by-step method of applying voltage, and using the lowest rather than the average value of breakdown voltage obtained in the prescribed number of tests).

The American Society for Testing and Materials takes no position respecting the validity of any patent rights asserted in connection with any item mentioned in this standard. Users of this standard are expressly advised that determination of the validity of any such patent rights, and the risk of infringement of such rights, are entirely their own responsibility.

This standard is subject to revision at any time by the responsible technical committee and must be reviewed every five years and if not revised, either reapproved or withdrawn. Your comments are invited either for revision of this standard or for additional standards and should be addressed to ASTM Headquarters. Your comment will receive careful consideration at a meeting of the committee concerned and if adopted may become a part of the standard or an amendment thereto. The responsible technical committee may consider your comments on a proposal for a new standard without preparation of a ballot. Your comments are known to the ASTM Committee on Standards, 1916 Race St., Philadelphia, Pa. 19103.

No aconsejamos el empleo de este método para las pruebas del aceite, ya que ensayos repetidos han mostrado que los electrodos empleados son insensibles a impurezas sólidas así como a agua contenida en el aceite.

En los métodos arriba descritos se aumentará siempre la tensión hasta lograr la ruptura.

Los valores obtenidos sin alcanzar la descarga son sin interés alguno.

En caso de necesidad se puede disminuir la distancia entre los electrodos a fin de alcanzar la ruptura. La rigidez dieléctrica es aproximadamente proporcional a la distancia de ruptura entre los valores de 1.5 y 2.5 mm.

La rigidez dieléctrica no es ningún criterio sobre el envejecimiento del aceite al igual que la clase de color que presenta la muestra.

La rigidez dieléctrica se mejora filtrando y secando el aceite.

#### 1.4. ENSAYOS DE RECEPCION A EFECTUAR EN TRANSFORMADORES DE DISTRIBUCION

Los fabricantes de los equipos eléctricos someten a éstos a pruebas y ensayos en sus laboratorios con la finalidad de comprobar que cumplen con las



especificaciones técnicas que dieron lugar a su fabricación.

El conjunto de estas pruebas que pueden ser pruebas tipo ( si solo se realizan en los prototipos), o pruebas de rutina ( si se efectúan a todas las unidades de un lote de fabricación) se encuentran normalizadas y su especificación generalmente toma como base las normas nacionales (si existen), o las normas internacionales que más se adecuen a las condiciones propias de cada país.

La Norma Técnica Peruana ITINTEC 370.002 de Mayo de 1967, establece que los transformadores de potencia deberán aprobar la siguiente serie de ensayos.

Ensayos de rutina (individuales)

- a) Medida de la resistencia de los arrollamientos.
- b) Medida de la relación de transformación y grupo de conexión.
- c) Medida de las pérdidas debidas a la carga y de la tensión de cortocircuito.
- d) Medida de la pérdidas en vacío y de la corriente de vacío.
- e) Ensayo de tensión inducida.
- f) Ensayo de tensión aplicada.

Ensayos tipo

- a) Ensayo de calentamiento.
- b) Ensayo de impulso a onda completa.
- c) Ensayo de impulso con onda recortada.

CAPITULO II :

CARACTERISTICAS DE LOS EQUIPOS A EMPLEAR PARA LAS PRUEBAS DE RECEPCION A EFECTUAR EN TRANSFORMADORES DE DISTRIBUCION

2.1 REGULADOR DE INDUCCION

Está constituido simplemente por un motor de inducción trifásico, de rotor devanado, al cual se le impide mecánicamente que gire al estar bajo la influencia del par producido por la reacción entre la corriente en el secundario y el campo magnético giratorio.

Si los secundarios S del motor se conectan en serie con las mismas líneas que alimentan los devanados del primario P, en la forma que se indica en la figura la tensión entre líneas 1', 2', 3' será mayor o menor que la existente entre las líneas 1, 2, 3 lo que dependerá de las posiciones relativas del estator y rotor.

Normalmente se sitúa el devanado secundario en el estator y el primario en el rotor. Los bornes del secundario (seis en una máquina trifásica) pueden entonces conectarse sólidamente en serie con sus respectivas líneas y los devanados primarios pueden ser alimentados por una corriente, mediante anillos deslizantes de tamaño moderado.

La tensión inducida en el secundario fijo por el campo magnético que gira sincrónicamente, permanecerá constante en magnitud cualesquiera que sean las posiciones relativas del estator y rotor, pero su fase con respecto a la tensión primaria variará continuamente mientras gira el rotor.

Esta propiedad se suele utilizar en los ensayos de laboratorio cuando se necesita tener disponible una tensión constante de fase variable.

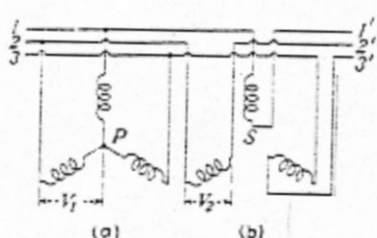
De acuerdo a la figura, se ve que la tensión resultante por fase puede variar continuamente desde  $V_1 - V_2$  hasta  $V_1 + V_2$  mientras el rotor gira en un ángulo de 180° grados eléctricos. Las posiciones intermedias del rotor producirán un desplazamiento de fase de las tensiones de linea indicadas por el triángulo 1'- 2'- 3' con respecto a la tensión de alimentación 1 - 2 - 3.

La rotación del órgano móvil se lleva a efecto mediante transmisión por tornillo sin fin con el engranaje sobre el eje del primario giratorio, lo que sirve al doble propósito de asegurar un ajuste exacto y, al mismo tiempo, impedir la rotación que, en otro caso, resultaría de la reacción entre el primario y el secundario.

La tensión secundaria  $V_2$ , varía su fase dentro del margen máximo de 180 grados eléctricos cuando el órgano móvil gira dentro del correspondiente ángulo mecánico. Así pues, teóricamente el regulador puede devanarse para cualquier número de polos, si bien el número usual es dos, aunque algunas veces se emplean cuatro en tamaños más grandes.

Existen diversas razones que aconsejan el empleo de un número pequeño de polos. En primer lugar, el espacio disponible para tales reguladores suele ser tan limitado que se hace necesario proyectar el regulador con un eje vertical y una longitud axial que resultara grande en comparación con su diámetro, lo que implica un pequeño número de polos. En segundo lugar, el regulador es un transformador con un entrehierro en su núcleo, lo que hace que la regulación de su tensión sea más pobre que la de un transformador ordinario, defecto que se agrava con un gran número de polos.

En tercer lugar, el verdadero desplazamiento angular del órgano móvil es mayor con unos pocos polos que con un número mayor, contribuyendo así a la suavidad del ajuste.



Esquema de conexiones de un regulador polifásico de tensión por inducción.

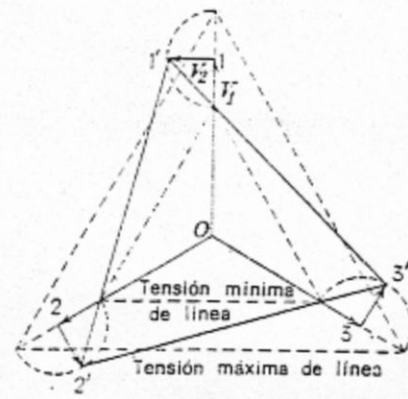


Diagrama vectorial, regulador trifásico por inducción.

POTENCIA ESTIMADA DEL REGULADOR

Considerando en prueba un transformador de las siguientes características:

KVA	:	630
FASES	:	3
VOLTS	:	10000 / 230
AMPERES	:	36.37 / 1581.44

PRUEBA EN VACIO

$$V_o = V_{nom} = 230 \text{ v}$$

$$I_o = 1.7\% I_{nom} = \frac{1.7}{100} (1581.44)$$

$$I_o = 26.88 \text{ A}$$

$$P_o = 1488 \text{ W}$$

Potencia Requerida: 10708.23 VA

PRUEBA DE CORTO CIRCUITO

$$V_{sc} = 4.5 \% V_{nom} = \frac{4.5}{100} (10000)$$

$$V_{sc} = 450 \text{ v}$$

$$I_{sc} = I_{nom} = 36.37 \text{ A}$$

$$P_{sc} = 9830 \text{ W}$$

Potencia Requerida: 28347.61 VA

PRUEBA DE CALENTAMIENTO

$$P_{TOT \ 75^{\circ}C} = P_o + P_{cc \ 75^{\circ}C}$$

$$P_{TOT \ 75^{\circ}C} = 1488 + 9830$$

$$P_{TOT \ 75^{\circ}C} = 11318 \text{ W}$$

$$I_{INICIAL} = \sqrt{\frac{P_{TOT \ 75^{\circ}C}}{P_{cc \ amb}}} * I_{amb}$$

$$I_{INICIAL} = \sqrt{\frac{11318}{8086}} * 36.37$$

$$I_{INICIAL} = 43 \text{ A}$$

$$V_{INICIAL} = \sqrt{\frac{P_{TOT \ 75^{\circ}C}}{P_{cc \ amb}}} * V_{cc}$$

$$V_{INICIAL} = \sqrt{\frac{11318}{8086}} * 450$$

$$V_{INICIAL} = 532.4 \text{ V}$$

Potencia Requerida: 39652 VA

Para el requerimiento de la pequeña empresa puede considerarse un regulador de inducción trifásico de 45 KVA - 60 Hz - 220 V/50 V ... 500 V.

## 2.2 APARATOS DE MEDICION

Los aparatos de medición son aparatos que posibilitan la medida de magnitudes eléctricas, según que indiquen, registren o totalicen la magnitud en juego se les designa como instrumentos indicadores, registradores o totalizadores.

Ellos indican una magnitud eléctrica la cual se diferencia de la verdadera por el error de indicación. Este error de indicación, cuando se expresa en forma porcentual es lo que define a la clase de precisión del instrumento.

En los instrumentos con cero mecánico, el error de indicación (diferencia el valor indicado y el correcto), se expresa en % de la longitud de la escala.

Existen 7 clases de precisión a saber: 0.1, 0.2, 0.5, 1.0, 1.5, 2.5 y 5.0.

Para las mediciones de precisión y de laboratorio se usan los instrumentos de clase : 0.1, 0.2 y 0.5.

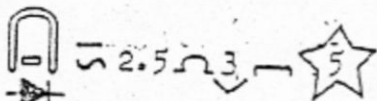
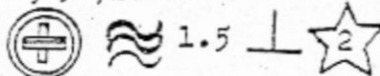
Para las mediciones de precisión y de laboratorio se usan los instrumentos de clase : 0.1, 0.2 y 0.5.

SÍMBOLO	D E N O M I N A C I O N	SÍMBOLO	D E N O M I N A C I O N	
A.-Símbolos que indican la naturaleza de la corriente y el N° de circuitos de corriente y tensión del aparato.			E.-Símbolos que indican el principio de funcionamiento de los aparatos de medida	
—	Corriente continua.		Aparato magneto-eléctrico (ó de bobina móvil)	
~	Corriente alterna.		Aparato magneto-eléctrico diferencial.	
~~	Aparato bifásico con 2 circuitos de corriente y uno de tensión.		Medidor de cociente magneto eléctrico.	
~~~	Aparato trifásico con 2 circuitos de corriente y 3 circuitos de tensión.		Aparato de imán móvil.	
NOTA.-Las sinusoides completas indican el N° de fases, los semiperíodos positivos gruesos el N° de circuitos de corriente, los semiperíodos negativos gruesos el N° de circuitos de tensión.				Aparato ferromagnético (ó de hierro móvil).
B.- Símbolo de tensión de prueba				Medidor de cociente ferromagnético.
	Tensión 500 Volts.		Aparato electrodinámico.	
	Nº en el interior indica el valor en KV. ("0" indica que el aparato no está previsto para soportar tensión de prueba alguna)		Aparato ferrodinámico.	
C.-Símbolos de posición para trabajo normal del aparato.				Medidor de cociente electrodinámico.
	Posición Vertical.		Aparato de inducción.	
	Posición horizontal.		Medidor de cociente de inducción.	
	Posición inclinada (ej. 60° )		Aparato electrostático.	
D.-Símbolo de regulación a cero.				Aparato térmico (de hilo caliente o de dilatación).
	Disposición de la regulación del cero		Aparato de láminas vibrantes.	
	Indicando el peligro de efectuar la regulación bajo tensión.		Aparato térmico (bimetálico).	

SIMBOLO	DENOMINACION	SIMBOLO	DENOMINACION
F.-Accesorios (El símbolo del accesorio debajo del símbolo del aparato indica que está incorporado. Cuando está el símbolo del accesorio al costado indica que está fuera del aparato pero que se tuvo en cuenta para su graduación)		G.-Símbolo para la clase de precisión de un instrumento	
	Termopar no aislado.	1.5	Cuando la clase se ha hallado, con referencia al valor máximo de la escala.
	Termopar aislado.	2	Idem anterior pero con referencia a la longitud de la escala (escalas no uniformes, ej. ohmímetros).
	Rectificador.	1	Hallada a partir del valor máximo menos el valor mínimo de la escala (escala fraccionada, ej. frecuencímetros).
	Transformador de corriente.		H.-Símbolos especiales.
	Transformador de tensión.		Protección electrostática.
	Resistencia en derivación para el aparato		Protección magnética.
	Resistencia en montaje potenciómetro.		Atención: "no tocar durante el trabajo puede resultar peligroso".
	Reactancia adicional.		Atención: No utilizar antes de consultar instrucciones especiales.
	Capacidad adicional.		

EJEMPLOS :

KW, 5A, 220V



Kilovatímetro ferrodinámico, para una corriente máxima de 5A, tensión de 220V; 30° con 2 circuitos de corriente y 2 de tensión; con clase de precisión de 1.5; posición normal vertical y tensión de prueba 2KV.

Instrumento de bobina móvil con rectificador incorporado; para corriente continua y alterna; 2.5 de clase de precisión como voltímetro o amperímetro; 3 de clase de precisión como ohmímetro; posición de trabajo horizontal y 5KV de tensión de prueba.

Para garantizar una correcta utilización de los instrumentos es necesario remitirse a las instrucciones de uso y empleo del fabricante de los mismos; pues el error de éstos es influenciado por la frecuencia de la red, por los campos magnéticos, por la posición de montaje, por la temperatura, por la forma de onda de la tensión, etc. Todos los instrumentos llevan en su escala una serie de simbolos que proporcionan información sobre su correcto uso.

## 2.3 MEDICION DE LA RESISTENCIA DE AISLAMIENTO

### 2.3.1 FINALIDADES Y CONSIDERACIONES GENERALES SOBRE ESTA PRUEBA

Es práctica común establecer el valor del aislamiento entre los arrollamientos y entre los arrollamientos y la tierra, antes de realizar los ensayos especificados por la norma CEI Pub 76 para la recepción de los transformadores de potencia.

La resistencia de aislamiento de los arrollamientos ésta sujeta a grandes variaciones con la temperatura, humedad, cualidades del líquido aislante y limpieza de las partes aislantes, puede suceder que los valores del aislamiento estén bajo los valores prescritos, sin embargo puede tratarse de un buen diseño en donde no exista ningún defecto, pudiendo llevar a la normalidad con solo limpiar y secar el transformador, a valores aceptables.

La apreciación del estado de aislamiento es necesario, antes de la aplicación de los ensayos dieléctricos y de la puesta en servicio de los transformadores.

### 2.3.2 METODOS DE ENSAYO

Se utiliza un Megohmetro de 500 VDC en la prueba previa, mientras que para prueba final del transformador se utiliza un Megohmetro con los siguientes niveles de tensión:

5000 VDC - Entre arrollamientos de AT y BT.

5000 VDC - Entre arrollamientos de AT y BT - Tierra.

500 VDC - Entre arrollamientos de BT y AT - Tierra.

La lectura de la resistencia de aislamiento se anota luego de un minuto de la aplicación constante de tensión de prueba, observando la temperatura a la cual se realiza la prueba.

La resistencia mínima de aislamiento permitida para transformadores según norma AIEE en Megaohms a 75°C deberá ser la siguiente:

$$\text{Resistencia de aislamiento} = \frac{\text{Tensión nominal}}{\text{KVA/100} + 1000}$$

Una fórmula práctica es considerar como resistencia mínima de aislamiento a 75°C el valor de un Megaohm por cada kilovoltio de la tensión nominal.

#### 2.3.3 INSTRUMENTO NECESARIO PARA EFECTUAR LA PRUEBA.

-Un Megóhmímetro

Fabricante	: ABB METRAWATT
Tipo	: METRISO 5000
Tensión de prueba	: 500-1000 - 2500-5000 V
Escala	: 500 - 2000 - 20000 MΩ

(Ver detalle en apéndice)

### 2.4 MEDICION DE LA RESISTENCIA DE LOS ARROLLAMIENTOS

#### 2.4.1 FINALIDADES Y CONSIDERACIONES GENERALES SOBRE ESTA PRUEBA

La medición de la resistencia óhmica es de fundamental importancia teniendo en cuenta los siguientes objetivos:

1. Para el cálculo de las pérdidas Joule, suplementarias y tensión de cortocircuito en el ensayo de cortocircuito.
2. Para determinar el calentamiento de los arrollamientos en el ensayo de calentamiento.

2.4.2 DETERMINACION DE LA TEMPERATURA DE LOS ARROLLAMIENTOS EN FRIO

La temperatura de los arrollamientos en frio deberá ser determinada en forma tan precisa como sea posible, cuando se éste midiendo la resistencia en frio.

Las siguientes precauciones deberán ser observadas:

a) En general:

Una medición de la resistencia en frio deberá ser realizada en un transformador cuando éste se encuentre en un local sujeto a corrientes de aire o cuando esté localizado en una sala en la cual la temperatura este variando constantemente.

b) Transformadores con arrollamientos en aceite:

La temperatura de los arrollamientos debe ser considerada a la misma temperatura del aceite, admitiéndose que los arrollamientos han estado inmersos en aceite, sin excitación y sin corriente, por un periodo de tres a ocho horas, antes de ser efectuada la medición de la resistencia en frio, dependiendo del tamaño del transformador.

#### 2.4.3 METODOS DE ENSAYO

##### A) METODO DE CAIDA DE POTENCIAL

El método de caída de potencial es generalmente más conveniente para mediciones de campo y se debe utilizar solamente si la corriente nominal de los arrollamientos es mayor de un ampere.

La medición se hace con corriente continua y las lecturas de corriente y voltaje deberán ser simultáneas.

La resistencia se calcula aplicando la ley de Ohm con las lecturas tomadas. En la medición de resistencia óhmica por el método de caída de potencial deberán tomarse en cuenta las siguientes observaciones:

- a) La corriente usada en la medición no deberá exceder del 15% de la corriente nominal del arrollamiento en prueba, para evitar errores por calentamiento en los conductores.
- b) Con el objeto de disminuir la constante de tiempo ( $T = L/R$ ) del circuito se debería utilizar una resistencia en serie elevada. Los terminales del voltímetro deberán ser independientes de los terminales del amperímetro y deberán conectarse tan cerca como sea posible del los terminales del arrollamiento a medir.

- c) Durante la conexión y desconexión de la corriente de medida, el voltímetro debe permanecer desconectado (evitar que el fenómeno transitorio dañe al circuito).
- d) Al medir la resistencia en transformadores trifásicos debe recordarse que midiendo la resistencia R entre dos de los bornes, se tendrá:

- Con conexión en estrella o zig-zag el doble de la resistencia "r" de una fase y en consecuencia para conocer la resistencia de una fase debe dividirse por dos el resultado de la medición

$$r = R / 2$$

- En la conexión en triángulo se mide la resistencia de un cortocircuito que consta de dos ramas en paralelo, formadas una de ellas por una fase y la otra por dos fase en serie entre sí, por consiguiente

$$r = 3/2 R$$

Se debe medir la resistencia óhmica de las tres combinaciones de bornes tomados dos a dos puesto que las posibles diferencias puede ser indicio de algún defecto constructivo.

## B) METODO DE PUENTES

En general en el laboratorio, el método que se prefiere por su exactitud y conveniencia es el método de los puentes(Kelvin y Wheatstone) en el cual se aplica el principio de comparación de una resistencia conocida comparada con la resistencia por medir, y se pueden leer resistencias hasta 10000 ohms. Para valores de resistencia que caen dentro del rango de 5 a 10000 ohms es recomendable el uso del puente de Wheatstone y para aquellas que caen dentro del rango de 0.0001 a 50 ohms se usa el puente Kelvin.

### 2.4.4 CONVERSION DEL VALOR DE LA RESISTENCIA

Las mediciones de las resistencias de los arrollamientos, en frio, son normalmente convertidas para una temperatura de referencia normalizada que es igual a la elevación de temperatura nominal mas 20°C. Considerando que en los transformadores en aceite está especificado una elevación de temperatura nominal de 55°C, las resistencias óhmicas de los arrollamientos deben ser referidos para una temperatura de 75°C ( 55°C + 20°C ).

Las conversiones son efectuadas de acuerdo a la siguiente fórmula:

$$R_s = \frac{75^{\circ}\text{C} + 234.5^{\circ}\text{C}}{T_m + 234.5^{\circ}\text{C}} * R_m$$

donde:

$R_s$ , Resistencia a la temperatura deseada  $T_s = 75^\circ C$

$R_m$ , Resistencia medida.

$T_s$ , Temperatura de referencia deseada  $75^\circ C$

$T_m$ , Temperatura en la cual fue la resistencia medida.

$T_k$ , Constante igual a  $234.5^\circ C$  para el cobre.

#### 2.4.5 EQUIPOS E INSTRUMENTOS NECESARIOS PARA EFECTUAR ESTE ENSAYO

##### A) METODO DE CAIDA DE POTENCIAL

Teniendo un transformador de  $630 \text{ Kva} - 10/0.23\text{Kv} - 36.37 / 1581.44 \text{ A} - 60 \text{ Hz}$

Consideramos:

$$\begin{aligned} I_o &= 1.5\% \text{ Inom} \\ I_p &= 1.5 I_o \end{aligned}$$

Donde :  $I_o$  = Corriente de vacío.  
 $I_{nom}$  = Corriente nominal.  
 $I_p$  = Corriente de prueba.

En AT.:  $I_o = 1.7/100 \times 36.37 = 0.618 \text{ A}$   
 $I_p = 1.5 \times 0.618 = 0.927 \text{ A}$

En BT.:  $I_o = 1.7 \times 1581.44 = 26.88 \text{ A}$   
 $I_p = 1.5 \times 26.88 = 40.32 \text{ A}$

Asumimos, para prueba del bobinado secundario (BT):

$$I_p = 20 \text{ A}$$

- Fuente de alimentación : 4 Baterías de 12 V.
- 2 Resistencias variables 5 ohm - 15 A.
- 2 Resistencias variables 30 ohm - 1.5 A

- 1 Shunt

Fabricante : GANZ  
Tipo : SH-2  
Relación : 60 mV a 12-30-60-120 A.

- 1 Amperímetro de bobina móvil

Fabricante : GANZ.  
Tipo : HDA- 2  
Clase de precisión : 0.5  
Rangos : 60-120-300 mA  
0.6-1.2-3-6 A  
60 mV; 0.6 mA (Shunt)

- 1 Voltímetro de bobina móvil

Fabricante : GANZ.  
Tipo : HDV- 2  
Clase de precisión : 0.5  
Rangos : 60-120-300-600 mV  
1.2 - 3 - 6 V

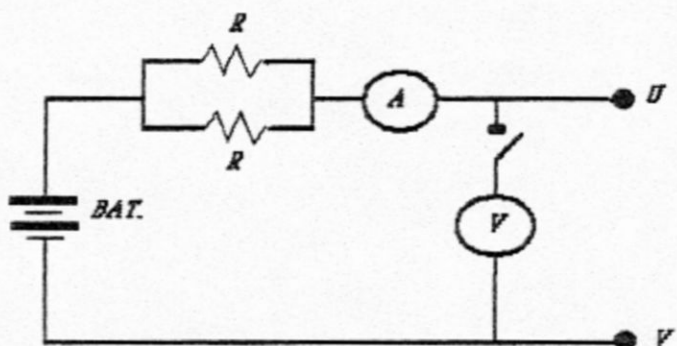
B) METODO DE PUENTES

- Puente Wheatstone

Fabricante : GANZ.  
Tipo : HDV- 2  
Clase de precisión : 0.5  
Rangos : 60-120-300-600 mV  
1.2 - 3 - 6V

#### 2.4.6 CIRCUITO UTILIZADO

##### Caida de Potencial



#### 2.5 MEDIDA DE LA RELACION DE TRANSFORMACION Y GRUPO DE CONEXION

##### 2.5.1 FINALIDADES Y CONSIDERACIONES GENERALES SOBRE ESTA PRUEBA

La finalidad de este ensayo es comprobar las relaciones de transformación de tensiones entre los arrollamientos de alta y baja tensión en todas las posiciones del conmutador.

Esta prueba deberá ser efectuada con la tensión nominal ó con una tensión inferior a la nominal y con una frecuencia nominal ó con una frecuencia mayor que la nominal.

$$\text{error de relación} = \frac{a_n - a_x}{a_x} * 100$$

$$a_n = \frac{U_{1n}}{U_{2n}}, \quad (U_{1n}, U_{2n} \text{ tensiones primaria y secundaria nominales})$$

$$a_x = \frac{U_{1x}}{U_{2x}}, \quad (U_{1x}, U_{2x} \text{ tensiones primaria y secundaria medidas})$$

Es importante el control de polaridad y correspondencia de fase (índice horario y grupo de conexión), para el servicio en paralelo de transformadores.

#### 2.5.2 METODOS DE ENSAYO

##### A) METODO DEL VOLTIMETRO

Este método utiliza dos voltímetros conectados tanto en el primario como en el secundario. Para lograr una mayor precisión los dos voltímetros deben ser leídos simultáneamente y deberán ser intercambiados y las pruebas repetidas. El promedio de los resultados es la relación corregida.

##### B) METODO DEL TRANSFORMADOR PATRON

Consiste en comparar el transformador que se desea conocer con un transformador patrón de relación conocida. Para efectuar esta prueba se excitan en paralelo tanto el transformador por probar como el transformador patrón de la

misma relación nominal y con los dos secundarios conectados en paralelo, pero con un voltímetro conectado entre los dos terminales de polaridad similar.

Con éste método se logra mayor precisión debido a que el voltímetro indica la diferencia de tensiones secundarias.

C) METODO DEL TRANSFORMADOR DE REFERENCIA, DE RELACION VARIABLE.

Este método utiliza un equipo especialmente construido, el cual consiste de un transformador de relación variable y un galvanómetro.

La escala del equipo indica la relación de tensión cuando el galvanómetro registra una deflexión nula.

Por comodidad y conveniencia se lleva a cabo con la utilización de un aparato llamado T.T.R. (turn-transformer-ratio).

D) METODO DE PUENTE

Los puentes para la medida de la relación de transformación comparan fasores paralelos, por lo que al utilizarlos en la medida de la relación de unidades trifásicas que presenten un desplazamiento angular entre los vectores representativos de las tensiones primaria y secundaria diferente a "0°" ó "180°", habrá que buscar de

acuerdo al desfasaje la comparación de segmentos paralelos (lo que por otra parte significaría la confirmación del grupo de conexión de la unidad en prueba).

De acuerdo al puente de Barbauelat, el procedimiento consiste en alimentar el devanado de alta tensión con una tensión  $V_1$  (normalmente 220 V) del transformador bajo ensayo, alimenta también una especie de potenciómetro constituido por las resistencias óhmicas  $R$  y  $r$ , una de ellas regulable (en nuestro caso  $R$ ) y la bobina fija  $b_e$  de un instrumento electrodinámico a través de las adecuadas resistencias adicionales.

La bobina móvil  $b_m$  del aparato, queda alimentada por una tensión representada por el vector AB cuyo extremo B al variar R se traslada a lo largo de  $V_1$ . En consecuencia al variar R se modifica la fase del vector AB y por lo tanto la fase de las corriente  $I_m$  que circula por la bobina móvil.

Suponiendo despreciables las inductancias de las bobinas fijas y móvil, la corriente  $I_e$  de la bobina fija estará en fase con la  $V_1$  y al alcanzarse el punto en que como se indica en la figura el vector AB sea normal a  $V_1$ , el electrodinamómetro quedará reducido a cero puesto que las corrientes  $I_e$  y  $I_m$  de cada una de las bobinas estarán en cuadratura entre sí.

En estas condiciones la proporción será:

$$\frac{V_1}{V_2 \cos} = \frac{R + r}{r} = K$$

El ángulo (diferencia de fase entre alta y baja tensión) es siempre muy pequeño, de modo que puede considerarse  $\cos = 1$

entonces la relación seria:

$$K = \frac{V_1}{V_2}$$

#### 2.5.3 PARA DETERMINAR LA POLARIDAD DE LOS TRANSFORMADORES SE EMPLEAN USUALMENTE

##### A) METODO DE GOLPE INDUCTIVO CON CORRIENTE CONTINUA

Este método utiliza una fuente de tensión continua y un voltímetro. Cuando se aplica la fuente de tensión en un periodo transitorio, la deflexión de la aguja del voltímetro, indicará la polaridad del transformador.

##### B) METODO DE CORRIENTE ALTERNA

La determinación de la polaridad y del grupo de conexión por éste método consiste en colocar al mismo potencial dos bornes (generalmente del mismo nombre), uno del arrollamiento primario y otro del secundario y medir

las tensiones resultantes entre los bornes restantes; luego con el auxilio de los diagramas vectoriales y de la geometría se pueden calcular los valores esperados (de acuerdo al grupo) y compararlos con las medidas.

En el caso de ser un transformador monofásico, la polaridad será aditiva si la tensión leída entre bornes restantes del primario y secundario es mayor que la tensión aplicada al primario; la polaridad será sustractiva si la tensión entre bornes restantes del primario y secundario es menor que la tensión aplicada al primario.

#### 2.5.4 EQUIPOS E INSTRUMENTOS NECESARIOS PARA EFECTUAR ESTE ENSAYO

##### METODO DE PUENTE

(Ver detalle de equipo en apendice)

Fabricante : HARTMANN & BRAUN  
Tipo : METK 3

##### METODO DE CORRIENTE ALTERNA

- Un voltímetro de hierro móvil

Fabricante : GANZ.

Tipo : HLV- 2

Clase de precisión : 0.5

Rangos : 3 - 6 - 12 - 30 - 60 - 120 -  
300 - 600 V

2.6 MEDIDA DE LAS PERDIDAS DEBIDAS A LA CARGA Y DE LA TENSION  
DE CORTOCIRCUITO

2.6.1 FINALIDADES Y CONSIDERACIONES GENERALES SOBRE ESTA  
PRUEBA

Esta prueba tiene por finalidad determinar las pérdidas en carga de un transformador y su tensión de cortocircuito (impedancia porcentual).

A) PERDIDAS EN CORTOCIRCUITO

La pérdida en carga de un transformador y la pérdida causada por la corriente de carga del transformador, incluyen:

1. Las pérdidas en el cobre  $I^2R$ .
2. Las pérdidas por corrientes Foucault, provocadas por el flujo de dispersión en los conductores.
3. Las pérdidas por histéresis y por corrientes de Foucault, provocadas por el flujo de dispersión en el tanque, en los elementos de sujeción y en el núcleo del transformador.

Las pérdidas por corriente de Foucault e histéresis son normalmente agrupadas con el nombre de pérdidas adicionales.

La medición de las pérdidas en carga deben ser medidas a la frecuencia nominal y con una corriente entre 25% y 100% de la corriente nominal.

El valor medido deberá ser corregido mediante la siguiente relación:

$$P_{cc} = P'_{cc} \left( \frac{I_{cc}}{I'} \right)^2$$

Donde:

$P_{cc}$ , valor de las pérdidas en carga a la corriente nominal  $I_{cc}$ .

$P'_{cc}$ , valor de las pérdidas en carga a la corriente de prueba  $I'$ .

Las pérdidas medidas como descritas mencionadas incluyen la pérdida en el núcleo, que corresponde a la tensión de cortocircuito, y tal pérdida puede ser deducida de las pérdidas totales en cortocircuito, a fin de obtener de forma más precisa, las pérdidas reales en carga.

Estas pérdidas en el núcleo pueden ser determinadas midiendo las pérdidas de vacío aplicando una tensión igual al valor de la tensión de cortocircuito (en los transformadores de distribución se puede despreciar estas pérdidas).

Las pérdidas en el cobre  $I^2R$  de los dos arrollamientos deben ser calculadas a partir de la medición de resistencia óhmica (corregida para la temperatura a la cual fue realizada la prueba de cortocircuito) y las corrientes que fueron usadas en la medición de la tensión de cortocircuito.

Estas pérdidas  $I^2R$ , sustraídas de las pérdidas de cortocircuito, resultan las pérdidas adicionales del transformador.

Los valores obtenidos no deben superar los valores de garantía mas la tolerancia ( $+ 1/7 Pg$  para las pérdidas y  $+ 10\%$  para la tensión de cortocircuito).

#### CORRECCION POR TEMPERATURA

Las pérdidas efecto Joule ( $I^2R$ ) aumentan con la temperatura (coeficiente de temperatura positivo para la resistividad). Por el contrario, las pérdidas adicionales disminuyen con la temperatura (con la resistividad).

Las pérdidas nominales en cortocircuito hay que darlas reducidas a unas temperaturas de referencia que, según CEI 76, son:

CLASE DE AISLAMIENTO	TEMPERATURA DE REFERENCIA
A <sub>o</sub> , E , B	75 °C
F, H	115°C

Para el cálculo, se admitirá el aumento de pérdidas

$$\text{Pérdidas por efecto Joule} = \frac{234.5 + t_1}{234.5 + t_2}$$

$$\text{Pérdidas adicionales} = \frac{234.5 + t_2}{234.5 + t_1}$$

La temperatura del ensayo será la medida en la capa superior del aceite del transformador, supuesto que lleve 8 horas sin haber estado conectado.

#### B) TENSION DE CORTOCIRCUITO

La tensión de cortocircuito del transformador, vista de los terminales del arrollamiento energizado, es la tensión requerida para hacer circular la corriente nominal del transformador teniendo el otro arrollamiento en cortocircuito, con ambos arrollamientos conectados para operación a tensión nominal.

La tensión de cortocircuito comprende una componente activa que corresponde a las pérdidas  $I^2R$  (en fase con la corriente) y una componente reactiva que corresponde a las pérdidas adicionales (en cuadratura con la corriente).

Los valores por unidad de los componentes activa, reactiva y de cortocircuito son obtenidos dividiendo  $E_x$ ,  $E_{x0}$  y  $E_{z0}$  por la tensión nominal.

Los valores porcentuales son obtenidos multiplicando los valores por unidad, por 100.

Normalmente, para el cálculo de la tensión de cortocircuito en valores porcentuales se realiza de la siguiente manera:

$$1. \quad P_{cc \text{ amb}} = \left( \frac{I_N}{I_p} \right)^2 P_{cc \text{ p}}$$

$$2. \quad E_{z \text{ amb}\%} = \frac{P_{cc \text{ amb}}}{S_N} * 100$$

$$3. \quad E_{z \text{ amb}} = \left( \frac{I_N}{I_p} \right) \left( \frac{V_p}{V_N} \right)$$

$$4. \quad E_{z \text{ amb}\%} = \frac{E_{z \text{ amb}}}{100}$$

$$5. \quad P_{j \text{ amb}} = \dots (I^2 R)_{AT} + (I^2 R)_{BT}$$

$$6. \quad P_{adic \text{ amb}} = P_{cc \text{ amb}} - P_{j \text{ amb}}$$

$$7. P_{j75^{\circ}C} = P_{j\text{ amb}} \left( \frac{234.5 + 75}{234.5 + t_{\text{amb}}} \right)$$

$$8. P_{\text{adic}75^{\circ}C} = P_{\text{adic amb}} \left( \frac{234.5 + t_{\text{amb}}}{234.5 + 75} \right)$$

$$9. P_{ee\ 75^{\circ}C} = P_{j75^{\circ}C} + P_{\text{adic}75^{\circ}C}$$

$$10. E_{z\ 75^{\circ}C\%} = \frac{P_{ee\ 75^{\circ}C}}{SN} * 100$$

$$11. E_x\% = \sqrt{(E_{z\ \text{amb}\%})^2 - (E_{x\ \text{amb}\%})^2}$$

$$12. E_{z\ 75^{\circ}C\%} = \sqrt{(E_{z\ 75^{\circ}C\%})^2 + (E_x\%)^2}$$

Donde:

$E_x \text{ amb\%}$ , $E_x 75^\circ\text{C\%}$ ,	Componente activa de la tensión de cortocircuito a temperatura ambiente y a $75^\circ\text{C}$ en valor porcentual.
$E_{x\%}$ ,	Componente reactiva de la tensión de cortocircuito en valor porcentual.
$E_z \text{ amb\%}$ , $E_z 75^\circ\text{C\%}$ ,	Tensión de cortocircuito a temperatura ambiente y a $75^\circ\text{C}$ en valor porcentual.
$I_N$ , $I_p$ ,	Corriente nominal y corriente medida en prueba.
$V_N$ , $V_p$ ,	Tensión nominal y tensión medida en prueba.
$P_{cc \text{ amb}}$ , $V_{cc \text{ amb}}$ ,	Pérdidas en el cobre y tensión de cortocircuito medidas a valores nominales y temperatura ambiente.
$P_J \text{ amb}$ , $P_J 75^\circ\text{C}$ ,	Pérdidas por efecto Joule a temperatura ambiente y a $75^\circ\text{C}$ .
$P_{adic \text{ amb}}$ , $P_{adic 75^\circ\text{C}}$ ,	Pérdidas adicionales a temperatura ambiente y a $75^\circ\text{C}$ .

## 2.6.2 METODOS DE ENSAYO

### METODO DE CORTOCIRCUITO

Este método utiliza vatímetro-voltímetro-amperímetro, y consiste en cortocircuitar uno de los arrollamientos (de preferencia y para mayor facilidad, el de baja tensión) y aplicar una tensión a la frecuencia nominal, de modo que por los arrollamientos circule la corriente nominal.

Con la corriente a frecuencia ajustadas para los valores, mas próximos posibles a las nominales, deben tomar lecturas simultáneas del amperímetro, voltímetro, vatímetro y frecuencímetro.

La temperatura del aceite debe ser registrada durante la prueba.

## 2.6.3 EQUIPOS E INSTRUMENTOS NECESARIOS PARA EFECTUAR ESTE ENSAYO

Para la realización de la prueba consideramos como valores máximos:

$$V_{ee} = 450 \text{ V}$$

$$I_{ee} = 36.37 \text{ A}$$

$$P_{ee} = 9830 \text{ W}$$

- VOLTIMETRO

Fabricante : GANZ  
Tipo : HLV - 2  
Clase de precisión : 0.5  
Rangos : 60 - 120 - 300 - 600 V

- AMPERIMETRO

Fabricante : GANZ  
Tipo : HLA - 2  
Clase de precisión : 0.5  
Rangos : 0.6 - 1.2 - 3 - 6 A

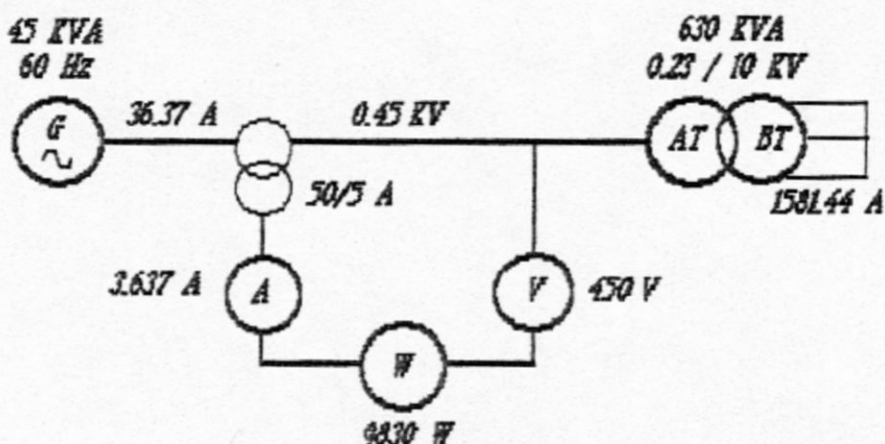
- VATIMETRO

Fabricante : GANZ  
Tipo : HEWa - 2  
Clase de precisión : 0.5  
Rangos : 240 - 600 - 1200  
2400 W

- TRANSFORMADOR DE CORRIENTE

Fabricante : GANZ  
Tipo : SV 001  
Clase de precisión : 0.1  
Relacion de transformación : 0.25 - 0.5 - 1 - 2.5 - 5  
10 - 25 - 50 - 100 /5

#### 2.6.4 CIRCUITO UTILIZADO



#### 2.7 MEDIDA DE LAS PERDIDAS Y DE LA CORRIENTE EN VACIO

##### 2.7.1 FINALIDADES Y CONSIDERACIONES GENERALES SOBRE ESTA PRUEBA

Las pérdidas en vacío de un transformador consiste principalmente en las pérdidas del fierro con que ésta fabricado el núcleo del transformador y es función del valor, frecuencia y forma de onda de la tensión aplicada.

Las pérdidas en vacío que fundamentalmente se componen de las pérdidas por histéresis que dependen del valor máximo de la inducción (por lo tanto del valor medio de la tensión), y de las pérdidas por corrientes de Foucault que dependen del cuadrado del valor eficaz de la tensión; dependen en razón de esta última componente de la forma de

onda de tensión (factor de forma), es por ésta razón que para su medida se precisa realizar la medida del factor de forma ( $K_f$ ):

$$K_f = \frac{V_{ef}}{V_m}$$

Donde:

$V_{ef}$ , valor eficaz de la onda de tensión en Volts.

$V_m$ , valor medio de la onda de tensión en Volts.

Debido a que la corriente en vacío del transformador a causa del fenómeno de histéresis ostenta un alto contenido de armónicas; provoca caídas de tensión en las impedancias del generador alimentador y del transformador auxiliar (caso de utilizarse), que derivan en que la onda de tensión generada se aparte de la forma sinusoidal y como las pérdidas en vacío se refieren a una onda sinusoidal se precisa realizar la corrección de la medida. Para lo cual se debe utilizar la siguiente fórmula:

$$P_o = \frac{P_{om}}{P_1 + K_f^2 P_2}$$

Donde :

$P_o$ , Pérdidas del fierro corregidas (en base senoidal).

$P_{om}$ , Pérdidas del fierro medidas empleando el voltímetro de valor medio.

$P_1$ , Proporción de las pérdidas por histéresis.

$P_2$ , Proporción de las pérdidas por corrientes de Foucault.

$K_s$ , Factor de forma.

Para las inducciones normalmente utilizadas se pueden utilizar los valores siguientes a los indicados por el fabricante:

- Plancha laminada en  $P_1$  0.5  $P_2$  0.5
- Plancha laminada en caliente  $P_1$  0.8  $P_2$  0.2

Los valores de las pérdidas y de la corriente en vacío medidas deben corresponder a los cálculos y/o garantizados dentro de las tolerancias  $+ 1/7 P_o$  (para las pérdidas de vacío  $P_o$ ) y  $+ 0.3 I_o$  (para la corriente en vacío  $I_o$ ).

#### 2.7.2 METODOS DE ENSAYO

METODO DEL VOLTIMETRO DE TENSION ABSOLUTA (PERDIDAS EN VACIO)

Este método es el mas preciso y recomendado.

El voltímetro deberá ser conectado lo mas próximo a la carga, el amperímetro lo mas próximo a la fuente, y el vatímetro entre los dos.

El transformador puede ser ensayado, energizándose por el arrollamiento de alta ó baja tensión, pero mas conveniente es realizar ésta prueba energizando por el arrollamiento de baja tensión, para mayor facilidad en la medición de la corriente.

Antes de realizar la medida de las pérdidas, cerciorarse que el tiempo de impregnación de la parte activa es el prescrito y que las moléculas de aire hayan sido expulsadas mediante los pernos de purga previstos.

La corriente de excitación es la que mantiene la excitación del transformador. Se determina tomando en cuenta los valores de corriente por fase del transformador durante la prueba de pérdidas de excitación. El promedio de corriente de cada fase es el que nos indicará éste valor. Usualmente la corriente de excitación se expresa en por ciento de la corriente normal de el devanado en el cual se hace la medición.

#### 2.7.3 EQUIPOS E INSTRUMENTOS NECESARIOS PARA EFECTUAR ESTE ENSAYO

Para la realización de la prueba consideramos como valores máximos:

$$V_o = 230 \text{ V}$$

$$I_o = 26.88 \text{ A}$$

$$P_o = 1488 \text{ W}$$

- VOLTIMETRO

Fabricante : GANZ  
Tipo : HLV - 2  
Clase de precisión : 0.5  
Rangos : 60 - 120 - 300 - 600 V

- VOLTIMETRO

Fabricante : YOKOGAWA  
Modelo : 2017  
Clase de precisión : 0.5  
Rangos : 30 - 75 - 150 - 300 V

- AMPERIMETRO

Fabricante : GANZ  
Tipo : HLA - 2  
Clase de precisión : 0.5  
Rangos : 0.6 - 1.2 - 3 - 6 A

- VATIMETRO

Fabricante : GANZ  
Tipo : HEWa - 2  
Clase de precisión : 0.5  
Rangos : 240 - 600 - 1200 - 2400 W

- TRANSFORMADOR DE CORRIENTE

Fabricante : GANZ  
Tipo : SV 001  
Clase de precisión : 0.1

Relacion de transformación : 0.25 -0.5 - 1 - 2.5 - 5

10 - 25 - 50 - 100 /5

- TRANSFORMADOR DE TENSION

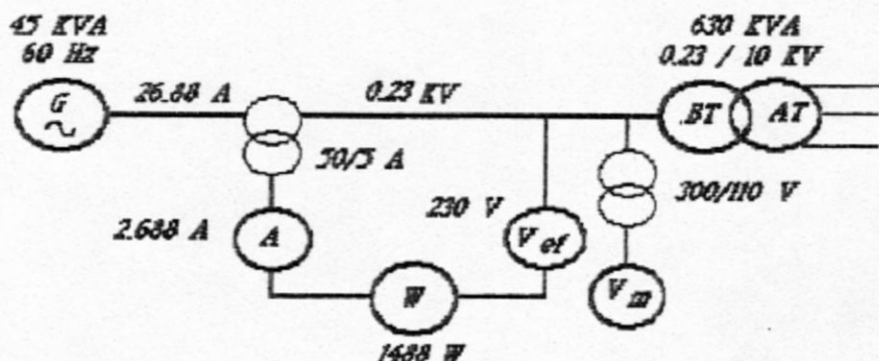
Fabricante : YOKOGAWA

Modelo : 226103

Clase de precisión : 0.2

Relacion de transformación : 100 - 200 - 300 - 500 V

2.7.4 CIRCUITO UTILIZADO



2.8 ENSAYO DE TENSION INDUCIDA

2.8.1 FINALIDADES Y CONSIDERACIONES GENERALES SOBRE ESTA PRUEBA

Este ensayo tiene por finalidad verificar el aislamiento entre espiras, bobinas, derivaciones, terminales, aisladores del transformador y si es capaz de soportar una sobretensión entre espiras, de por lo menos dos veces la tensión nominal del arrollamiento, sin que se produzcan descargas y sin evidencias de falla.

En este ensayo se debe aplicar una tensión con una frecuencia tal que la corriente de excitación no exceda en 30% la corriente nominal del transformador. Normalmente una frecuencia de 120 Hz es suficiente, pudiendo, por conveniencia, usar frecuencias mayores.

El tiempo de duración de la prueba se determinará con auxilio de la siguiente fórmula:

$$t = \frac{120 f_n}{f_p}$$

Donde:

$t$ , tiempo en segundos.

$f_n$ , frecuencia nominal en Hz.

$f_p$ , frecuencia de prueba en Hz.

Pero en ningún caso el tiempo de duración de la prueba será inferior a 15 seg. ni superior a 60 seg.

En esta prueba, como la carga es capacitiva hay que prever su compensación a fin de reducir los riesgos de autoexcitación del generador.

El transformador salva la prueba cuando durante su ejecución no se producen descargas eléctricas ni ruidos de descarga en el interior de él, la indicación de los voltímetros y amperímetros es constante, sin parpadeos y en el compartimiento del relé Bucholz no se han acumulado moléculas de gas inflamable.

#### 2.8.2 METODO DE ENSAYO

Se excita el transformador en prueba por el lado de baja tensión (generalmente), con una tensión que induzcan en el lado de alta tensión, la tensión de prueba; para evitar el problema de la saturación del circuito magnético, la frecuencia de la tensión de alimentación debe ser por lo menos igual al doble de la frecuencia nominal.

Al final del ensayo la tensión de prueba deberá ser disminuida rápidamente por lo menos a una tercera parte de su magnitud plena antes de abrir el interruptor.

#### 2.8.3 EQUIPOS E INSTRUMENTOS NECESARIOS PARA EFECTUAR ESTE ENSAYO

Considerando prueba de transformador trifásico :

630 KVA - 10 / 0.23 KV - 36.77 / 1581.44 A

En prueba :

$$V_p = 2 V_{nom} = 2 (230) = 460 \text{ V}$$

$$f_p = 2 f_{nom} = 2 (60\text{Hz}) = 120 \text{ Hz}$$

$$I_o = 26.88 \text{ A}$$

$$I_p = 1.2 I_o = 1.2 (26.88) = 32.36 \text{ A}$$

GRUPO GENERADOR

ALTERNADOR :

Potencia : 15 KVA

Fase : 3

Polos : 4

Frecuencia : 60 Hz - 120 Hz

Velocidad : 1800 RPM - 3600 RPM

Tensión : 230 V - 460 V

MOTOR PRIMO C.C., EXCITACION DERIVACION (SHUNT)

Potencia : 25 HP

Velocidad : 3600 RPM

Tensión : 220 V

- VOLTIMETRO

Fabricante : GANZ

Tipo : HLV - 2

Clase de precisión : 0.5

Rangos : 60 - 120 - 300 - 600 V

- FRECUENCIMETRO

Fabricante : YOKOGAWA

Modelo : 203803

Clase de precisión : 0.5

Rangos : 100 - 300 Hz

- TRANSFORMADOR DE TENSION

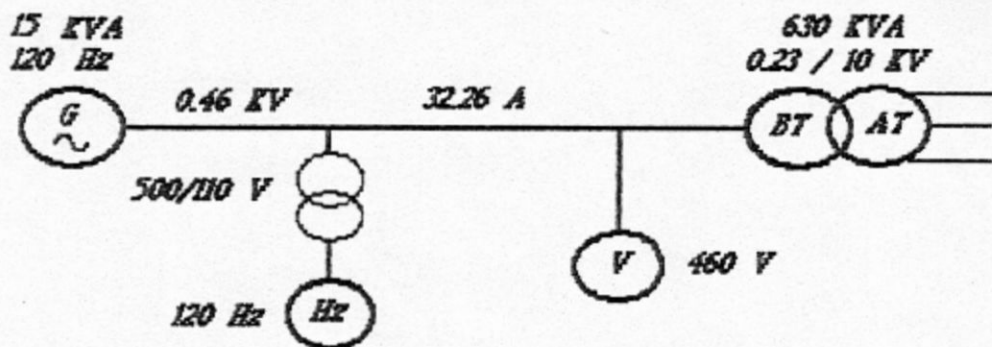
Fabricante : YOKOGAWA

Modelo : 226103

Clase de precisión : 0.2

Relación de transformación : 100 - 200 - 300 - 500 V

#### 2.8.4 CIRCUITO UTILIZADO



#### 2.9 ENSAYO DE TENSION APPLICADA

##### 2.9.1 FINALIDADES Y CONSIDERACIONES GENERALES SOBRE ESTA PRUEBA

Este ensayo tiene por finalidad verificar si el transformador es capaz de soportar el ensayo de tensión aplicada sin que se produzcan descargas ni que haya evidencia de falla; comprueba el nivel de aislamiento entre arrollamientos y entre arrollamientos y tierra.

En el siguiente cuadro se tienen los niveles de aislamiento para los transformadores sumergidos en aceite previstos para soportar los ensayos con ondas de choque (se ha tomado una parte del cuadro presentado en la norma ITINTEC 370.002).

Tensión Máxima de la Red KV (Eficaz)	Tensión de Prueba con frecuencia Industrial KV (Eficaz)
3.6	16
7.2	22
12	28
17.5	38
24	50

#### 2.9.2 METODO DE ENSAYO

Todos los terminales externos del arrollamiento en ensayo deben ser unidos al terminal de la fuente de ensayo. Todos los terminales externos de los demás arrollamientos y partes metálicas (inclusive el tanque y el núcleo) deben ser unidos a otro terminal de la fuente de ensayo y a tierra.

El ensayo debe ser ejecutado con una frecuencia no inferior a 80% de la nominal, y la tensión de ensayo debe ser mantenida durante 60 segundos.

El ensayo debe empezar con una tensión eficaz máxima igual a 1/3 del valor del ensayo, elevando esta tensión al valor apropiado lo más rápido posible sin que se interrumpa el circuito. Al final del ensayo se reduce rápidamente la tensión a 1/3 de su pleno valor antes de desconectar.

#### 2.9.3 EQUIPOS E INSTRUMENTOS NECESARIOS PARA EFECTUAR ESTE ENSAYO

##### - TRANSFORMADOR REGULADOR

Fases : 1

Potencia: 1 kVA

Tensión : 220 / 0 - 240 V

Frecuencia : 60 HZ

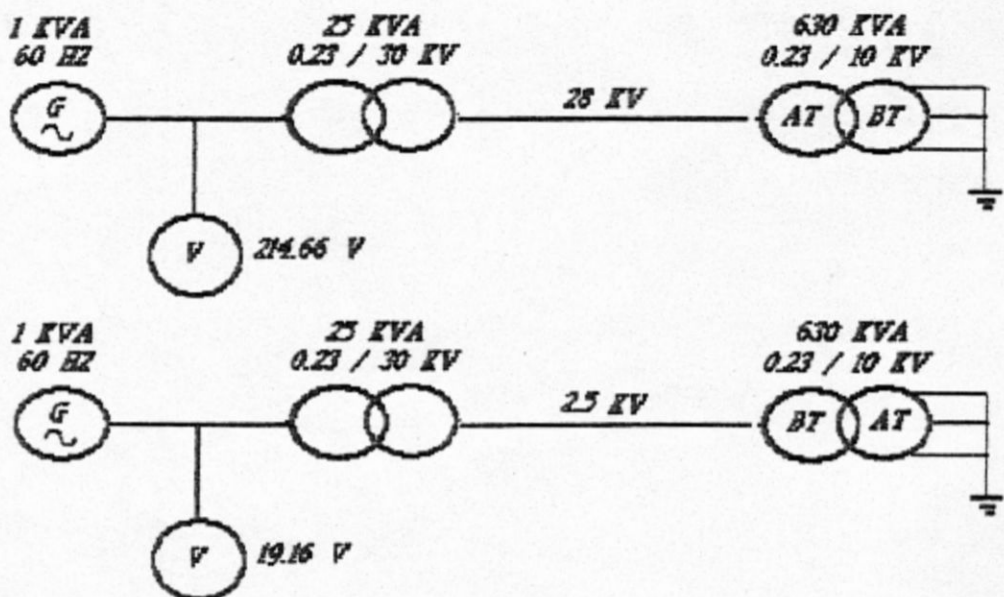
- TRANSFORMADOR AUXILIAR

Fases : 1  
Potencia : 25 kVA  
Tensión : 220 / 30000 V  
Frecuencia : 60 Hz

- VOLTIMETRO

Fabricante : GANZ  
Tipo : HLV - 2  
Clase de precisión : 0.5  
Rangos : 60 - 120 - 300 - 600 V

2.9.4 CIRCUITO UTILIZADO



## 2.10 ENSAYO DE CALENTAMIENTO

### 2.10.1 FINALIDADES Y CONSIDERACIONES GENERALES SOBRE ESTA PRUEBA

La prueba de calentamiento sirve para determinar la elevación de la temperatura de un transformador sobre la temperatura ambiente cuando se encuentra en condiciones de carga normales especificadas. Por lo tanto para determinar la elevación, la unidad debe probarse con su tensión y corriente nominales simultáneamente.

La vida de los materiales aislantes comunmente usados en transformadores, depende mucho de la temperatura máxima a la cual éstos están sujetos y a la duración de ésta temperatura.

### 2.10.2 METODOS DE ENSAYO

#### METODO DE CARGA EFECTIVA

Un transformador de potencia pequeña puede ser probado bajo condiciones reales de carga, usando un banco de lamparas, reóstatos; sin embargo para transformadores de gran capacidad éste método es demasiado costoso pues exige el manejo de grandes cantidades de energía.

#### METODO DE CARGA POR OPOSICION

Cuando se dispone de dos transformadores similares, uno puede usarse como carga del otro y el segundo es conectado a su alimentación. Para éste caso la energía requerida es la necesaria para suministrar las pérdidas de ambos transformadores. Para efectuar la prueba por

este método, se conectan en paralelo y a la línea de alimentación los arrollamientos de baja tensión de ambos transformadores, mientras que los de alta tensión se conectan en serie y en oposición. Puesto que los transformadores son identicos y los arrollamientos de alta están conectados en oposición, no circulará por estos ninguna corriente, en cambio en los arrollamientos de baja tensión circula la corriente de excitación, como es obvio en estas condiciones la potencia consumida por cada transformador corresponde a las pérdidas en vacío.

Este método requiere una gran cantidad de equipos de prueba y de equipos auxiliares, así como un consumo de energía considerable.

Debido a estos requisitos el método de oposición es de difícil uso en el caso de transformadores de potencia.

#### METODO DE CORTOCIRCUITO.-

Este método requiere valores predeterminados precisos de las pérdidas en vacío y pérdidas en el cobre, incluyendo las pérdidas por dispersión, a la temperatura nominal de referencia (75 °C).

En esta forma se obtiene la elevación de temperatura de aceite sobre el ambiente (Gradiente: Aceite-Ambiente). Ya que la elevación de la temperatura se ha estabilizado, se reduce la corriente que circula por los arrollamientos

a un valor tal que el transformador desarrolla sólo la perdida del cobre a plena carga y se permite un lapso de tiempo para que la elevación de temperatura del cobre sobre el aceite (Gradiente: Cobre-Aceite) se estabilice, generalmente es suficiente de una a dos horas. Una vez logrado lo anterior se hace el corte de la prueba.

La elevación de la temperatura de un transformador sobre la temperatura ambiente s considera formada por dos elevaciones o gradientes.

1.- Elevación: cobre-aceite.

2.- Elevación: aceite-ambiente.

La suma de estos gradientes no deberá exeder de la temperatura garantizada, generalmente indicada en la placa.

#### CALCULO DE LA TEMPERATURA DEL COBRE

$$T = \frac{R}{r} * (234.5 + t) - 234.5$$

T : Temperatura que se desea determinar (en caliente) del cobre.

t : Temperatura en frio.

R : Resistencia a la temperatura T (del cobre).

r : Resistencia a la temperatura t (del cobre).

Al valor obtenido se le resta el valor de la temperatura del aceite a la hora del corte y se obtiene el gradiente:cobre-aceite a este valor se le agrega el gradiente : aceite-ambiente que se obtienen al bajar a corriente nominal y se obtiene la elevación total.

La resistencia en caliente debe corregirse por extrapolación, del error causado por perdidas de tiempo en conectar el puente después de haber hecho el corte.

#### REQUISITOS PARA LA PRUEBA DE CALENTAMIENTO.-

- 1 Al hacer la prueba, el transformador deberá estar ensamblado y equipado con indicadores térmicos (termómetros).
- 2 En caso de ser tipo aceite, el transformador deberá estar lleno de aceite hasta el nivel apropiado.
- 3 El lugar en que se efectue la prueba deberá estar libre de corriente de aire hasta el grado que sea posible.
- 4 La temperatura ambiente debe medirse en varios termómetros los cuales se colocan en diferentes partes alrededor de la unidad en prueba, a una distancia de uno a dos metros y a la mitad de su altura y deben protegerse, además, contra corriente de aire y calentamiento anormales.

- 5 La temperatura del arrollamiento del transformador en prueba deberá medirse en termómetros insertados en sus arrollamientos, cuando se trata de un transformador tipo seco, o bien cuando se trata de un transformador en aceite se sumerge el termómetro aproximadamente 5 centímetros bajo la superficie superior del aceite.
- 6 Al usar el método de corto circuito generalmente se alimenta el transformador por el lado de alta tensión, de tal forma que se apliquen a este la suma de las pérdidas de cobre más las pérdidas en el núcleo, corregidas a 75 grados.
- 7 Antes de iniciar la prueba de un transformador deben hacerse los arreglos necesarios:

Primero se hace el arreglo para poder conectar las puntas de medición a los puentes en una forma correcta para tener una conexión firme y se facilite el manejo a la hora de medir la resistencia en caliente.

En segundo lugar, debe de considerarse el arreglo necesario de modo que facilite que el circuito de alimentación pueda ser interrumpido con suficiente rapidez al hacer el corte de la prueba.

En tercer lugar, deben hacerse las lecturas en frío de la resistencia del arrollamiento.

8 Considerando que el transformador está disipando una potencia igual a la suma de las pérdidas de cobre y las de fierro, la estabilización térmica se alcanzará cuando la temperatura del aceite ( o de el arrollamiento del transformador en el de tipo seco) no varie más de un Grado centigrado, y la del medio refrigerante no más de 1.5 grados centígrados en el mismo sentido durante 3.5 horas.

De la lectura anterior se determina la elevación promedio de la temperatura del aceite superior, sobre el ambiente (gradiente: Aceite-Ambiente).

9 Se deberan anotar los intervalos de tiempo transcurrido desde el instante del corte hasta cada uno de los instantes que se hace la medición de la resistencia a fin de que con las correcciones adecuadas se puedan determinar el valor de la resistencia (en caliente) Ohmica de los arrollamientos en el instante preciso de el corte. Este dato servirá de referencia para determinar la elevación total del transformador.

10 Todas las lecturas deberán ser hechas dentro de los cuatro siguiente minutoa al corte. Si no se consigue obtener un número suficinete de lecturas en el lapso de tiempo marcado, la prueba deberá reanudarse hasta que se logre estabilizar tempewreturas, lo cual sucede aproximadamente a las dos horas después de el primer corte, siempre y cuando la prueba se halla reanudado inmediatamente.

CORRECCION DE ELEVACION DE TEMPERATURA OBSERVADA  
AL TIEMPO DE CORTE.-

Puesto que la temperatura de un arrollamiento empieza a descender a partir del instante en que se hace el corte hasta que se empiezan a tomar las lecturas, se hace necesario la aplicación de un factor correctivo para este efecto. Esta corrección puede hacerse aproximadamente de la siguiente forma:

Se traza una curva de resistencia óhmica-tiempo, siendo el tiempo medido desde el instante en que interrumpe la alimentación hasta el instante en que se toma la última lectura de resistencia.

Esta curva comienza en el tiempo de haber hecho el corte, construida la curva se prolonga su origen hasta que corta el eje de las resistencias que corresponde al tiempo cero, que es el instante del corte.

Cuando se efectua el cálculo de la elevación de la temperatura por el método empírico el cual se obtiene considerando como la resistencia en caliente de la primera lectura que se obtiene. Se puede aplicar una corrección arbitraria de un grado centígrado por cada minuto, siempre y cuando el lapso de tiempo transcurrido desde el instante del corte hasta el de la primera medición de resistencia en caliente, no sea mayor de cuatro minutos.

2.10.3 EQUIPOS E INSTRUMENTOS NECESARIOS PARA EFECTUAR ESTE  
ENSAYO

Para la realización de la prueba consideramos como  
valores máximos:

$$V_e = 532 \text{ V}$$

$$I_e = 43 \text{ A}$$

$$P_e = 11318 \text{ W}$$

- VOLTIMETRO

Fabricante	: GANZ
Tipo	: HLV - 2
Clase de precisión	: 0.5
Rangos	: 60 - 120 - 300 - 600 V

- AMPERIMETRO

Fabricante	: GANZ
Tipo	: HLA - 2
Clase de precisión	: 0.5
Rangos	: 0.6 - 1.2 - 3 - 6 A

- VATIMETRO

Fabricante	: GANZ
Tipo	: HEWa - 2
Clase de precisión	: 0.5
Rangos	: 240 - 600 - 1200 2400 W

- TRANSFORMADOR DE CORRIENTE

Fabricante : GANZ

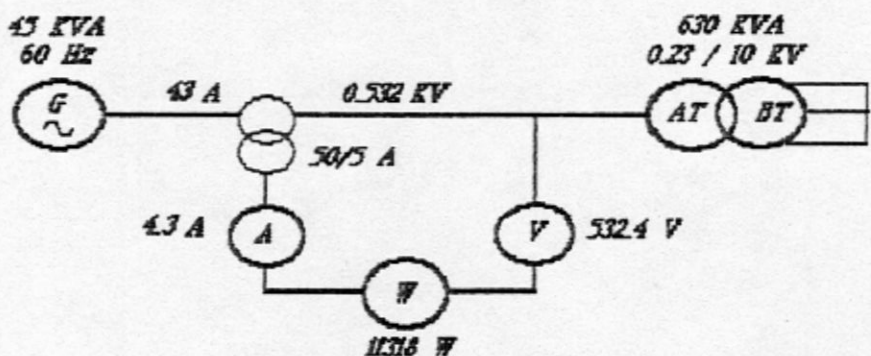
Tipo : SV 001

Clase de precisión : 0.1

Relacion de transformación : 0.25 - 0.5 - 1 - 2.5 - 5

10 - 25 - 50 - 100 /5

2.10.4 CIRCUITO UTILIZADO



CAPITULO III :

CALCULO DEL TRANSFORMADOR AUXILIAR PARA PRUEBA DE TENSION  
APPLICADA DE TRANSFORMADORES DE DISTRIBUCION

3.1 RESUMEN DE LAS CARACTERISTICAS A OBTENER

POTENCIA : 25 KVA  
FRECUENCIA : 60 HZ  
FASES : 1  
RELACION DE TRANSFORMACION : 220 / 30000 V  
POLARIDAD : SUSTRACTIVA  
REFRIGERACION : ONAN  
PERDIDAS EN EL COBRE (A 75°C) : 725 W  
PERDIDAS EN EL FIERRO : 225 W  
IMPEDANCIA A 75°C :  
ALTITUD DE SERVICIO : 1000 msnm  
SOBREELEVACION DE TEMPERATURA  
EN EL COBRE A PLENA CARGA : 60°C

3.2 SIMBOLOS A EMPLEAR

Cu , cobre

Fe , fierro

S<sub>eu</sub> S<sub>re</sub>, secciones, en cm<sup>2</sup>

b , densidad de flujo, en gauss

d , densidad de corriente, en amp/mm<sup>2</sup>

E , fuerza electromotriz, en Volts

V , voltaje, en Volts

I , corriente, en Amperes

Z , impedancia, en Ohms

R , resistencia, en Ohms

X , reactancia, en Ohms  
f , frecuencia, en Hertz  
N , número de espiras  
P , primario (subíndice)  
S , secundario (subíndice)  
a , ancho de ventana, en cm  
L , longitud de ventana, en cm  
d , diámetro, en cm  
S , potencia aparente, en VA  
P , potencia activa, en W  
G , peso, en Kg

### 3.3 CALCULO DE LAS DIMENSIONES DEL NUCLEO

- Aplicando CRITERIO DE MINIMO COSTO

Actualmente relación de precio de Cobre Vs. precio de Fierro, aproximadamente es igual a 3.

- Tipo de núcleo : COLUMNAS

#### 3.3.1 Hallando factor de ventana ( $f_v$ ):

KVA \ KV	3.6	12	36
13.33	0.26	0.23	-
25.0	-----	-----	$f_v$
53.33	0.30	0.27	0.15

De tabla adoptamos :  $f_v = 0.15$

3.3.2 Hallando diámetro de columna (d), longitud (L) y ancho de ventana (a):

	f <sub>v</sub>	0.1	0.15	0.2	0.3	0.4
m = a/d	1.1	x	0.8	0.65	0.57	
l' = L/d	4.5	y	3.3	2.8	2.5	

Por transposición :

$$\frac{x - 1.1}{0.8 - 1.1} = \frac{0.15 - 0.1}{0.2 - 0.1}, \quad x = 0.95$$

$$\underline{m = a/d = 0.95}$$

$$\frac{y - 4.5}{3.3 - 4.5} = \frac{0.15 - 0.1}{0.2 - 0.1}, \quad y = 3.9$$

$$\underline{l' = L/d = 3.9}$$

$$aLd^2 = 5.7345 * 1010 \quad \frac{s}{f \cdot B \cdot J \cdot f_u \cdot f_v}$$

factor de utilización (f<sub>u</sub>), empleando 3 escalones :

$$f_u = 0.861$$

$$aLd^2 = 5.7345 * 1010 \quad \frac{25}{(60)(14800)(320)(0.861)(0.15)}$$

$$aLd^2 = 39064.13$$

$$d = \left( \frac{aLd^2}{ml'} \right)^{\frac{1}{4}} = \left( \frac{39064.13}{(0.95)(3.9)} \right)^{\frac{1}{4}}$$

$$d = 10.133 \text{ cm}$$

$$a = md = 0.95 (10.133)$$

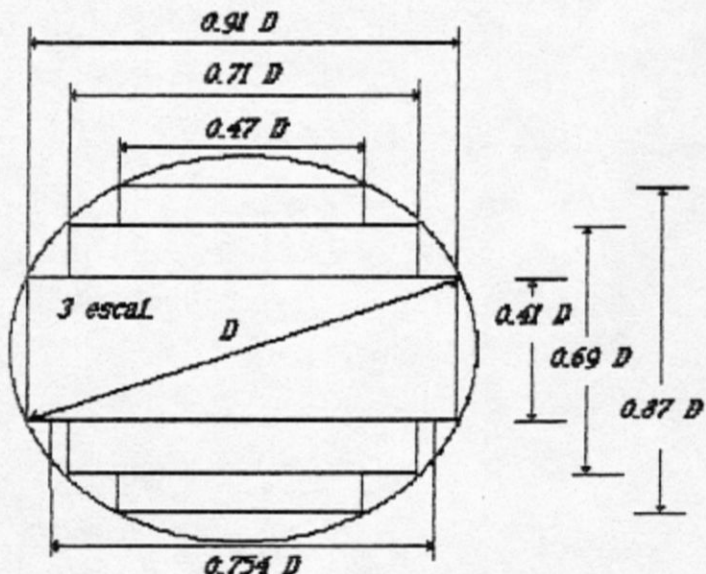
$$a = 9.63 \text{ cm}$$

$$L = l'd = 3.9 (10.133)$$

$$L = 39.52 \text{ cm}$$

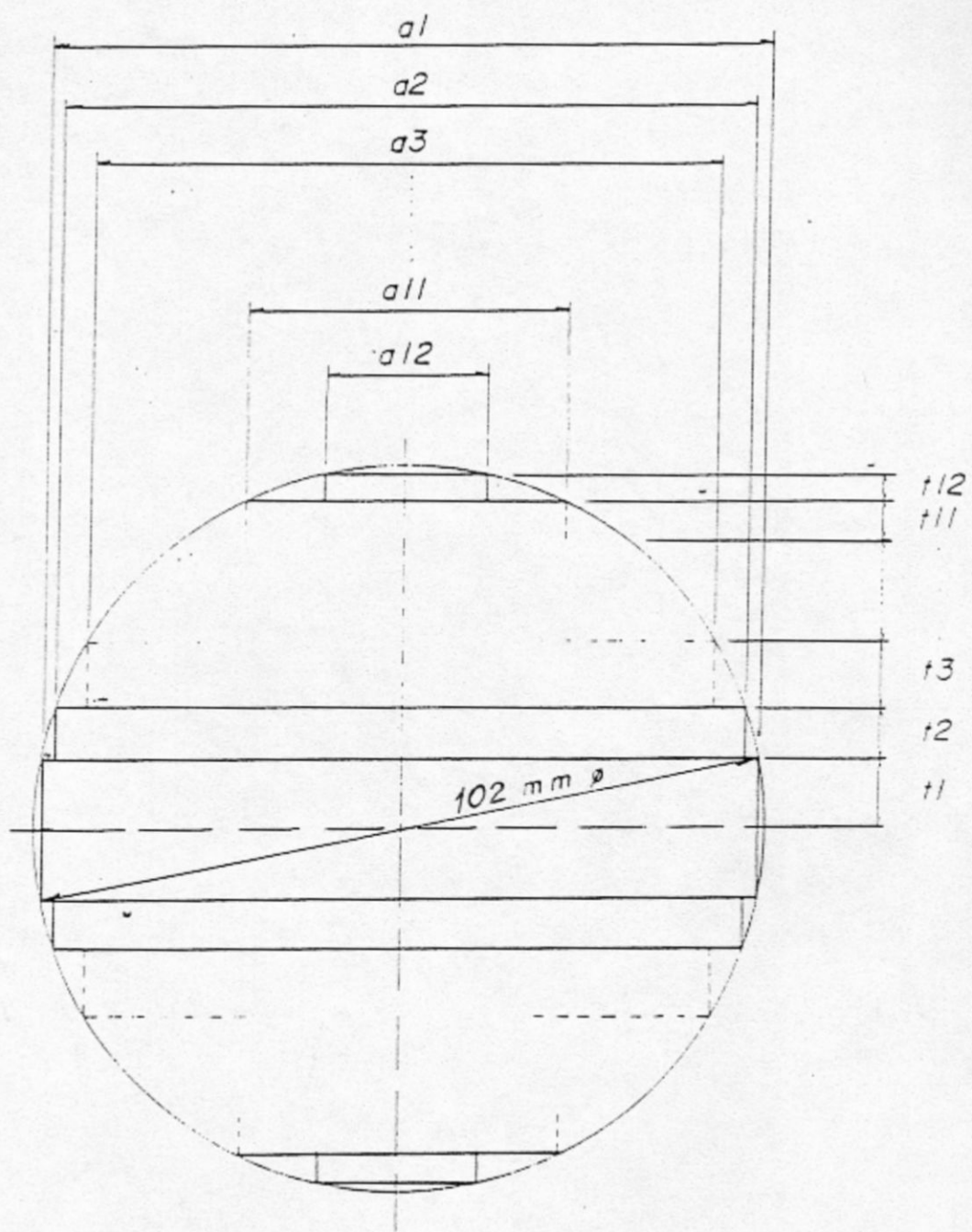
### 3.4 SECCION DEL NUCLEO POR COLUMNA

Empleando 3 escalones y considerando  $d = 102 \text{ mm}$  :



- Considerando el corte del ancho de cinta (dados por el fabricante)  
Ver hoja siguiente con datos considerados.
- Sección del Núcleo de fierro por columna, con factor de apilamiento ( $f_a$ ) = 0.96 :

Escalón N°	1	2	3	4	5	6	7	8	9	10	11	12
D (mm)	90	70	50	-								
t (mm)	24	13.1	7.3	-								



### TRANSFORMADOR DE POTENCIA

Nº Serie	Tipo	Fases	kVA	Voltios	Amps.	Hz	Grupo
	ONAN	1	25	220 / 30000	113.64	0.833	60
Cliente							
	OT N°						
	Fecha -01-94						
Especificación de Escalones del NUCLEO 102 <sup>Φ</sup> / 390 / 135							
Nº de Escalones	3	Factor de apilamiento: 0.96					
		Vista					

LAMINA TIPO	ESCALON Nº	DIMENSIONES (mm)			CANTIDAD			PESO (kg)	
		Ancho	Longitud	Nº Capas	Fusible	Fierro	or - sección	Total	
A	1	90	480	89			356	15.863	31.726
	2	70	480	49			196	6.734	13.468
	3	50	480	27			108	2.681	5.362
	4	-	-	-			-	-	-
	5								
	6								
	7								
	8								
	9								
	10								
	11								
	12								
B	1	90	225	89			356	7.436	14.872
	2	70	225	49			196	3.157	6.314
	3	50	225	27			108	1.257	2.514
	4	-	-	-			-	-	-
	5								
	6								
	7								
	8								
	9								
	10								
	11								
	12								
C	1	-	-	-			-	-	-
	2								
	3								
	4								
	5								
	6								
	7								
	8								
	9								
	10								
	11								
	12								

TRANSFORMADOR DE POTENCIA Peso total del Núcleo 74.256 Kg

Nº Serie	Tipo	Fases	kVA	Voltios	Amps	Hz	Grado
	ONAN	1	25	220	30000	113.64	0.833

Cliente OT Nº  
Fecha -01-94

Especificación de Láminas del NUCLEO 102 <sup>Φ</sup> /390/135	Diseño H. HANZILLA
Diámetro (mm) 102 Sección (cm <sup>2</sup> ) 66.086 Tipo Fierro M 4	Revisó
	Visto

$$S_{\text{em}} = [ 9 (4.8) + 7 (2.62) + 5 (1.46) ] * 0.96$$
$$S_{\text{em}} = 66.0864 \text{ cm}^2$$

### 3.5 NUMERO DE ESPIRAS DE BOBINADO PRIMARIO Y SECUNDARIO

Número de espiras primarias ( $N_p$ ):

$$E = 4.44 * 10^{-8} f. S_{\text{em}} . B . N_p$$

$$220 \text{ V} = 4.44 * 10^{-8} (60 \text{ Hz}) (66.0864 \text{ cm}^2) (14800 \text{ g}) N_p$$

$$N_p = 84.43 \text{ espiras}$$

Considerando  $N_p = 84$  espiras ,  $B = 14876$  gauss

Número de espiras secundarias ( $N_s$ ):

$$\frac{N_p}{N_s} = \frac{V_p}{V_s}, \quad \frac{84}{N_s} = \frac{220}{30000}$$

$$N_s = 11454 \text{ espiras}$$

Consideramos VOLT/ ESPIRA = 2.619

Las espiras totales se distribuyen en dos columnas, quedando por columna :

$$N_p = 42 \text{ espiras}, N_s = 5727 \text{ espiras}$$

### 3.6 CALCULO DE LAS SECCIONES DE CONDUCTOR DE COBRE Y LA DENSIDAD DE CORRIENTE DE LOS BOBINADOS

Las corrientes nominales a través de los aisladores son:

De la tabla de alambres redondos esmaltados (según fabricante), tenemos :

## CONDUCTORES DE COBRE

## DE SECCION CIRCULAR

CAL	SECCION mm <sup>2</sup>	DIAMETRO mm	D+dE	R 20°C	LONG. UNIT.	PESO TOTAL
Avg				Ω/Kg	Km/Kg	Kg/Km
41	0.0048	0.071	0.091	4420.7	27.027	0.037
40	0.0050	0.079	0.102	3518.5	20.834	0.048
39	0.0064	0.099	0.114	2780.8	16.667	0.060
38	0.0082	0.102	0.130	2102.5	13.158	0.076
37	0.0100	0.114	0.145	1690.2	10.527	0.095
36	0.0130	0.127	0.160	1368.3	8.333	0.119
35	0.0160	0.142	0.178	1091.2	6.622	0.151
34	0.0200	0.160	0.198	856.4	5.305	0.188
33	0.0250	0.180	0.224	678.8	4.228	0.236
32	0.0320	0.203	0.249	538.3	3.333	0.300
31	0.0400	0.226	0.274	426.9	2.661	0.376
30	0.0510	0.254	0.302	338.6	2.120	0.472
29	0.0650	0.287	0.338	268.5	1.690	0.592
28	0.0800	0.320	0.373	212.9	1.339	0.747
27	0.1020	0.361	0.417	168.9	1.065	0.939
26	0.1290	0.404	0.462	133.9	0.847	1.181
25	0.1630	0.455	0.516	106.2	0.673	1.485
24	0.2040	0.511	0.577	84.21	0.532	1.879
23	0.2550	0.576	0.643	66.79	0.422	2.367
22	0.3220	0.643	0.714	52.96	0.337	2.965
21	0.4070	0.724	0.798	42.00	0.266	3.753
20	0.5150	0.813	0.892	33.31	0.212	4.715
19	0.6500	0.912	0.993	26.42	0.168	5.929
18	0.8200	1.020	1.110	20.95	0.133	7.473
17	1.0400	1.150	1.240	16.61	0.106	9.411
16	1.3100	1.290	1.384	13.17	0.084	11.801
15	1.6500	1.450	1.547	10.47	0.066	14.978
14	2.0900	1.630	1.732	8.285	0.053	18.787
13	2.6300	1.830	1.923	6.571	0.042	23.636
12	3.3000	2.050	2.151	5.211	0.033	29.948
11	4.1500	2.300	2.408	4.132	0.026	37.564
10	5.2600	2.588	2.695	3.278	0.021	47.393
09	6.6310	2.906	3.020	2.600	0.016	59.880
08	8.3670	3.264	3.383	2.061	0.013	75.188
07	10.5500	3.665	3.787	1.634	0.010	95.238
06	13.3000	4.115	4.244	1.296	0.008	119.765

## CONDUCTORES DE COBRE DE SECCION

RECTANGULAR DIN 46433

a/b	1	1.2	1.4	1.5	1.6	1.7	1.8	1.9	2.0	2.2	2.5	2.8
5.0	4.86	5.79	6.79	7.19	7.69	8.19	8.69	9.19	9.45	10.5	12.0	13.5
5.5	5.36	6.39	7.49	7.94	8.49	9.04	9.59	10.10	10.50	11.60	13.20	14.90
6.0	5.86	6.99	8.19	8.69	9.29	9.89	10.50	11.10	11.50	12.70	14.50	16.30
6.5	6.36	7.59	8.89	9.44	10.10	10.79	11.40	12.00	12.50	13.80	15.70	17.70
7.0	6.86	8.19	9.59	10.20	10.50	11.60	12.30	13.00	13.50	14.90	17.00	19.10
7.5	7.36	8.79	10.30	10.90	11.70	12.40	13.20	13.90	14.50	16.00	18.20	20.50
8.0	7.86	9.39	11.00	11.70	12.50	13.30	14.10	14.90	15.50	17.10	19.50	21.90
9.0	8.86	10.60	12.40	13.20	14.10	15.00	15.90	16.80	17.50	19.30	22.00	24.70
10.0	9.86	11.80	13.80	14.70	15.70	16.70	17.70	18.70	19.50	21.50	24.50	27.50

NOTA: a , b en mm  
 sección efectiva en  $mm^2$

$$I_p = \frac{25000 \text{ VA}}{220 \text{ V}} = 113.636 \text{ A}$$

$$I_m = \frac{25000 \text{ VA}}{30000 \text{ V}} = 0.833 \text{ A}$$

Calibre AWG	Diámetro Nominal mm	Sección Nominal mm <sup>2</sup>	Diámetro Total-DE mm
----------------	---------------------------	---------------------------------------	----------------------------

# 24            0.511            0.204            0.577

# 23            0.576            0.255            0.643

# 22            0.643            0.322            0.714

Considerando la densidad de corriente ( $\sigma$ ) = 3.2 A/mm<sup>2</sup>

$$S_{eu_p} = \frac{113.636 \text{ A}}{3.2 \text{ A/mm}^2} = 35.5 \text{ mm}^2$$

$$S_{eu_m} = \frac{0.833 \text{ A}}{3.2 \text{ A/mm}^2} = 0.260 \text{ mm}^2$$

Para bobinado secundario, consideramos alambre #23 AWG, obteniendo como densidad de corriente :

$$\sigma_m = \frac{0.833 \text{ A}}{0.255 \text{ mm}^2} = 3.267 \text{ A/mm}^2$$

Para bobinado primario, se utiliza platina de cobre desnuda (se produce en el país) forrada con cinta de algodón. Las dimensiones se obtienen, considerando la longitud de ventana y la distancia aislante mínima entre bobinado y yugo.

Teniendo : L = 390 mm

Considerando separación aislante bob.- yugo (o) = 15 mm

Longitud disponible para bobinado primario :

$$390 - 2 (15) = 360 \text{ mm}$$

Encontramos la altura de la platina forrada :

$$\frac{360}{43} = 8.37 \text{ mm}$$

Para bobinado primario, consideramos 2 platinas de cobre paralelos, forrados con cinta de algodón de las siguientes dimensiones :

Desnudo: 2.5 \* 7.3 mm , Forrado : 3.5 \* 8.3 mm

Sección de cobre :  $18.25 - 0.9 = 17.35 \text{ mm}^2$

Sección de cobre total :  $2 * 17.35 = 34.7 \text{ mm}^2$

Obteniendo como densidad de corriente

$$\sigma_p = \frac{113.636 \text{ A}}{34.7 \text{ mm}^2} = 3.275 \text{ A/mm}^2$$

3.7 DISTRIBUCION DE LAS ESPIRAS DEL BOBINADO PRIMARIO Y SECUNDARIO POR COLUMNA

BOBINADO PRIMARIO (BT)

Tipo	:	cilindrico
Número de espiras	:	42
Conductor forrado	:	2 # 3.5 * 8.3 mm
Número de capas	:	1
Longitud axial	:	356.9 mm
Longitud axial de bobina con relleno	:	370 mm
Separación mínima con yugo	:	10 mm
Longitud axial total	:	390 mm

BOBINADO SECUNDARIO (AT)

Tipo	:	Cilíndrico
Número de espiras	:	5727
Conductor forrado	:	# 23 AWG - DE
(espiras normales)		d = 0.643 mm
Conductor forrado	:	# 23 AWG - DE (espiras de entrada) c/cinta de papel

$$d = 1.443 \text{ mm}$$

$$\text{Número de espiras por bobina : } \frac{1000 \text{ V}}{2.619 \text{ V/esp}} = 382$$

$$\text{Número de bobinas : } \frac{5727}{382} = 15$$

Por mejor distribución adoptamos 14

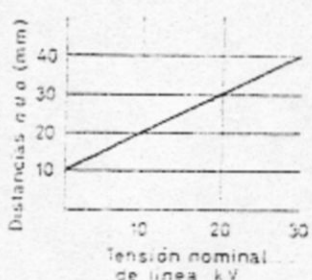
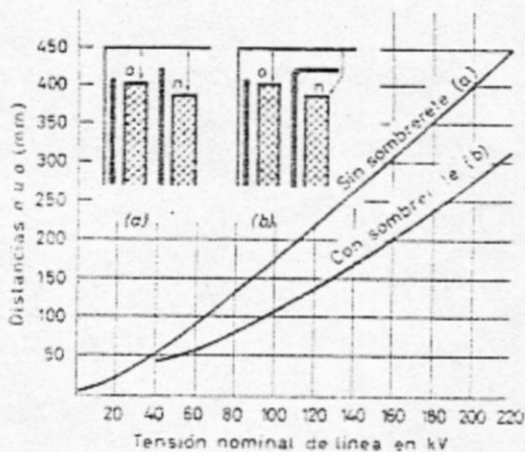
Hallando longitud axial disponible para bobinado AT

Longitud de ventana : 390 mm

Separador axial de 4 mm entre bobinas :  $13 * 4 = 52$  mm

Separación mínima entre bobina y yugo :  $2 * 20 = 40$  mm

Para 30 KV,  $n = 20$  mm (adoptado)



Distancia  $n u o$  entre los devanados y el yugo.

Longitud disponible AT :  $390 - [52 + 40] = 258$  mm

$$\text{Longitud axial por bobinas : } \frac{258}{14} = 18.4 \text{ mm}$$

Número de espiras de choque o de entrada de línea recomendable 3 % del total, 1 % como mínimo con aislamiento indicado en figura y el 2 % con el mismo grueso o en disminución progresiva hasta coincidir con el de las bobinas normales.

$$1/100 * 11454 = 114.54$$

$$2/100 * 11454 = 229.08$$

Consideramos por columna:	218	espiras de choque
	108	espiras intermedias
	5401	espiras normales
	5727	espiras totales

- Adoptamos 2 bobinas de choque cada uno con 109 espiras

$$\text{Espiras de choque por capa: } \frac{18.4}{1.443} = 12.75$$

( adoptamos 11 )

Longitud axial bobina de choque:

$$12 * 1.443 = 17.316 \text{ mm} \quad \text{con tolerancia 18 mm}$$

$$\text{Número de capas bobina de choque : } \frac{109}{11} = 10 \text{ capas}$$

- Adoptamos 1 bobina intermedia con 108 espiras

$$\text{Espiras intermedias por capa: } \frac{18.4}{1.443} = 12.75 \text{ espiras}$$

( adoptamos 11 )

Longitud axial bobina intermedia:

$$12 * 1.443 = 17.316 \text{ mm} \quad \text{con tolerancia 18 mm}$$

- Adoptamos 11 bobinas normales

Espiras por bobina normal :  $\frac{5401}{11} = 491$  espiras

Espiras normales por capa :  $\frac{18.4}{0.643} = 28.62$  espiras 0.643  
(adoptamos 26)

Longitud axial bobina normal:  $27 * 0.643 = 17.361$  mm  
(con tolerancia 18 mm)

Número de capas bobina normal:  $\frac{491}{11} = 19$  capas

### 3.8 CALCULO SE LOS DIAMETROS DE LAS BOBINAS

Diámetro del núcleo: 102 mm

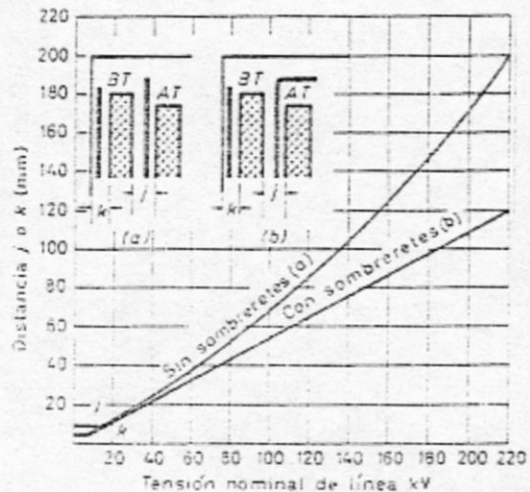
Aislamiento entre bobinado BT y núcleo

Para  $U_1 = 220$  V ,  $k = 3$  mm (adoptado 5.0 mm)

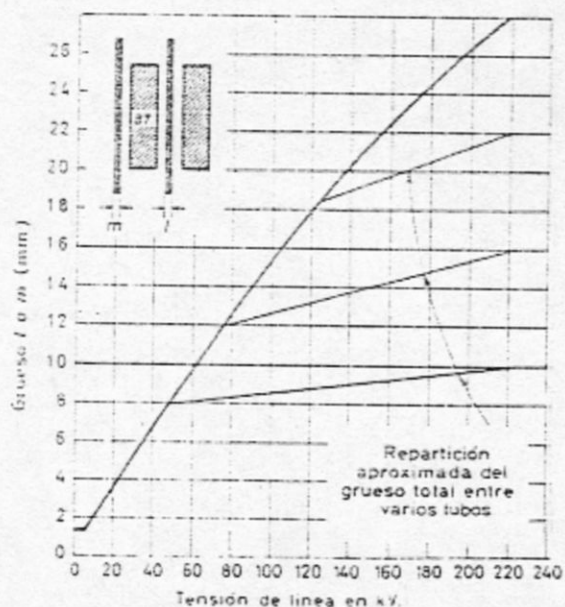
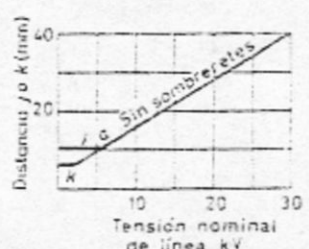
Tubo aislante entre BT y núcleo

Para  $U_1 = 220$  V ,  $m = 1.5$  mm (adoptado 0.5 mm)

El aislamiento de los conductores y la distancia k en el aceite es suficiente.



Distancias mínimas  $j$  entre devanados A.T. - B.T., y  $k$  respecto a la columna, para transformadores en aceite.



Espesor total  $l$  o  $m$  de los tubos aislantes entre devanador A.T.-B.T., o entre B.T. y el núcleo.

Diámetro interno de bobina BT  $102 + 2 \cdot (5) = 112$  mm

Espesor radial de bobina BT  $2 \cdot 3.5 = 7$  mm

(adoptamos 7.5 mm)

Diámetro externo de bobina BT  $112 + 2 (7.5) = 127$  mm

Aislamiento entre bobinado de BT y AT

Para  $U_z = 30$  KV ,  $j = 20$  mm (adoptado 20 mm)

Tubo aislante entre BT y AT

Para  $U_z = 30$  KV ,  $l = 5$  mm (adoptado 5 mm )

Diámetro interno de bobina AT  $127 + 2 (20) = 167$  mm

Espesor radial de la bobina AT

Bobinas de choque e intermedias, considerando 10 capas y entre capas papel 0.1 mm:

$$10 * 1.443 + 18 * 0.1 = 15.33 \text{ mm (adoptado 16 mm)}$$

Bobinas normales, considerando 19 capas y entre capas papel 0.1 mm :

$$19 * 0.643 + 18 * 0.1 = 14.02 \text{ mm (adoptado 15 mm)}$$

Diámetro externo de bobina AT

Bobinas de choque e intermedias: $167 + 2 (16) = 199$  mm

Bobinas normales: $167 + 2 (15) = 197$  mm

### 3.9 PESOS DEL NUCLEO Y DEL COBRE

PESO DEL COBRE (  $G_{cu}$  )

Diámetro medio del bobinado primario (BT):

$$D_{m_p} = 112 + 7 = 119 \text{ mm}$$

Diámetro medio del bobinado secundario (AT) :

Bobinado de choque:

$$D_{m_c} = 167 + 16 = 183 \text{ mm}$$

Bobinado normal :

$$D_m + n = 167 + 15 = 182 \text{ mm}$$

Longitud media del bobinado primario (BT) :

$$l_{m_p} = \pi D_{m_p} = \pi (119) = 373.850 \text{ mm}$$

Longitud media del bobinado secundario (AT) :

$$l_{m_s ch} = \pi D_{m_s ch} = \pi (183) = 574.911 \text{ mm}$$

$$l_{m_s n} = \pi D_{m_s n} = \pi (182) = 571.769 \text{ mm}$$

Bobinado primario (BT) : Se incluye las salidas del bobinado, considerando 1000 mm dicho tramo.

$$G_{cu_p} = \tau_{cu} [N_p l_{m_p} + 1000] S_{cu_p}$$

$$G_{cu_p} = 0.89 * 10^{-5} [42 (373.85) + 1000] * 35.5$$

$$G_{cu_p} = 5.277 \text{ Kg (Por columna)}$$

$$G_{cu pt} = 2 * 5.277 = 10.544 \text{ Kg (Total)}$$

Bobinado secundario (AT) :

$$G_{cu_s} = \tau_{cu} [N_s l_{m_s} + 1000] S_{cu_s}$$

$$G_{cu_s ch} = 0.89 * 10^{-5} [109 (574.911)] * 0.255 * 2$$

$$G_{cu_s ch} = 0.285 \text{ Kg (Bobinado de choque-Por columna)}$$

$$G_{cu_s i} = 0.89 * 10^{-5} [108 (574.911)] * 0.255$$

$$G_{cu_s i} = 0.141 \text{ Kg (Bobinado intermedio-Por columna)}$$

$$G_{cu_s n} = 0.89 * 10^{-5} [491 (571.769)] * 0.255 * 11$$

$$G_{cu_s n} = 7.008 \text{ Kg (Bobinado normal-Por columna)}$$

$$G_{cu_s} = 0.285 + 0.141 + 7.008$$

$$G_{cu_s} = 7.434 \text{ Kg (Por columna)}$$

$$G_{cu st} = 2 * 7.434 = 14.868 \text{ Kg (Total)}$$

$$G_{CU t} = G_{cu pt} + G_{cu st}$$

$$G_{cu} + = 10.544 + 14.868$$

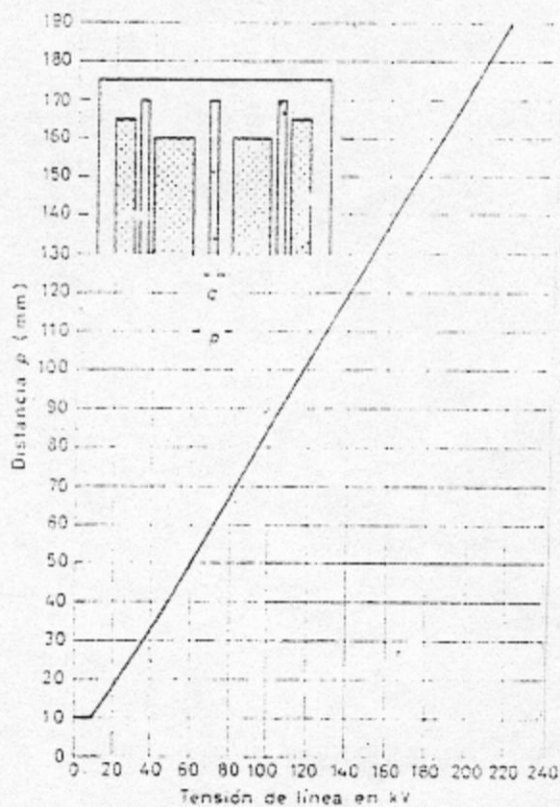
$$G_{cu} + = 25.412 \text{ Kg (Peso de cobre total)}$$

Peso del Fierro ( $G_{fe}$ )

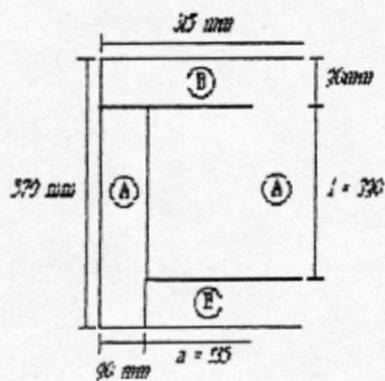
Considerando distancia aislante entre bobinados de A.T. de columnas sucesivas (p):

Para  $U = 30 \text{ Kv}$ ,  $p = 25 \text{ mm.}$  (considerando 25.5)

El núcleo queda con las siguientes dimensiones:



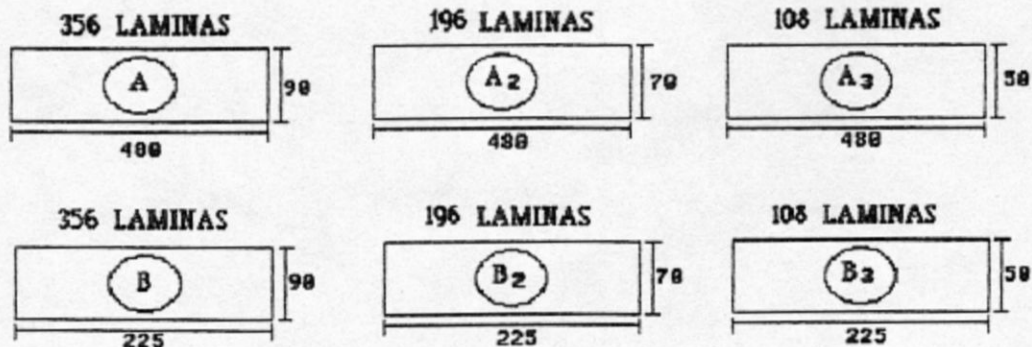
Distancias mínimas entre bobinas de alta tensión.



Número de Laminas

$$A_1 = B_1 = \frac{48 * 2}{0.28 * 0.96} = 356 \text{ Lam.} \quad A_2 = B_2 = \frac{26.2 * 2}{0.28 * 0.96} = 196 \text{ Lam.}$$

$$A_3 = B_3 = \frac{14.6 * 2}{0.28 * 0.96} = 108 \text{ Lam.}$$



VALORES EN MILIMETROS

$$\begin{aligned}A_1 &= 9 * 48.0 * 4.80 * 7.65 * 10^{-3} * 2 = 31.726 \text{ Kg} \\A_2 &= 7 * 48.0 * 2.62 * 7.65 * 10^{-3} * 2 = 13.468 \text{ Kg} \\A_3 &= 5 * 48.0 * 1.46 * 7.65 * 10^{-3} * 2 = 5.362 \text{ Kg} \\B_1 &= 9 * 22.5 * 4.80 * 7.65 * 10^{-3} * 2 = 14.872 \text{ Kg} \\B_2 &= 7 * 22.5 * 2.62 * 7.65 * 10^{-3} * 2 = 6.314 \text{ Kg} \\B_3 &= 5 * 22.5 * 1.46 * 7.65 * 10^{-3} * 2 = 2.514 \text{ Kg}\end{aligned}$$

---

74.256

### 3.10 PERDIDAS EN EL FIERRO Y EN EL COBRE

Consideramos 1.65 W/kg consumo perdido en el fierro.

$$1.65 * 74.256 = 123 \text{ W.}$$

### PERDIDAS EN EL COBRE A PLENA CARGA y 75°C

$$K = \frac{\rho_{75}}{\gamma_{cu}} = \frac{\rho_{75cc} + \Delta \rho}{\gamma_{cu}}$$

$$P_{cu} = \frac{\rho_{75}}{\gamma_{cu}} \left( \frac{I}{S_{cu}} \right)^2 G_{cu} = K \sigma^2 G_{cu} 10^3$$

Resistividad aparente a CA, que incluye efecto pelicular y el efecto de las corrientes parásitas inducidas por el flujo disperso.

$\Delta\rho$  = Representa el aumento de la resistividad aparente que tiene en cuenta el efecto pelicular y el efecto de las corrientes parásitas

$\rho_{75cc} = 2.16 \Omega - \text{cm}^2/\text{cm}$  (para el cobre comercial).

$\gamma_{cu} = 8.9 \text{ gr/cm}^3$ .

$$\Delta\rho = \left[ \frac{4}{45} h_{id}^4 + \frac{1}{9} h_{id}^4 (m_e^2 - 1) \right] \rho_{75cc}$$

$$(h_{id} < 1)$$

$$B_{id} = 0.2 \sqrt{\frac{f}{\rho_{75cc}}} \frac{L_c}{L_{sq}} h$$

$$B_{id} = 0.2 \sqrt{\frac{60}{2.16} \frac{L_c}{L_{sq}}} h = 1.05 \sqrt{\frac{L_c}{L_{sq}}} h$$

$L_c$  = Longitud axial con conductores desnudos.

$L_a$  = Longitud axial con conductores aislados.

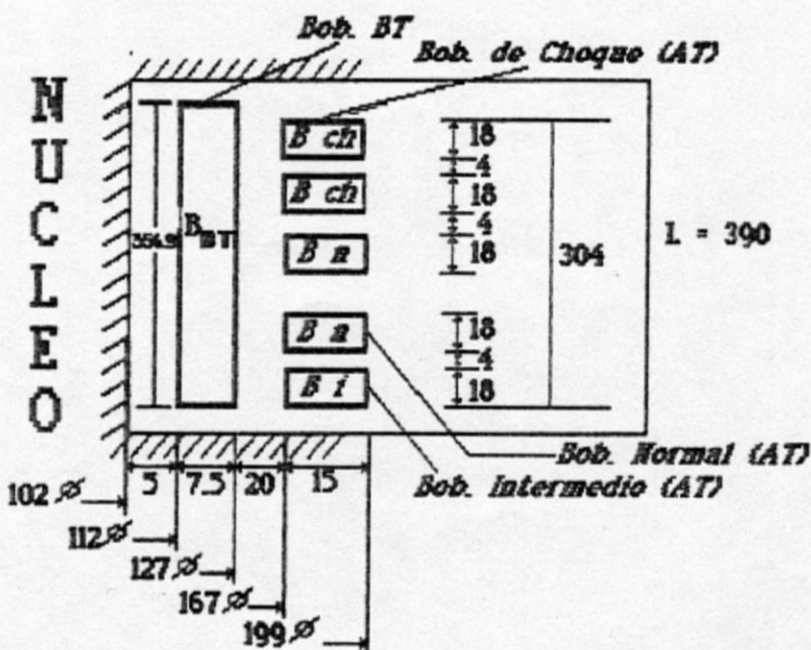
$L_{sq}$  = Longitud total del devanado, incrementado en el doble del espesor del mismo, teniendo como límite la altura de la columna.

$\Delta_a$  = Espesor de bobina.

$h$  = Ancho de conductor desnudo.

$m_a$  = Número de capas.

Para Bobinado Primario (BT)



$$L_a = 42 * 7.3 = 306.6 \text{ mm.}$$

$$L_{eq} = L_a + 2 \Delta_a$$

$$L_{eq} = 43 * 8.3 + 2 (7) = 370.9 \text{ mm.}$$

$$h = 0.7 \text{ cm.}$$

$$h_{id} = 1.05 \sqrt{\frac{306.6}{370.9}} * 0.7 = 0.668$$

$$0.2 \sqrt{\frac{60}{2.16}} \sqrt{\frac{L_c}{L_{eq}}} h = 1.05 \sqrt{\frac{L_c}{L_{eq}}} * h$$

$$\Delta \rho = [\frac{4}{45} 0.668^4 + \frac{1}{9} 0.668^4 (1^2 - 1)] \rho_{75cc} = 0.0177 \rho_{75cc}$$

$$K_{BT} = \frac{\rho_{75cc} + 0.0177 \rho_{75cc}}{\gamma_{cu}} = 1.017 * \frac{2.16 * 10^{-6}}{8.9}$$

$$K_{BT} = 2.468 * 10^{-7}$$

$$P_{cu\ BT} = 2.468 * 10^{-7} * \sigma_{BT}^2 * G_{cu} * 10^3$$

$$P_{cu\ BT} = 2.468 * 10^{-7} * 3.201^2 * 10.544 * 10^3$$

$$P_{cu\ BT} = 266.64\ W$$

Para Bobinado Secundario (AT)

$$L_s = 3 (11 * 0.576) + 11 (26 * 0.576)$$

$$L_s = 183.744\ mm.$$

$$L_{eq} = L_s + 2 A_m$$

$$L_{eq} = (14 * 18) + (13 * 4) + (2 * 15)$$

$$L_{eq} = 334\ mm.$$

$$h = 0.0576\ cm.$$

$$h_{id} = 1.05 \sqrt{\frac{183.744}{334}} * 0.0576$$

$$h_{id} = 0.0448 \text{ cm.}$$

$$\Delta \rho = [\frac{4}{45} 0.0448^4 + \frac{1}{9} 0.0448^4 (19^2 - 1)] \rho_{75cc} = 1.6149 * 10^{-4} \rho_{75cc}$$

$$K_{AT} = \frac{\rho_{75cc} + 1.6149 \rho_{75cc}}{\gamma_{cu}} = 2.6149 * \frac{2.16 * 10^{-6}}{8.9}$$

$$K_{AT} = 2.427 * 10^{-7}$$

$$P_{cu AT} = 2.427 * 10^{-7} * \sigma_{BT}^2 * G_{cu} * 10^3$$

$$P_{cu AT} = 2.427 * 10^{-7} * 3.267^2 * 14.868 * 10^3$$

$$P_{cu AT} = 385.14 \text{ W}$$

Perdidas Totales en el Cobre (P<sub>cu</sub> TOT).

$$P_{cu} TOT = P_{cu} BT + P_{cu} AT$$

$$P_{cu} TOT = 266.64 + 385.14$$

$$P_{cu} TOT = 651.78 \text{ W}$$

### 3.11 TENSION DE CORTOCIRCUITO (E<sub>R</sub>%)

Caída óhmica total en corriente alterna a 75°C. (E<sub>R</sub>%)

$$E_R\% = \frac{P_{cu\ TOT}}{S_{nom}} * 100 \%$$

Donde:

P<sub>cu TOT</sub> = Perdidas Totales en el Cobre.

S<sub>nom</sub> = Potencia nominal del transformador.

$$E_R\% = \frac{652}{25000} * 100 \%$$

$$E_R\% = 2.60 \%$$

Caída de reactancia específica. (E<sub>x</sub>%)

$$E_x\% = 7.45 * 10^{-2} * S_{nom} * \frac{D_{mo} * [\Delta e_b + \frac{\Delta e_p + \Delta e_s}{3}]}{L_m * (\text{Volt}/\text{amp})^2}$$

Donde:

S<sub>nom</sub> = Potencia Nominal del transformador

D<sub>mo</sub> = Diametro medio del canal aislante entre bobinados

$\Delta_{so}$  = Espesor de canal aislante entre bobinados

$\Delta_{sp}$  = Espesor del bobinado primario.

$\Delta_{ss}$  = Espesor del bobinado secundario

$L_m$  = Altura media de los bobinados primario y secundario.

$$Ex\% = 6.76 * 10^{-2} * 25 * \frac{147 * [20 + \frac{7.5 + 15}{3}]}{330.45 * 2.619^2}$$

$$Ex\% = 3.014 \%$$

$$E_z\% = \sqrt{E_R\%^2 + E_x\%^2}$$

$$E_z\% = \sqrt{2.60^2 + 3.014^2}$$

$$Ex\% = 3.98 \%$$

### 3.12 DIMENSIONES DEL TANQUE

Cálculo de la disipación del tanque en transformadores en aceite.

El calentamiento máximo del aceite en la parte superior del tanque no debe exceder, según las normas CEI los 60°C sobre

un ambiente de 40°C, cuando el transformador lleva conservador de aceite y los 55°C cuando no lleva conservador.

A éste calentamiento máximo del aceite  $\theta_{\text{máx}}$  le corresponde un calentamiento medio que depende de la diferencia de altura entre el punto medio de los arrollamientos y el punto medio del elemento refrigerante.

Se ha encontrado que para el calentamiento medio se puede considerar un 85% del valor máximo, esto es:

$$\theta_{\text{medio}} = 0.85 \theta_{\text{máx}}$$

#### Tanque de Paredes Lisas.

La disipación térmica, contando siempre nada más que con la superficie lateral, se produce por radiación y convección y ambos fenómenos intervienen en el mismo grado, dando en conjunto un coeficiente de disipación cuyo valor varía con el calentamiento máximo del aceite. El valor de éste coeficiente es de 670 W/m<sup>2</sup> para un calentamiento máximo del aceite de 50°C.

La superficie de disipación del tanque es igual a:

$$S_{\text{dis}} = 2[L_{\text{INT}} + A_{\text{INT}}] * H\Theta \text{ (m}^2\text{)}$$

En Donde:

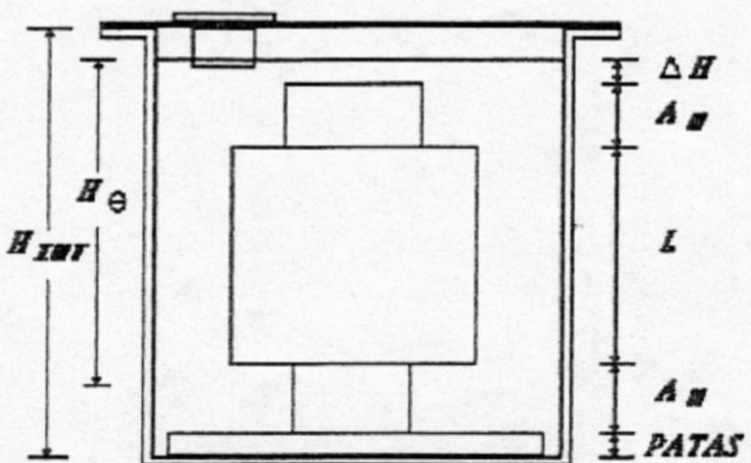
$L_{\text{INT}}$  = Longitud de la pared frontal del tanque.

$A_{\text{INT}}$  = Longitud de la pared lateral del tanque.

$H\Theta$  = Altura neta de disipación.

La disipación es de:

$$W_L = 670 \text{ } K\theta * S_{diss} (\text{W})$$



Siendo la perdida total del transformador ( $P_{TOT}$ ):

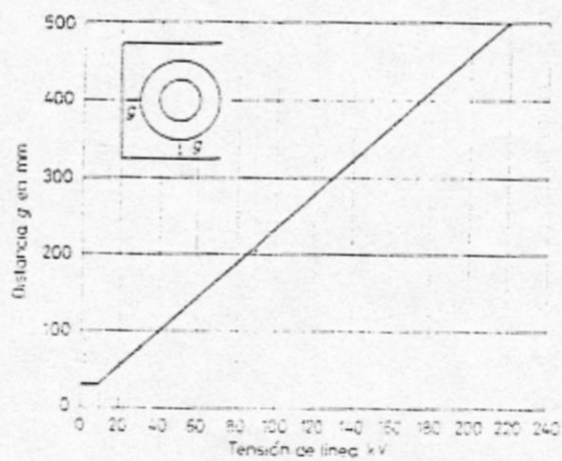
$$P_{TOT} = 775 \text{ W}$$

La superficie necesaria de disipación es:

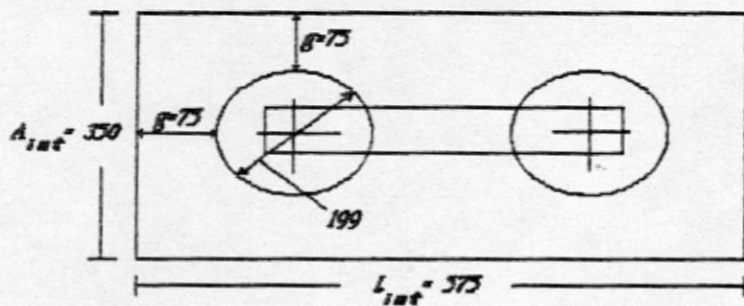
$$S_d = \frac{775 \text{ (W)}}{670 \text{ (W/Kg)}} = 1.156 \text{ m}^2$$

La distancia mínima entre bobina AT y tanque:

$$g = 75 \text{ mm.}$$



Consideramos:



$$H_{int} = 800 \text{ mm.}$$

Teniendo:

$$A_N = 90 \text{ mm.}$$

$$L = 390 \text{ mm.}$$

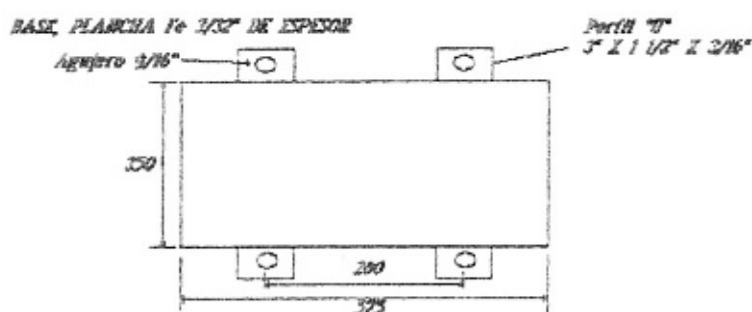
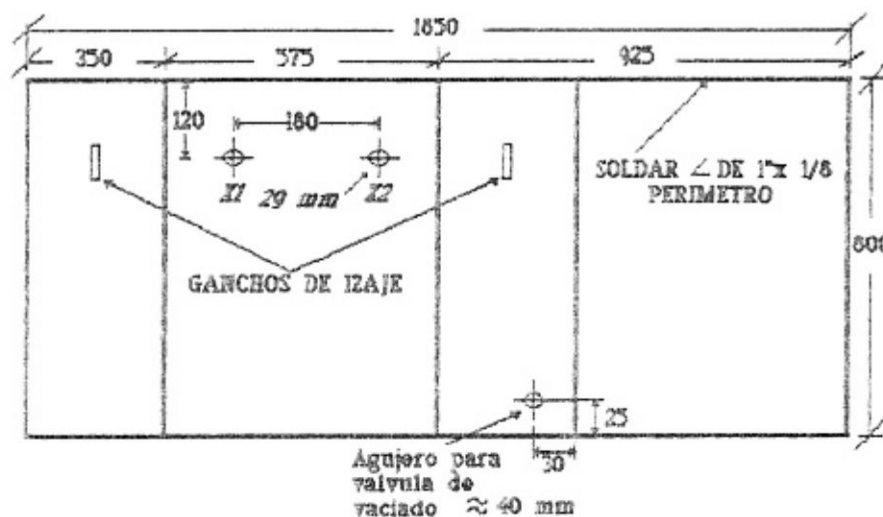
$$\Delta H = 150 \text{ mm.} \quad H\Theta = 660 \text{ mm.}$$

$$S_{dis} = 2 [ 0.575 + 0.35 ] 0.66$$

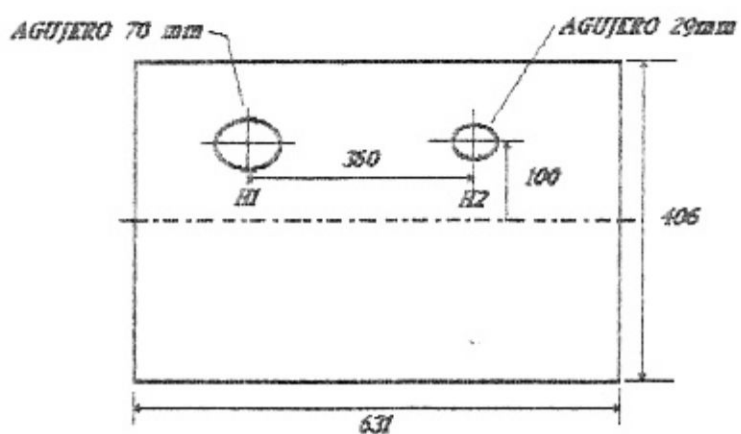
$$S_{dis} = 1.221 \text{ m}^2. \quad (\text{adoptado})$$

3.13 FABRICACION DE CAJA PARA TRANSFORMADOR MONOFASICO

EN ACEITE 25 KVA - 0.22 / 30 KV - 60 HZ .

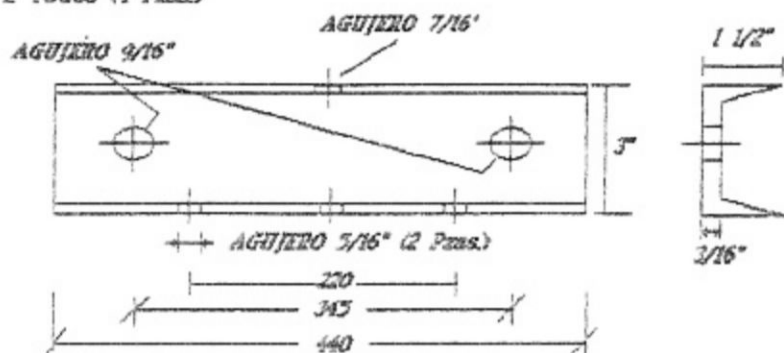


TAPA PLANCHA DE Fe 1/4" DE ESPESOR

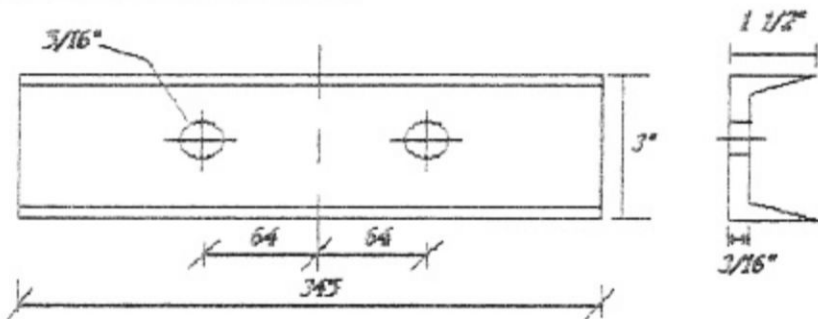


SUJECIONES DE NUCLEO DEL TRANSFORMADOR  
25 KVA - 0.22 / 30 KV - 60 Hz

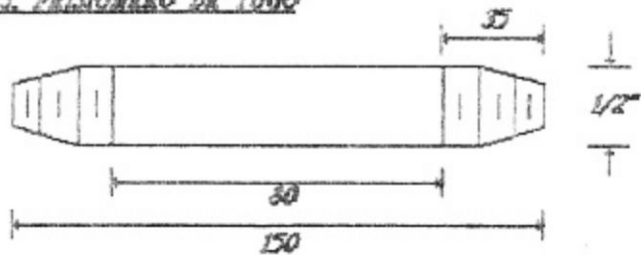
1. TUBOS (4 Pzas.)



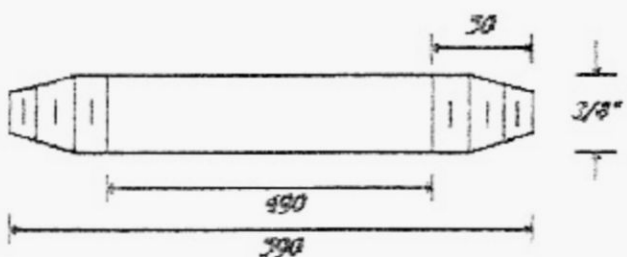
2. PATAS DE APOYO (2 Pzas.)



3. PERFORADO DE TUBO



4. PRISIONERO DE COLUMBIA



**TRANSFORMADORES - HOJA DE CALCULO**

ORDEN DE TRABAJO N°

SECO EN ACEITE FABRICACION REPARACION 

Cliente				Cantidad
Marca				Fases
kVA	25	Número	T 10	1
VOLTIOS	220	Grupo	113.636	Ciclos
	30000	AMP.	0.833	m.s.n.m.
				1000
				Impedancia 40%

	VOLTIOS	ESPIRAS	NUCLEO	PESOS
A.T.			DIAMETRO 102	FIERRO Kg 79.256
			ALT. VENT. 390	COBRE Kg 25.412
	30000	11454	ANCHO VENT. 135	Fe. / Cu. Kg 2.922
			DIST. EJES 225	NETO Kg 116
			SECCION 66.086 mm²	ACEITE Kg 130
B.T.	220	84	DENSIDAD 14876	TANQUE Kg 36
			Nº ESCALONES	TOTAL Kg 282

1	DEVANADO		BAJA TENSION	ALTA TENSION
2	UBICACION		INTERIOR	EXTERIOR
3	TENSION NOMINAL		220 V	30000 V
4	TENSION ENSAYO		2.5 KV	70 KV
5	INTENSIDAD		113.636 A	0.833 A
6	CONDUCTOR		24s 2.5 x 7.3 mm	1 # 23 AWG
7	TIPO AISLAMIENTO		Cinta de aluminio 110mm	D.G.
8	CONDUCTORES	JUNTOS	1 18.3 mm	1 1 0.643" mm
9	EN PARALELO	SUPERP.	2 7 mm	6 1 0.643" mm
10	SECCION TOTAL		34.7 mm²	0.260 mm²
11	DENSIDAD CORRIENTE		3.275 A/mm²	3.267 A/mm²
12	ESPIRAS POR COLUMNA		42	5401 + 326 = 5727
13	ESPIRAS POR BOBINA		1	NORMAL 11x497
14	Nº DE CAPAS		1	1.09 + 1x108
15	ESPIRAS POR CAPA		42	26 1.1
16	AISLAMIENTO DE CAPAS		-	Papel 0.1 mm
17	CANALES DE VENTILACION		-	-
18	ESPESSOR RADIAL		7 1 7.5 mm	14.02/15 mm 15.33/16 mm
19	DIAMETRO INTERIOR		112 mm	167 mm
20	DIAMETRO EXTERIOR		127 mm	197 mm 199 mm
21	LONG. AXIAL NETA BOB.		356.9 mm	17361 mm 17.316 mm
22	LONG. AXIAL TOTAL BOB.		370 mm	18 mm 19 mm
23	SEP. AXIAL DE BOBINAS		-	Lustres de carton 4mm esp.
24	LONG. AXIAL TOTAL DEV.		370 mm	304 mm
25	LONGITUD MEDIA DEV.		373.85 mm	571.769 mm 574.911 mm
26	PESO COBRE POR COLUMNA		5.277 Kg	7.008 Kg 0.426 Kg
27	AISLAMIENTO ENTRE DEVANADOS		7mm ACEITE + 5mm CARTON + 8mm ACEITE = 20mm	
28	PESO COBRE TOTAL		10.544 Kg	14.068 Kg = 25.412
29				

TANQUE	LARGO	ANCHO	ALTURA	Nº ALETINB	DISIPACION	DISIPACION
	575 mm	350 mm	800 mm	-	818 W	-

VALORES CALCULADOS	Pfe.	Pcu	Ptot	%ex	%ex	%pf
MEDIDAS	123 w	652 w	775 w	2.60%	3.014%	3.98%

Observaciones:

## CONCLUSIONES

1. Es importante que un transformador de distribución al ser recepcionado en una empresa de servicios, para su mantenimiento o reparación, y en el caso de fabricación, cumpla con el llenado de los diferentes protocolos de prueba, a fin de tener su historial respectivo.
2. Con la finalidad de garantizar el buen funcionamiento de los transformadores, se ha detallado la descripción de los equipos y aparatos eléctricos con que debe contar una Sala de Pruebas, de acuerdo a la realización de cada una de las pruebas de recepción , empleando una determinada marca de instrumentos, pudiendo ser estas ampliadas y reemplazadas por otras de características similares .
3. Al obtener resultados, en la Sala de Pruebas, coincidentes con los valores garantizados dados como calculista en la fabricación de transformadores de distribución; en el presente trabajo muestro el cálculo del transformador auxiliar de 25 KVA - 0.23/30 KV - 60 Hz, en base de fuentes de información de acceso común, estando seguros del cumplimiento de sus especificaciones.

4. Por último, es necesario considerar que las personas responsables de operar en una Sala de Pruebas tengan buen conocimiento técnico de las pruebas a realizar, para ello se debe de brindarles informaciones al respecto, así como las relacionadas con la seguridad industrial.

BIBLIOGRAFIA

- CALCULO INDUSTRIAL DE MAQUINARIAS ELECTRICAS  
CORRALES MARTIN, Juan  
Editorial Labor
- TEORIA, CALCULO Y CONSTRUCCION DE TRANSFORMADORES  
ESCUELA DEL TECNICO ELECTRICISTA  
Editorial Labor
- TRANSFORMADORES ELECTRICOS INDUSTRIALES  
CAMARENA, PEDRO  
Editoria CECSA
- TRANSFORMADORES  
RAS, Enrique  
Editorial Marcombo
- MAQUINAS ELECTRICAS  
KOSTENKO  
Editorial MIR
- MAQUINAS ELECTRICAS  
IVANOV - SMOLENSKI  
Editorial MIR
- CIRCUITOS MAGNETICOS Y TRANSFORMADORES  
STAFF OF DEPARTAMENT OF ELECTRICAL ENGINEERING,  
MASSACHUSETTS.  
John Wiley & Sons
- TRANFORMADORES DE POTENCIA  
NORMA ITINTEC 370.002



## REPARACION DE TRANSFORMADOR

O.T. N°:

CLIENTE:

## DATOS DE PLACA

Marca:	Nº:	Frecuencia:	Año:
Tipo:	Fases:	Grupo Connex.:	Altitud:
Potencia:	Tensión:		Peso aceite:
Tcc:	Corriente:		Peso total:
Norma:	C1. de Aisl.		

## 1) OBSERVACIONES EXTERNAS

Fecha:

Firma:

Recpcionado	Parte activa y tanque	<input type="checkbox"/>	Parte activa sola	<input type="checkbox"/>								
Placa	Rota	<input type="checkbox"/>	Borrada	<input type="checkbox"/>	No tiene	<input type="checkbox"/>	Bien	<input type="checkbox"/>				
Tanque	Sucio	<input type="checkbox"/>	Abollado	<input type="checkbox"/>	Perforado	<input type="checkbox"/>	Oxidado	<input type="checkbox"/>	Bien	<input type="checkbox"/>		
Tapa	Sucia	<input type="checkbox"/>	Abollada	<input type="checkbox"/>	Perforada	<input type="checkbox"/>	Oxidada	<input type="checkbox"/>	Bien	<input type="checkbox"/>		
Conservador	Sucio	<input type="checkbox"/>	Abollado	<input type="checkbox"/>	Perforado	<input type="checkbox"/>	Oxidado	<input type="checkbox"/>	Bien	<input type="checkbox"/>	No tiene	<input type="checkbox"/>
Empaquetaduras	Malogradas	<input type="checkbox"/>	Bien	<input type="checkbox"/>								
Commutador	Tiene	<input type="checkbox"/>	No tiene	<input type="checkbox"/>	Roto	<input type="checkbox"/>	Trabado	<input type="checkbox"/>				
Bornes A.T.	Fases: Rotos	<input type="checkbox"/>	Astillados	<input type="checkbox"/>	Flojos	<input type="checkbox"/>	Bien	<input type="checkbox"/>				
Bornes B.T.	Fases: Rotos	<input type="checkbox"/>	Astillados	<input type="checkbox"/>	Flojos	<input type="checkbox"/>	Bien	<input type="checkbox"/>				
Ind. nivel aceite	Roto	<input type="checkbox"/>	No tiene	<input type="checkbox"/>	Bien	<input type="checkbox"/>	, Nivel de aceite: Bajo	<input type="checkbox"/>	Normal	<input type="checkbox"/>		
Termómetro	Roto	<input type="checkbox"/>	No tiene	<input type="checkbox"/>	Bien	<input type="checkbox"/>	, Aguja Max. temperatura.....°C	<input type="checkbox"/>				
Válvula seguridad	Rota	<input type="checkbox"/>	No tiene	<input type="checkbox"/>	Bien	<input type="checkbox"/>						
Ralé Buchholz	Roto	<input type="checkbox"/>	No tiene	<input type="checkbox"/>	Bien	<input type="checkbox"/>						
Desecador	Roto	<input type="checkbox"/>	No tiene	<input type="checkbox"/>	Bien	<input type="checkbox"/>	Color	<input type="checkbox"/>				
Ruedas	Cantidad: Tiene	<input type="checkbox"/>	No tiene	<input type="checkbox"/>								
Válvula drenaje	Rota	<input type="checkbox"/>	Golpeada	<input type="checkbox"/>	No tiene	<input type="checkbox"/>	Bien	<input type="checkbox"/>				
Perno puesta tierra	Roto	<input type="checkbox"/>	Golpeado	<input type="checkbox"/>	No tiene	<input type="checkbox"/>	Bien	<input type="checkbox"/>				
Radiador de calor	Tiene	<input type="checkbox"/>	No tiene	<input type="checkbox"/>								
	Aletas: Rotas	<input type="checkbox"/>	Golpeadas	<input type="checkbox"/>	No tiene	<input type="checkbox"/>	Bien	<input type="checkbox"/>				
	Tubos : Rotos	<input type="checkbox"/>	Golpeados	<input type="checkbox"/>	No tiene	<input type="checkbox"/>	Bien	<input type="checkbox"/>				
Otros												

## 2) PRUEBA DE RECEPCION

Fecha:

Firma:

- 2.1. Medida de aislamiento con.....de.....voltios( )...  
.....
- 2.2. Medida de resistencia de bobinados ( ).....  
.....
- 2.3. Prueba de relación: Bien  Mal
- 2.4. Grupo de conexión: Bien  Mal

## 3) OBSERVACIONES INTERNAS

Fecha:

Firma:

Aceite	Tiene	<input type="checkbox"/>	No tiene	<input type="checkbox"/>	Limpio	<input type="checkbox"/>	Sucio	<input type="checkbox"/>	Lodo en el fondo: Si	<input type="checkbox"/>	No	<input type="checkbox"/>
Fusible	Tiene	<input type="checkbox"/>	No tiene	<input type="checkbox"/>	Cantidad:	<input type="checkbox"/>	Quemados	<input type="checkbox"/>	Bien	<input type="checkbox"/>	Amps.	<input type="checkbox"/>
Commutador	Roto	<input type="checkbox"/>	Trabado	<input type="checkbox"/>	Sucio	<input type="checkbox"/>	No tiene	<input type="checkbox"/>	Bien	<input type="checkbox"/>		
Interruptor	Bien	<input type="checkbox"/>	Mal	<input type="checkbox"/>	No tiene	<input type="checkbox"/>						
Patrillas	Rotos	<input type="checkbox"/>	Quemados	<input type="checkbox"/>								
Núcleo	Bien	<input type="checkbox"/>	Mal	<input type="checkbox"/>								

## REPARACION DE TRANSFORMADORES

卷一

CLEMENTS

### 3.1. Raxanado de A.T.

- 3.1.1. Aislamientos recalentados en las fases:.....

3.1.2. Arrollamientos recalentados en las fases:.....

3.1.3. Desplazamiento axial en las fases:.....

3.1.4. Desplazamiento radial en las fases:.....

3.1.5. Se detectaron cortocircuitos entre:  
 Espiras  Capas  Bobinas  en las fases.....  
 Bobinas y núcleo, en las fases:.....  
 Devanado de A.T. y B.T. en las fases:.....

3.1.6. Fases en buen estado:.....

2. Devanado de B.T.

3.2.1. Aislamientos recalentados en las fases:.....

3.2.2. Arrollamientos recalentados en las fases:.....

3.2.3. Desplazamiento axial en las fases:.....

3.2.4. Desplazamiento radial en las fases:.....

3.2.5. Se detectaron cortocircuitos entre:  
 Espiras  Capas  Bobinas  en las fases:.....  
 Bobinas y núcleo en las fases:.....

3.2.6. Fases en buen estado:.....

3. Otros:.....

#### CONCLUSION

## **CONCLUSIONES Y RECOMENDACIONES**

卷之三

#### DRILLING AND APPROXIMATE

## DEPARTAMENTO TÉCNICO

Kacza

二二二

5 201531 PRENTI

Page 1

卷之三

- 5.1. Control de la continuidad de los devanados ( ) .....  
 .....  
 5.2. Medida de aislamiento con.....de.....voltios ( ) .....  
 .....  
 5.3. Relación de transformación en vacío y control de la polaridad

CLIENTE

OT N°

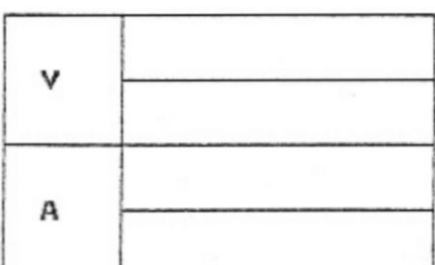
EN ACEITE EN SECO 

PRUEBA PREVIA DE

TRANSFORMADOR DE \_\_\_\_\_ KVA

## DATOS

MARCA	
TIPO	
NORMA	
ALTITUD	m.snm



FASES	
FRECUENCIA	c/s
GRUPO	
TCC	Z

1

## MEDIDA DEL AISLAMIENTO

DENOMINACION	M Q	TENSION DC
AT Vs M		V
AT Vs BT		V
BT Vs M		V

2

## MEDIDA DE LA RESISTENCIA

RESISTENCIA AT		RESISTENCIA BT	
UV	Ω	UV	Ω
VM	Ω	VM	Ω
WU	Ω	WU	Ω

Ta = °C

INSTRUMENTO( )

Ta = °C

INSTRUMENTO( )

3

## RELACION DE TRANSFORMACION

INSTRUMENTO ( )

POSIC	RELACION TEORICA $n_T$	RELACION MEDIDA	$n_H$	ERROR%

4

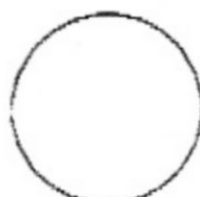
## GRUPO DE CONEXION

UNIENDO

U - u

INSTRUMENTO ( )

BORNES	TENSION
UV	
VM	
WU	
Vv	
Vw	
Wv	
Ww	



5

## DISTRIBUCION DE FLUJO

INSTRUMENTO ( )

ALIM. MONOFASICA		TENSION MEDIDA			CORRIENTE	
UV	VW		WU		U	
VM	WU		UV		V	
WU	UV		VW		W	

## 6 OBSERVACIONES :



BROWN BOVERI I.C.T.		Protocolo de Prueba	Nº L.....			
EF..... T.....	EBT..... Esquema T.....					
Clave: .....	Fases	Transformador	Tipo			
Instalación.....		Nr.....				
Prueba de Entrega: .....	kVA		Conexión Grupo			
Marcha en // con transf. Nº .....	V		E.c.c. f			
Conexión de Entrega: .....	A		%			
<b>1. RELACION DE TRANSFORMACION EN VACIO</b>						
Posición del Commutador	Tensiones comparadas en Volt		Tensiones comparadas en Volt	Tolerancia admisible		
AT BT	Arroll. AT	Arroll. BT	Arroll. AT	Arroll. BT	$\pm 0,5\%$	
1	.....	.....	.....	.....	.....	
2	.....	.....	.....	.....	.....	
3	.....	.....	.....	.....	.....	
4	.....	.....	.....	.....	.....	
5	.....	.....	.....	.....	.....	
<b>2. POLARIDAD:</b> .....						
<b>3. PERDIDAS EN VACIO</b>						
Tensión Nominal	..... V			frecuencia .....	Hz	
Corriente en vacío en la fase	.....	=	.....	A		
Corriente en vacío en la fase	.....	=	.....	A		
Corriente en vacío en la fase	.....	=	.....	A		
Pérdidas en vacío	..... W					
<b>4. PERDIDAS EN CORTO - CIRCUITO</b>						
Corriente Nominal	..... A			frecuencia .....	Hz	
Pérdidas en el Cobre al	.....	$^{\circ}\text{C}$	=	.....	W	
Pérdidas en el Cobre al	.....	$^{\circ}\text{C}$	=	.....	W	
Tensión de Corto - Circuito al	.....	$^{\circ}\text{C}$	=	.....	%	
Tensión de Corto - Circuito al	.....	$^{\circ}\text{C}$	=	.....	%	
Prueba realizada en la posición	.....			del commutador de AT BT		
<b>5. RESISTENCIA</b>						
Arrollamiento de AT	.....	$\Omega$	por fase, al	.....	$^{\circ}\text{C}$	
Arrollamiento de BT	.....	$\Omega$	por fase, al	.....	$^{\circ}\text{C}$	
<b>6. AISLAMIENTO</b>						
Prueba de tensión inducida al.....	frecuencia: .....	Hz	; .....	M.....	min.	
Prueba con tensión externa:						
Arrollamiento de AT contra BT y tierra	.....	kV	.....	min.		
Arrollamiento de BT contra AT y tierra	.....	kV	.....	min.		
Lima, .....	Medido .....		Controlado .....			

Dpto. Control de Calidad Fabrica Callao			PROTOCOLO DE PRUEBA Transformadores de Potencia				
Nº L	MVA	Fases	Kvols.	Amps.	GRUPO DE CONEXION	Hz	OF
							EBT:
							Clave:
<b>I. Controles Preliminares</b>							
1.1 Aislamiento con Meger [MΩ]				1.2 Prueba de aceite			
ATyM	BTyM	ATyBT	Volts. D.C.	Distancia	KV	°C	KV/Cm.
				2,5 mm			
				*			
<b>1.3 Relación de Transformación y grupo de conexión</b>							
Conexión:				Conexión:			
Pos.	Nominal $E_1 \over E_2 \times$	Medida	Error (%)	Pos.	Nominal $E_1 \over E_2 \times$	Medida	Error (%)
<b>1.4 Transformadores de corriente. Esquema:</b>							
Continuidad en bornes secundarios (Cupulas)				Polaridad			
A.T.	U	B.T.	u	A.T.	U	B.T.	U
	V		v		V		V
	W		w		W		W
	O		o		O		O
<b>1.5 Medida de resistencia. A °C</b>							
B.T.	Pos.	A.T.	Pos.				
Fases	mv	A	Ohms	Fases	V	A	Ohms
U - V				U - V			
V - W				V - W			
W - U				W - U			
Fecha:				Probado por:			
				V o Bo.			

# BROWN BOVERI Industrial Canepa Tabini S.A.

Dpto Control de Calidad  
Fabrica Callao

PROTOCOLO DE PRUEBA  
Transformadores de Potencia

Pag. N° 2

## II Pérdidas

### 2.1 Pérdidas en Vacío

Calc:

W, Garant:

W+

%

	V	C=	V	C=	Corriente	C=	Pérdidas	C=		
	Lectura	kV	Lectura	kV	Lectura	A	Nº	Lect.	Correc.	W
1,1 Vn										
Vn										
0,9 Vn										

### 2.2 Pérdidas y Tensión de Corto Circuito

Altim, Port:

Pos.	V	C=	A	C=	Pérdidas	C=	Wcu	Z %
	Lectura	kV	Lectura	kA	Nº	Lect.	W	(a/b)

## III - Aislamiento

3.1 Tensión	AT-BTyM =	KV, 1min.	A	3.2 Tensión	/	V, 120 Hz
Aplicada	BT-ATyM =	KV, 1min.	A	Inducida	Veces Vn,	A, 1min

Cálculo de  $I^2 R$ . Pos.

## IV Resumen

$I^2 R$ , ATa	°C	DISEÑO	GARANTIA	Tol.%	MEDIDO	ERROR %
$I^2 R$ , BTa	°C	WFE				
$I^2 R$ , Total a	°C	WCU				
$I^2 R$ , Total a	°C	W TOT				
$W$ Icircul.	°C	% Z				
$W$ Icircul.	°C					
$W$ Totales	°C	Io				

Fecha:

Probado por:

V; B.





## Relación en vacío y Control de la Polaridad

Pos. del comut. bajo carga	Arroll. Primario U1	Arroll. Secundario U2	Relación de Transf. Transf. $\frac{U_1}{U_2}$	Puente Ux	Error de relación % Bornes	Bornes	Bornes

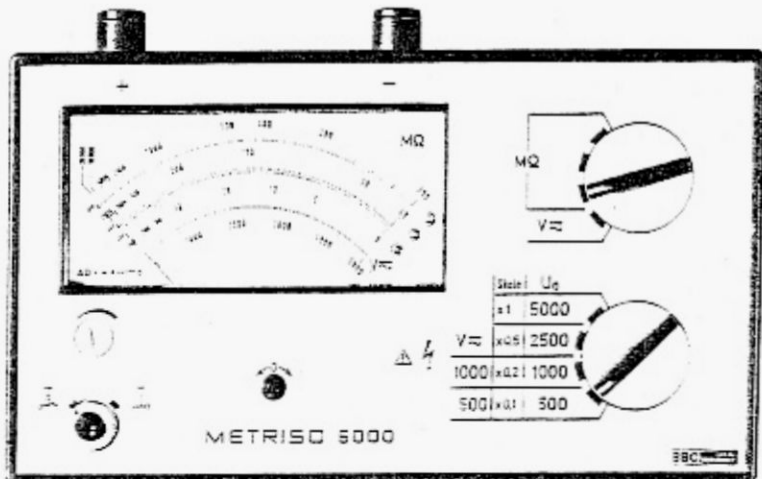


# METRISO<sup>®</sup> 5000

## Bedienungsanleitung

Nr. 3.348.010.01

ABB METRAWATT



**ABB**  
ASEA BROWN BOVERI

### 3. Technische Kennwerte

#### Meßbereiche

##### Isolationswiderstand

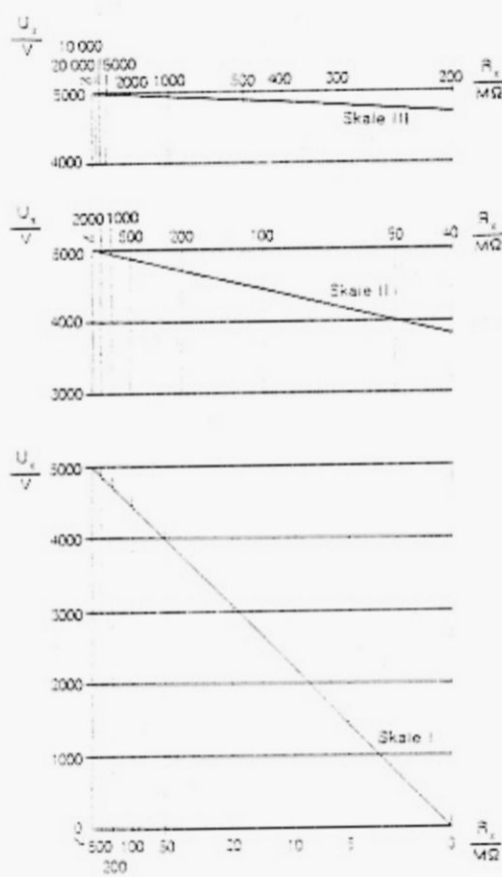
Meßbereich	Skale	Skalenumrechnungsfaktor	Leeraufspannung	Innenwiderstand
0 ... 50 MΩ/∞	I			
4 ... 200 MΩ/∞	II			
20 ... 2000 MΩ/∞	III	x 0.1	500 V	1,25 MΩ
0 ... 100 MΩ/∞	I			
8 ... 400 MΩ/∞	II			
40 ... 4000 MΩ/∞	III	x 0.2	1000 V	2,5 MΩ
0 ... 250 MΩ/∞	I			
20 ... 1000 MΩ/∞	II			
100 ... 10000 MΩ/∞	III	x 0.5	2500 V	6,25 MΩ
0 ... 500 MΩ/∞	I			
40 ... 2000 MΩ/∞	II			
200 ... 20000 MΩ/∞	III	x 1	5000 V	12,5 MΩ

##### Spannung

Meßbereich	Skalenumrechnungsfaktor	Innenwiderstand
500 V	x 0.1	ca. 1,25 MΩ
1000 V	x 0.2	ca. 2,5 MΩ

##### Skalen

Länge der Skalen: Bereich III 111,5 mm  
 Bereich II 97,4 mm  
 Bereich I 95,8 mm  
 Bereich V 78,5 mm



Spannung  $U_t$  am Prüfobjekt in Abhängigkeit von  $R_t$ . Die Werte gelten bei Leeraufspannung 5000 V, bei 2500 V sind die Werte mit dem Faktor 0,5, bei 1000 V mit 0,2 und bei 500 V mit 0,1 zu multiplizieren.

# INSTRUCCIONES

con lista de recambios



MEDIDOR DE LA RELACION DE TRANSFORMACION  
DE TRANSFORMADORES

con ajuste digital y lectura directa del  
error de la relación de transformación

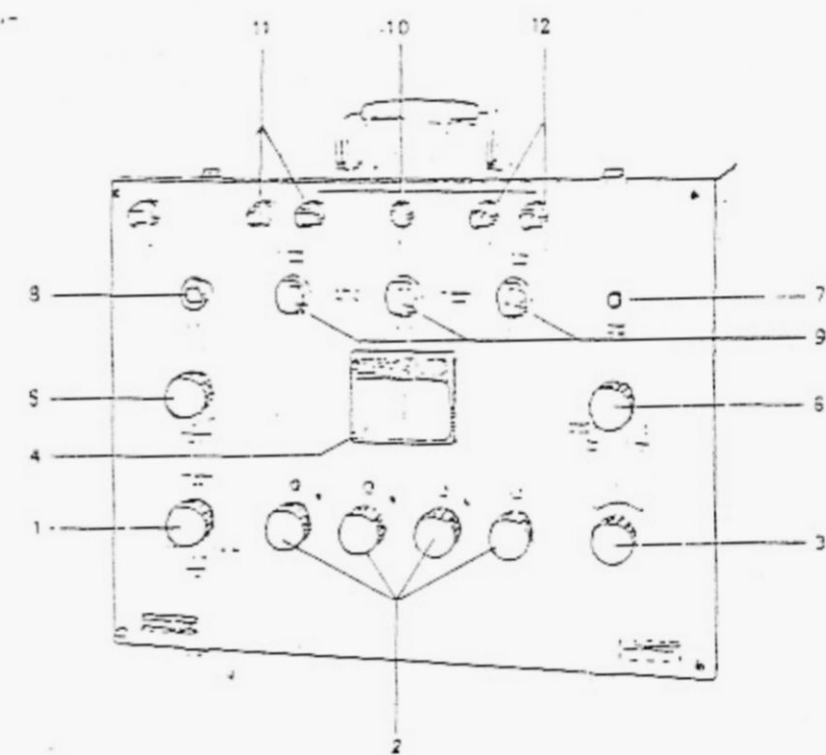
L-Nr. 4444-110



HARTMANN & BRAUN AG · FRANKFURT / MAIN  
MESS- UND REGELTECHNIK

<u>I N D I C E</u>	Página
1. Introducción .....	3
2. Resumen de las normas VDE para transformadores y bobinas de reacción, VDE 0532/8.64 .....	4
3. Método de medición .....	4
3.1. Medición de la relación de transformación .....	4
3.2. Medición del error de la relación de transformación .....	5
3.3. Control de la polaridad .....	7
4. Campos de medición .....	7
4.1. Campos de medición de la relación de transformación .....	7
4.2. Campo de medición del error de la relación de transformación .....	8
5. Exactitud de la medida .....	8
5.1. Exactitud del sistema de medición .....	8
5.1.1. Exactitud del divisor de tensión inductivo .....	8
5.1.2. Exactitud del ajuste de la relación de transformación .....	8
5.1.3. Exactitud del potenciómetro .....	9
5.1.4. Sensibilidad de ajuste del circuito de medición .....	9
5.2. Influencia de la tensión de medición .....	10
6. El indicador de cero dependiente de la fase .....	11
7. Consumo propio de la instalación de medición .....	13
8. Montaje de la instalación de medición .....	13
9. Mediciones con el medidor de la relación de transformación .....	14
9.1. Medición de la relación de transformación de transformadores .....	14
9.2. Medición de la relación de transformación de autotransformadores .....	15
9.3. Grupos de conexión para transformadores trifásicos .....	17-19
10. Lista de piezas de recambio .....	20
11. Esquema completo .....	

- 1) Selector de rango
- 2) Comutadores para las décadas
- 3) Potenciómetro
- 4) Indicador (-50  $\mu$ A...0...+50  $\mu$ A)
- 5) Regulador de sensibilidad
- 6) Comutador del "tipo de medición"



- 7) Potenciómetro (para el ajuste a cero)
- 8) Lámpara de alarma (4V; 0,25A)
- 9) Descargadores de sobretensión
- 10) Fusible (0,5A)
- 11) Bornes tensión U;V (Tensión primaria)
- 12) Bornes tensión u,v (Tensión secundaria)

## 1. Introducción

Una de las magnitudes características más importantes de un transformador es su relación nominal de transformación  $\frac{U_2}{U_1}$ , que está definida como la relación de las tensiones nominales del bobinado de alta y de baja tensión. El cociente de estas tensiones se determina en un circuito puente.

El puente se alimenta con tensión normal de red de 220 V, 50 Hz o 60 Hz. Una vez efectuado el ajuste del circuito puente se lee el cociente en los discos provistos de números con su posición decimal.

En estos discos con cifras puede ajustarse por otra parte también el cociente, que se deduce de los valores nominales de las tensiones en los bobinados de alta y baja tensión. Tras efectuar el ajuste mediante los elementos correspondientes se lee la desviación porcentual del valor real al valor prefijado, referida a este último, sobre una escala. Durante esta medición el transformador está libre de carga. El ajuste cero se determina por medio de un indicador de cero dependiente de la fase. El punto cero del indicador se encuentra en el centro de la escala. El equilibrado del puente se efectúa en la dirección de una sola componente. Por ello la operación de ajuste es tan sencilla como en el caso de un puente de corriente continua. El tiempo de ajuste corto del instrumento del punto cero facilita una operación rápida de equilibrado del puente.

Mediante el empleo de un divisor de tensión inductivo y del indicador del punto cero dependiente de la fase se alcanza una elevada exactitud de medida así como una gran sensibilidad del equilibrado.

Los fusibles incorporados garantizan un elevado margen de seguridad de servicio del aparato.

Además del cociente de las tensiones del bobinado de alta y baja tensión puede controlarse asimismo el desfasaje de las tensiones en las bobinas, caracterizado por el grupo de conexión (VDE 0532/8.64 en el párrafo 9). El control de la polaridad y la medición de la relación de transformación pueden efectuarse con este aparato en una sola operación.

## 2. Resumen de las normas VDE 0532/8.64

### § 20 Relación nominal de transformación

La relación nominal de transformación ( $U_N$ ) de un transformador es la relación exacta de las tensiones nominales de los bobinados de alta y baja tensión (por ejem. 20.000 V/400 V).

### § 55 Verificación de la relación de transformación y del grupo de conexión

- a) La comprobación de la relación de transformación se efectúa con la medición en el circuito puente. En caso de transformadores cuyos devanados posean salidas múltiples, la medición de la relación de transformación se refiere a todas las salidas o sea posiciones del selector o conmutador correspondiente.
- b) El grupo de conexión se determina mediante la medición en el circuito puente o mediante medición de tensión.

### § 62 Desviaciones admisibles

- a) La tolerancia es la desviación admisible entre el valor real y el valor prefijado. Se expresa referida a este último.

Tolerancias:

Relación nominal de transformación según § 20 y § 55  $\pm 0,5\%$  6  $\pm 1/10$  de la tensión nominal de cortocircuito medida en porcientos. Será válido el menor de ambos valores.

## 3. Procedimientos de medición

### 3.1. Medición de la relación de transformación

El esquema utilizado para la medición del cociente de alta y baja tensión está representado en forma simplificada en la fig. 1.

En el circuito de medición el transformador a medir X está conectado por su bobinado de

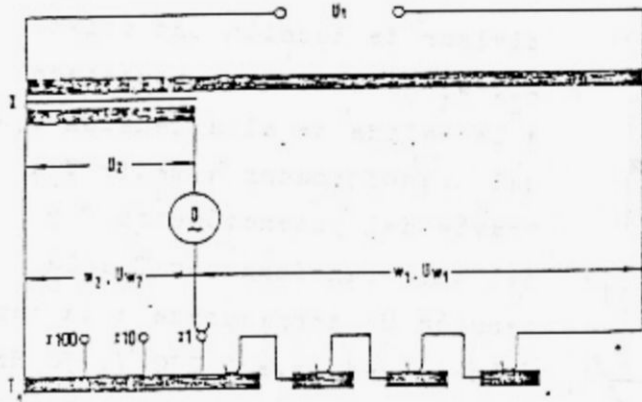


Fig. 1 Medidor de la relación de transformación con ajuste digital del cociente entre alta y baja tensión.

alta tensión a la tensión de red, por ejemplo a  $U_1 = 220 \text{ V}$ , 50 Hz o 60 Hz. En paralelo a la bobina de alta tensión se encuentra el divisor de tensión inductivo  $T_1$ , cuyo número de espiras ajustable  $w_2$ ,  $w_1$  se encuentran montadas sobre un núcleo común. Tras efectuado el ajuste del puente, la tensión secundaria  $U_2$  del transformador a medir es igual a la tensión  $U_{w2}$  del divisor de tensión inductivo  $T_1$ .

La igualdad de tensiones se verifica con el indicador de punto cero dependiente de la fase, que se encuentra en el ramal diagonal del puente. El indicador de cero señala la igualdad de ambas tensiones  $U_2$  y  $U_{w2}$  en la dirección de la componente principal.

El equilibrio del puente se consigue ajustando el número de espiras  $w_1$ ,  $w_2$ . El potenciómetro P (Fig. 2), que sirve para determinar el error de la relación de transformación, se encuentra en este caso en posición cero. Estando el puente equilibrado se obtiene la relación siguiente:

$$\frac{U_1}{U_2} = \frac{U_{w2} + U_{w1}}{U_{w2}} = \frac{w_2 + w_1}{w_2} = \bar{u}$$

El cociente  $\bar{u}$  puede leerse directamente. El amplio margen de ajuste de los números de espiras  $w_2$ ,  $w_1$  ofrece un alcance de medida para el cociente  $\bar{u}$  entre alta y baja tensión de 1...1.000.

### 3.2. Medición del error de la relación de transformación

La fig. 2 muestra el circuito de medición ampliado con la disposición para medir el error de la relación de transformación. Contrariamente al esquema simplificado de la fig. 1 el

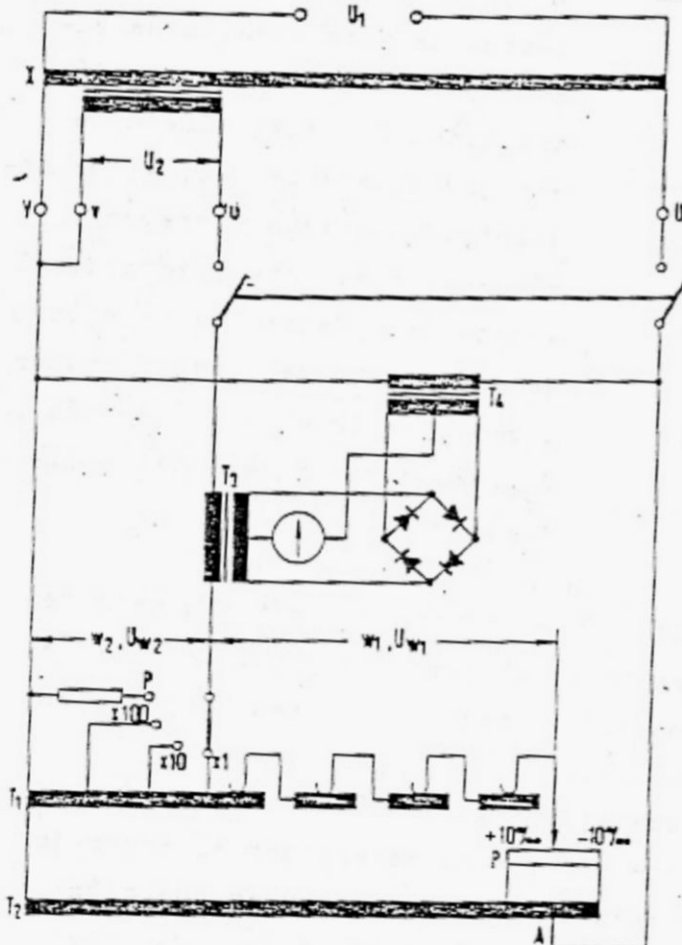


Fig. 2 Medidor de la relación de transformación con ajuste digital de la relación de transformación y de la lectura del error de la relación de transformación.

divisor de tensión inductivo  $w_2$ ,  $w_1$  se encuentra conectado a la salida de alta tensión  $U_1$  del transformador a medir X a través del potenciómetro P y del autotransformador  $T_2$ . La tensión  $U_1$  corresponde a la tensión de red, p.ej. 220 V, 50 Hz ó 60 Hz. El potenciómetro P es simétrico al cursor A en el autotransformador  $T_2$ . El cursor A está conectado a la bobina de alta tensión del transformador a medir X. La tensión existente en el divisor  $w_2$ ,  $w_1$  puede variarse con el potenciómetro P respecto a la alta tensión  $U_1$  del transformador a medir X en  $\pm 10\%$ .

Si el cociente de los valores nominales de alta y baja tensión del transformador a medir está ajustado en el divisor  $w_2$ ,  $w_1$  y siendo el error de relación de transformación por ejemplo  $+5\%$ , esto significa que la tensión  $U_2$  del transformador a medir X es  $5\%$  menor que la tensión  $U_{w2}$  del divisor  $T_1$ .

El ajuste del punto cero se efectúa mediante el potenciómetro P. La igualdad de tensiones se consigue cuando la tensión de alimentación del divisor  $w_1$ ,  $w_2$  es reducida mediante el potenciómetro P en un  $5\%$ . Una tensión menor en el divisor corresponde por lo tanto a un error positivo, una tensión mayor a un error negativo de la relación de transformación.

La escala del potenciómetro P está dividida en espacios que corresponden

a 1 %. El error de la relación de transformación del transformador a medir puede por lo tanto leerse directamente sobre esta escala.

El alcance de medición del potenciómetro es de  $\pm$  10 %; la posición central correspondiente al valor 0 % está provista de una entalladura para el cursor.

### 3.3. Control de la polaridad

Al efectuar el control de polaridad en la posición del commutador "Polung" la tensión de entrada  $U_M$  del indicador (Fig. 5) se encuentra conectada a través de una resistencia en serie (ajuste de sensibilidad) a la baja tensión  $U_2$  del transformador a medir (Fig. 2). La tensión de referencia del indicador está conectada a la alta tensión  $U_1$  del transformador a medir. El indicador de cero dependiente de la fase señala, si la tensión  $U_2$  se encuentra en fase o en contrafase respecto a la tensión de alimentación  $U_1$  del transformador a medir. Si la baja tensión  $U_2$  está en fase con la alta tensión  $U_1$ , la desviación de la aguja del indicador se efectúa hacia la derecha, estando ambas en contrafase, hacia la izquierda.

## 4. Campos de medición

### 4.1. Campos de medición de la relación de transformación

Para medir el cociente entre baja y alta tensión se dispone de tres ~~campos~~ de medición:

1...9,999            10...99,99            100...999,9

Los ~~campos~~ de medición están determinados por los ~~márgenes~~ de ajuste de los números de espiras  $w_2 + w_1$  y  $w_2$  del divisor de tensión inductivo. Los números de espiras  $w_2 + w_1$  se pueden ajustar en cuatro décadas con  $9 \cdot 1000 + 9 \cdot (100 + 10 + 1)$  espiras. El ~~márgen~~ de ajuste del número de espiras de  $w_2 + w_1$  se encuentra entre 1.000 y 9999 espiras. El número de espiras  $w_2$  es ajustable mediante el selector del campo de medición a 10; 100 o 1.000 espiras. El selector del campo de medición sitúa también la coma automáticamente.

El cociente de las tensiones  $U_1$  y  $U_2$  se desprende de la ecuación

$$\bar{u} = \frac{U_1}{U_2} = \frac{w_2 + w_1}{w_2}$$

Introduciendo en esta ecuación los valores límites de los números de espiras ajustables  $w_2$ ,  $w_1$ , se obtiene un alcance de medición de 1...1.000. El cociente puede leerse directamente en los discos con cifras.

#### 4.2. Caso de medición del error de la relación de transformación

Para medir la desviación de la relación de transformación real a la relación nominal de un transformador se dispone de un alcance de medición  $\pm 10\%$ . Este alcance de medición está determinado por el margen de tensión  $\pm 10\%$ , ajustable mediante el potenciómetro P en el divisor  $T_1$  respecto a la tensión de alimentación  $U_1$  del transformador a medir X. El error de la relación de transformación se lee sobre la escala del potenciómetro calibrado en %, ~~tras~~ efectuado el ajuste del puente.

### 5. Exactitud de la medición

#### 5.1. Exactitud del conjunto de medición

La exactitud del conjunto de medición está determinada por la exactitud del divisor de tensión inductivo, por la exactitud del ajuste de la relación de transformación, por la exactitud del potenciómetro, cuya escala sirve para la lectura del error de la relación de transformación y por la sensibilidad del ajuste del circuito de medición. Todas estas influencias determinan conjuntamente una tolerancia del sistema de medición inferior a  $\pm 0,1\%$ .

##### 5.1.1. Exactitud del divisor de tensión inductivo

La exactitud del divisor de tensión inductivo está determinada sobre todo por la exactitud de su número de espiras. Estas están bobinadas sobre un núcleo común. Su número puede determinarse de una forma fácil. Las resistencias óhmicas son proporcionales a los números de espiras y despreciables en comparación con las resistencias inductivas. La dispersión magnética que puede influenciar la relación de división produce un error inferior a  $\pm 0,02\%$  en todo el campo de tensión y frecuencia del divisor.

##### 5.1.2. Exactitud del ajuste de la relación de transformación

El divisor inductivo dispone de 4 décadas para el ajuste del cociente

entre alta y baja tensión. El cociente puede ajustarse en un alcance entre 1 y 999,9. Al efectuar la medición se encuentran conectadas las cuatro décadas. La exactitud de ajuste del divisor se encuentra por lo tanto entre 0,1 y 0,01%. Utilizando la escala, que sirve para determinar el error de la relación de transformación, puede conseguirse una exactitud de ajuste para el cociente de 0,01% en todo el campo de medición.

#### 5.1.3. Exactitud del potenciómetro

El potenciómetro P dispone de una escala con división lineal para un campo de medición de la relación de transformación de  $\pm 10\%$ . La división tiene una longitud  $\pm 60$  mm. El error de división es pequeño siendo la tolerancia de lectura  $\pm 0,01\%$ .

El potenciómetro P es alimentado por el transformador  $T_2$ . El error de tensión de este transformador ejerce una influencia de segundo orden sobre la indicación del potenciómetro. Un error de tensión por ejemplo de 1% del transformador produce un error máximo de la relación de transformación de 0,01%. El error de tensión del transformador  $T_2$ , los errores del divisor y de lectura del potenciómetro P producen en conjunto una tolerancia  $\pm 0,02\%$ .

#### 5.1.4. Sensibilidad de ajuste del circuito de medición

El indicador cero dependiente de la fase garantiza una alta sensibilidad de ajuste conjuntamente con el divisor de tensión inductivo. Bajo sensibilidad de ajuste se entiende un desequilibrio porcentual del puente, bajo el cual el indicador cero accusa una desviación bien visible.

En la fig. 3 se muestra la sensibilidad de ajuste del medidor de relación de transformación referida a una desviación del galvanómetro de una división de escala (1,2 mm) en función del cociente entre baja y alta tensión del transformador a medir.

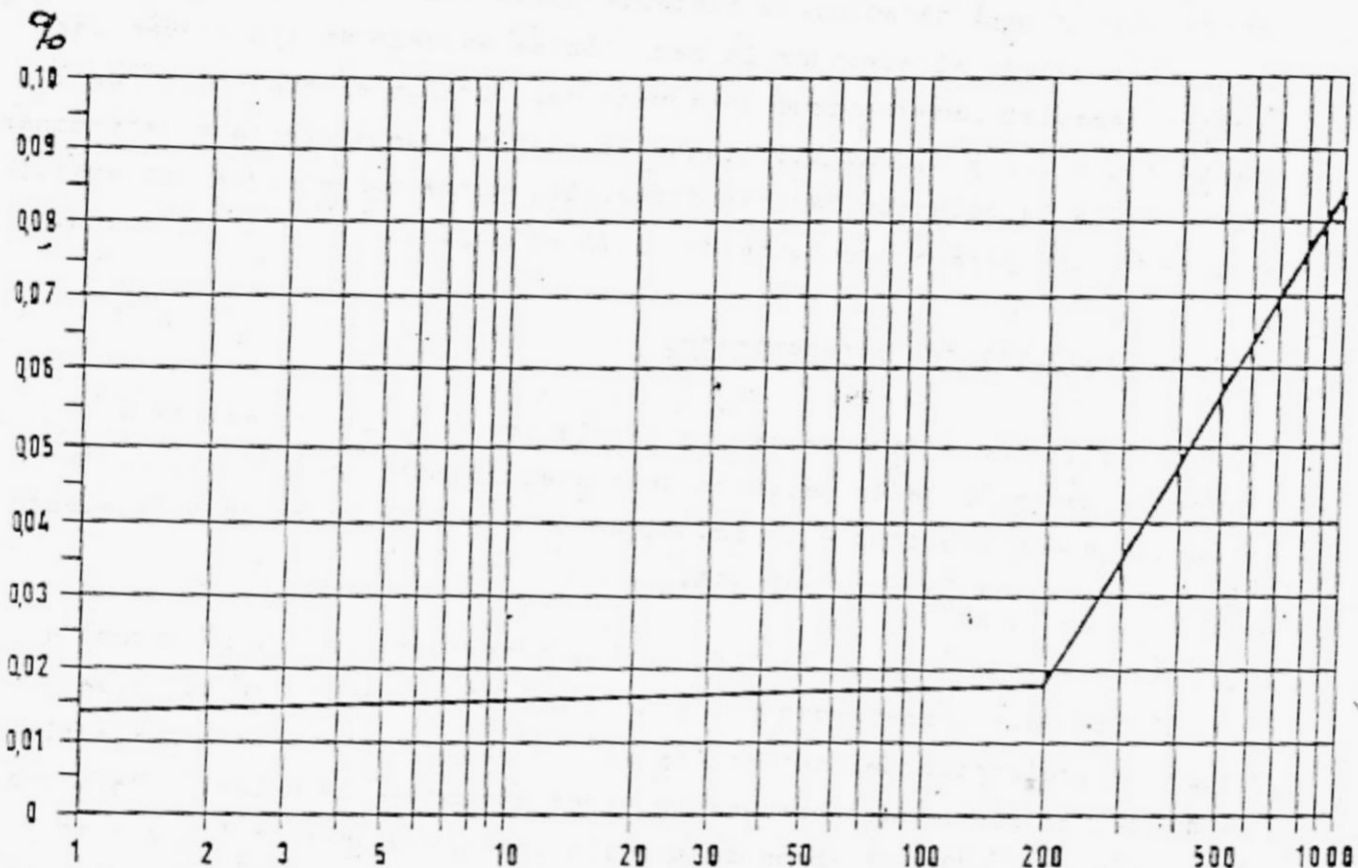


Fig. 3 Sensibilidad de ajuste del medidor de relación de transformación  
(desviación del galvanómetro 1,2 mm).

Abgleichempfindlichkeit % = Sensibilidad de ajuste %

Übersetzung, Quotient % von Ober- u. Unterspannung = Relación de transformación, cociente entre alta y baja tensión.

#### 5.2. Influencia de la tensión de medición

Midiendo la relación de transformación de un transformador en función de la tensión, se obtiene una curva semejante a la representada en la fig. 4.

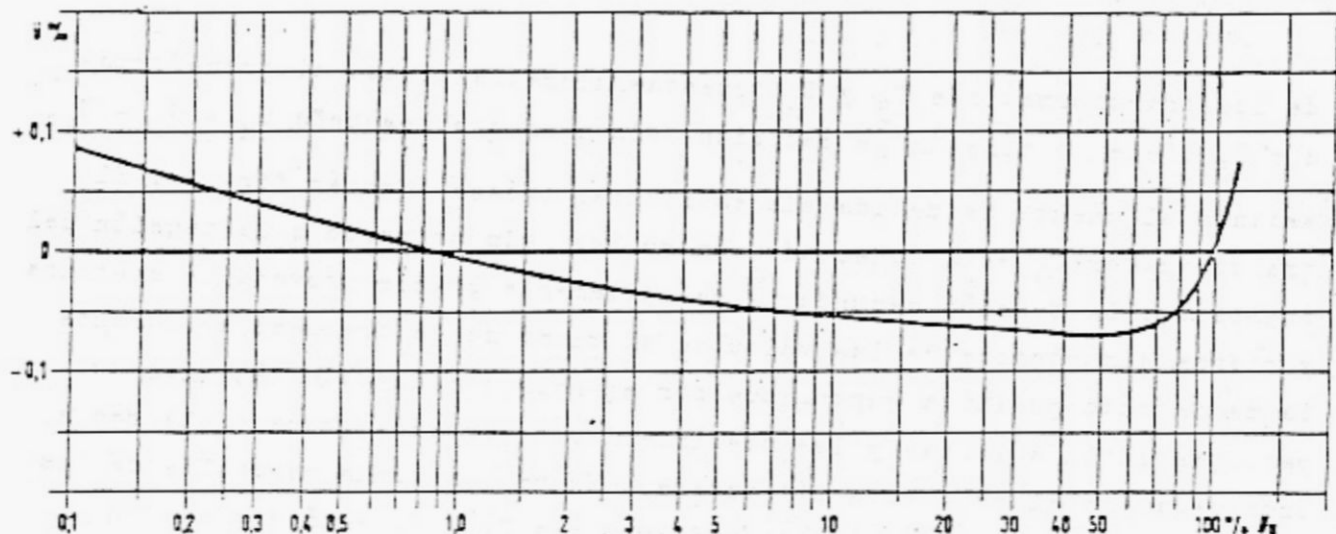


Fig. 4 Error de transformación de un transformador 200-MVA 127 kV/10 kV en función de la tensión.

Sobre el eje de abcisas se encuentran en escala logarítmica los valores de tensión en % de la tensión nominal y sobre el eje de ordenadas en escala lineal los errores de transformación en %. A la tensión nominal ( $100\% U_N$ ) el transformador medido tiene un error de transformación de + 0,024%. Con tensión decreciente el error de transformación se vuelve primero negativo, reduciéndose luego y alcanzando aproximadamente a 1% de la tensión nominal el mismo valor que a 100% de ésta. Reduciendo la tensión todavía más y midiendo la relación de transformación a 0,174% de la tensión nominal, o sea con tensión de red 220 V, se obtiene un error de la relación de transformación, que excede en + 0,05% el correspondiente al valor 100% de la tensión nominal.

Por ello pueden medirse las relaciones de transformación en transformadores de altas tensiones nominales con suficiente exactitud utilizando la tensión normal de red.

#### 6. El indicador de cero dependiente de la fase

En el rectificador de circuito puente de la fig. 5 se muestran cuatro rectificadores conectados en serie con sentido de paso en forma de un anillo cerrado (modulador anular en circuito puente). La resistencia de paso de un rectificador disminuye al aumentar la corriente. Mediante una tensión alterna de valor adecuado se varía la resistencia de paso de un valor mínimo hasta un valor máximo. Los rectificadores actúan como válvulas que se abren o se cierran.

En ambas diagonales del puente se encuentran las tensiones secundarias

de los transformadores  $T_3$  y  $T_4$  opuestas diametralmente. El transformador  $T_3$  tiene la tensión de medición relativamente pequeña  $U_M = U_2 - U_{w2}$  estando el puente de medida sin equilibrar (véase también fig. 2). El transformador  $T_4$  está conectado con su bobinado primario a la tensión del puente  $U_1$ . La tensión secundaria relativamente grande provoca la apertura y cierre sincrónicos de las válvulas al ritmo de la frecuencia. Durante la media onda positiva supongamos por ejemplo que las dos válvulas superiores están abiertas y las dos inferiores cerradas, durante la media onda negativa el proceso sería inverso. Entre las tomas centrales de los bobinados secundarios de los transformadores  $T_3$  y  $T_4$  está situado un instrumento indicador de corriente continua.

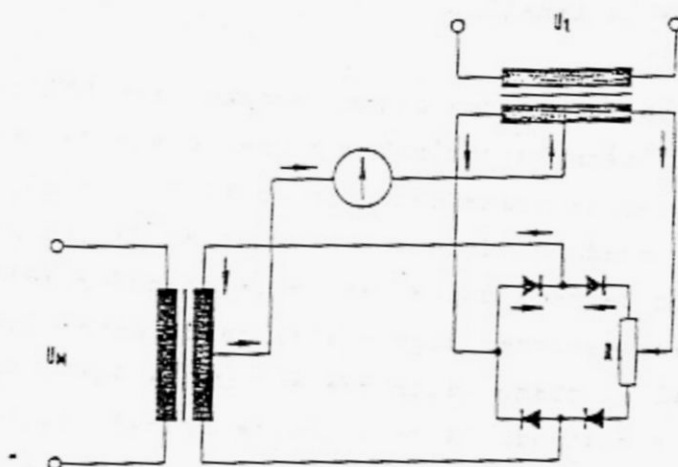


Fig. 5 Indicador cero dependiente de la fase con modulador anular en circuito puente.

En la fig. 5 está señalado el recorrido de la corriente de una media onda, que fluye a través del galvanómetro existiendo una pequeña tensión de medición  $U_M$ .

Bajo la acción de la tensión  $U_1$ , las dos válvulas superiores están abiertas y las dos inferiores cerradas. La corriente del galvanómetro tiene un valor máximo, cuando las tensiones  $U_M$  y  $U_1$  están en fase, y es cero al existir entre  $U_M$  y  $U_1$  un desfase de  $90^\circ$ . Con  $180^\circ$  de desfase la dirección de la corriente en el galvanómetro es opuesta. El punto cero del galvanómetro se encuentra en el centro; el ajuste del puente de medida de tensión alterna se efectúa de la misma forma que en un puente de tensión continua. La corriente continua a través del galvanómetro es proporcional a la tensión de medida  $U_M$  y al coseno del ángulo de desfase entre la tensión de medida  $U_M$  y la tensión  $U_1$ . De esta forma se obtiene la fase, que sólo responde a la componente

que se encuentra en dirección de la tensión  $U_1$ .

La asimetría de los rectificadores se corrige mediante la resistencia de simetría  $R_S$  (punto cero eléctrico).

#### 7. Consumo de la instalación de medida

El consumo de la instalación de medida a la tensión de 220 V, 50 Hz es de aprox. 5 VA,  $\cos \beta$  aprox. 0,8. En esta cifra está también incluido el consumo de la lámpara de aviso con su transformador correspondiente.

#### 8. Construcción del conjunto de medida

El conjunto de medida está montado en un maletín metálico con tapa desmontable (490 mm x 410 mm x 175 mm, 14 kg.).

Los interruptores para el ajuste del campo de medición y del cociente así como el potenciómetro que sirve para determinar el error de la relación de transformación, están situados horizontalmente en línea. Los interruptores para el ajuste del cociente están provistos de discos con cifras. Las cifras ajustadas, visibles a través de ventanitas, se agrupan formando una línea. Mediante el selector del campo de medición se sitúa la coma, automáticamente. De esta forma se excluyen errores de lectura.

El instrumento de cero con su punto cero en el centro está situado en posición central y es asimismo bien legible. El instrumento posee una resistencia interna de aprox.  $2,300 \Omega$  en un campo de medición de  $\pm 50 \mu\text{A}$ . A la izquierda junto al instrumento de cero se encuentra el botón de ajuste de sensibilidad y a la derecha un conmutador que en la posición "Messen" (medición) conecta el divisor de tensión inductivo a la tensión de medida. Con el mismo interruptor se conecta en la posición "Polung" (polaridad) el circuito de medida para verificar el desfasaje mutuo entre las tensiones de los bobinados del transformador a medir. En la posición del interruptor "Nullpunkt" (punto cero) puede finalmente verificarse el punto cero eléctrico del indicador cero mediante un potencímetro (punto cero), que se encuentra emplazado encima del mencionado interruptor y se efectúa el ajuste utilizando un destornillador. De esta forma se evita un desajuste no intencionado del potencímetro.

En cuanto la tensión de medida se encuentra en los terminales U, V se enciende la lámpara de aviso en la parte superior izquierda. Esta lámp-

para de 4 V 0,25 A puede recambiarse tras desmontar la tapa protectora.

El instrumento dispone de pequeños derivadores de tensión llenos de gas como protección contra sobretensiones. La tensión de reacción de estos derivadores es de 300 V. Habiendo reaccionado un protector de sobretensión, éste vuelve a estar dispuesto a funcionar tras desaparecer la sobretensión. Tras un funcionamiento repetido es conveniente recambiar estos derivadores de tensión. Los derivadores de tensión se encuentran entre los terminales U y tierra, u y tierra Vv y tierra. A los terminales U, V se conecta la alta tensión y a los terminales u, v la baja tensión del transformador a medir. Los terminales V y v están conectados entre sí en el interior del aparato. Esto debe tenerse en cuenta sobre todo al efectuar pruebas con autotransformadores. Como indicación de esta conexión los terminales V y v sobre la placa frontal del aparato se encuentran unidos por una línea.

Como último debemos mencionar también el fusible (0,5 A), que se encuentra en serie con el instrumento indicador de cero en el ramal diagonal del puente. Este fusible debe proteger al indicador de cero de sobrecarga. El fusible se encuentra en el centro entre ambos pares de terminales.

## 9. Mediciones con el medidor de las relaciones de transformación

### 9.1. Medición de la relación de transformación de transformadores (Bobinados primario y secundario separados)

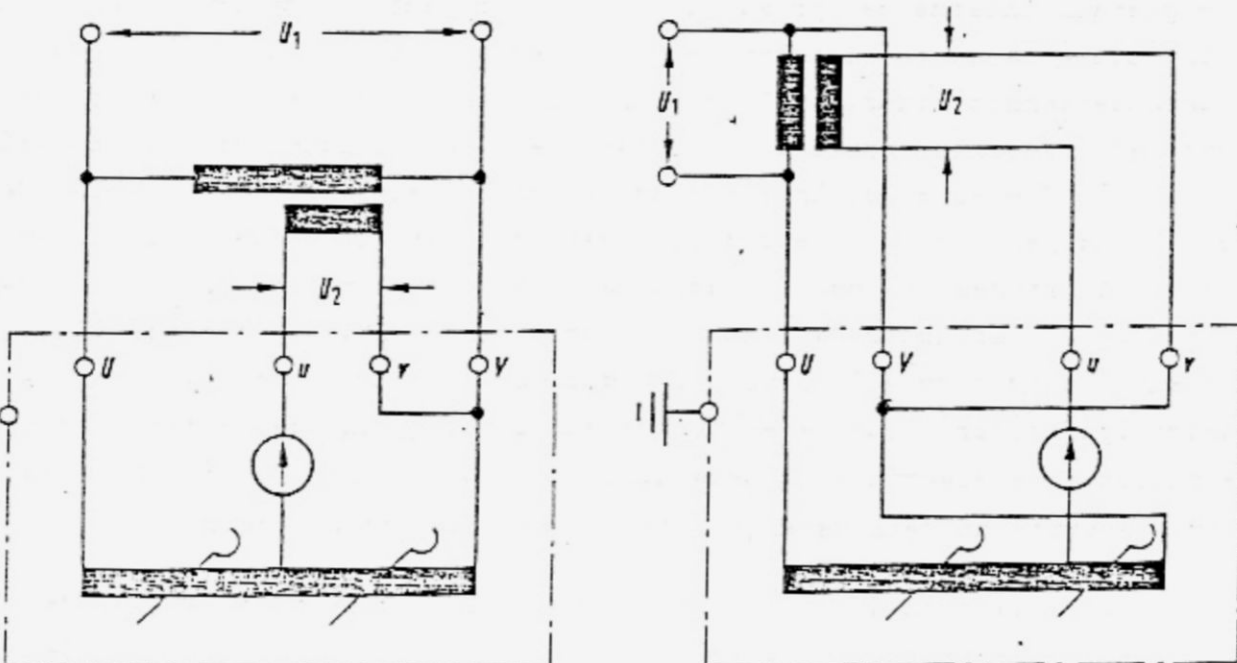


Fig. 7 Conexiones

$U_1$  = Tensión de red 220 V 50 Hz & 60 Hz conectada al bobinado de alta tensión.

$U_2$  = Tensión en el bobinado de baja tensión.

- Con el medidor de la relación de transformación sólo puede medirse el cociente de dos tensiones en fase. Para la medición es indistinto, que los transformadores a medir sean excitados en una fase o en tres fases, tratándose de transformadores trifásicos. Las relaciones de transformación que se producen al excitar en una fase se desprenden de la tabla 1 los de excitación trifásica de la tabla 2.

Antes de efectuar la medición de la relación de transformación puede verificarse en la posición del conmutador "Polung" (polaridad), si la tensión secundaria del transformador a medir se encuentra en fase o en contrafase respecto a la tensión primaria. Estando polarizada correctamente, el indicador cero muestra desviación hacia la derecha. Para aumentar la desviación debe utilizarse el ajuste de sensibilidad.

#### 9.2. Medición de la relación de transformación de autotransformadores

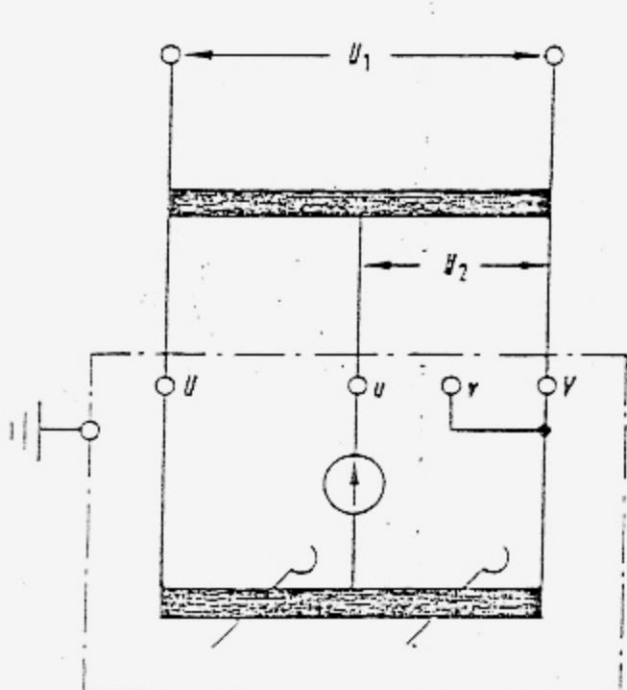


Fig. 8 Esquema básico

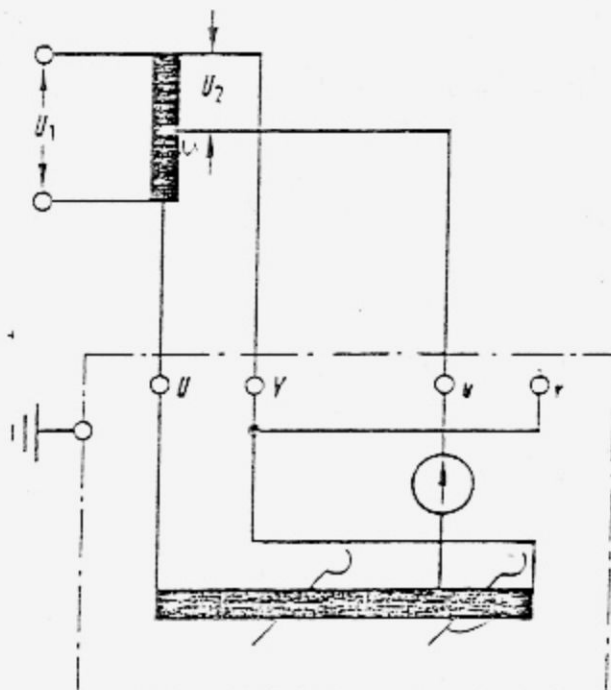


Fig. 9 Conexiones

$U_1$  = Tensión de red 220 V, 50 & 60 Hz conectada a los extremos del bobinado.

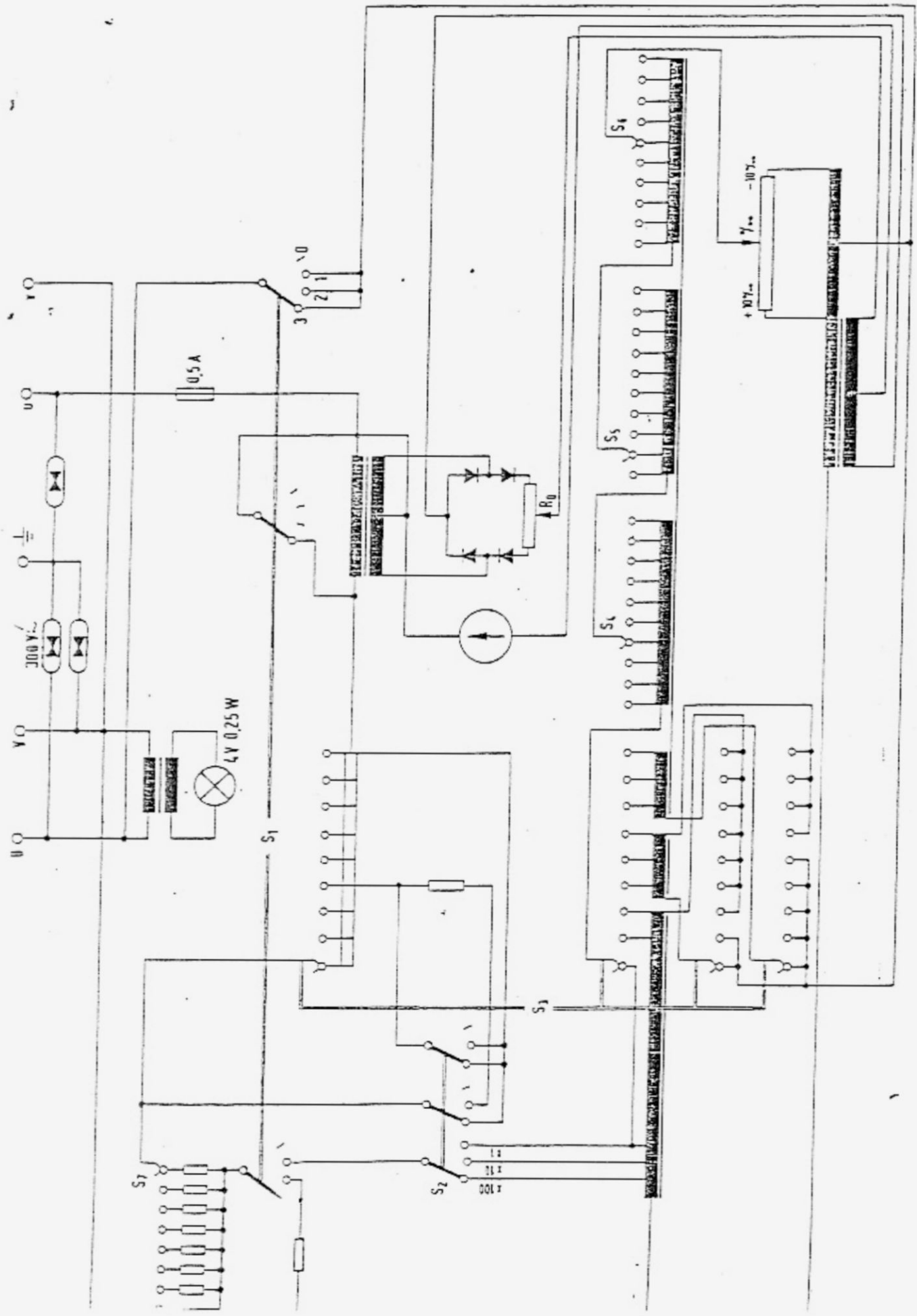
Aviso importante: En el interior del aparato están unidos los terminales V y v entre sí.

Si se conecta la toma del transformador a medir al terminal v, se producirá un cortocircuito!

El terminal v debe permanecer libre!

Conéctese con polaridad correcta!

La toma del transformador a medir debe de conectarse al terminal u!



Grupo de conexión VDE 0532/8.64	Transformador a medir		Conexión del transformador a medir a los terminales U   V y u   v de la instalación de medida				Valor de medición		
	Alta tens.	Baja tens.	U <sub>1</sub>	U <sub>2</sub>	U	V	u	v	
Dd 0					U	V	u	v	$\frac{U_1}{U_2}$
Yy 0					V	W	v	w	
					W	U	w	u	
Dz 0					U	V	u	v	$\frac{U_1}{U_2}$
					V	W	v	w	
					W	U	w	u	
Dy 5					U	V	0	u	$\frac{U_1 + \sqrt{3}v}{U_2}$
					V	W	0	v	
					W	U	0	w	
Dy 5					U	V	y+w/u		$U_1$
					V	W	w+y/v		
					W	U	u+v/w		$0.866 \cdot U_2$
Dy 5					U	W+Y	w/u		$0.866 \cdot U_1$
					V	U+W	u/v		
					W	V+U	v/w		
Yd 5					U	0	w/u		$\frac{U_1}{U_2 + \sqrt{3}v}$
					V	0	u/v		
					W	0	v/w		
Yd 5					U	V+W	w/u		$0.866 \cdot U_1$
					V	W+U	u/v		
					W	U+Y	v/w		
Yd 5					U	V	y+w/u		$U_1$
					V	W	w+u/v		
					W	U	u+y/w		$0.866 \cdot U_2$
Yz 5					U	V	0/u		$U_1 + \sqrt{3}v$
					V	W	0/v		
					W	U	0/w		
Yz 5					U	V	y+w/u		$U_1$
					V	W	w+y/v		
					W	U	u+y/w		$0.866 \cdot U_2$
Yz 5					U	V+W	w/u		$0.866 \cdot U_1$
					V	W+U	u/v		
					W	U+Y	v/w		
Dd 6					U	V	v/u		$\frac{U_1}{U_2}$
					V	W	w/v		
					W	U	u/w		
Yy 6					U	V	v/u		$\frac{U_1}{U_2}$
					V	W	w/v		
					W	U	u/w		
Dz 6					U	V	v/u		$\frac{U_1}{U_2}$
					V	W	w/v		
					W	U	u/w		

Tabla 1 (hoja 1)

Conexión con excitación monofásica del transformador a medir

Grupo de conexión VDE 0532/8.64	Transformador a medir	Conexión del transformador a medir a los terminales U   V   y   u   v de la instalación de medida	Valor de medición																								
	Alta tens. U <sub>1</sub>	Baja tens. U <sub>2</sub>																									
Dy 11			<table border="1"> <tr><td>U</td><td>V</td><td>u</td><td>0</td></tr> <tr><td>V</td><td>W</td><td>v</td><td>0</td></tr> <tr><td>W</td><td>U</td><td>w</td><td>0</td></tr> <tr><td>U</td><td>V</td><td>u</td><td>v+w</td></tr> <tr><td>V</td><td>W</td><td>v</td><td>w-u</td></tr> <tr><td>W</td><td>U</td><td>w</td><td>u+v</td></tr> </table>	U	V	u	0	V	W	v	0	W	U	w	0	U	V	u	v+w	V	W	v	w-u	W	U	w	u+v
U	V	u	0																								
V	W	v	0																								
W	U	w	0																								
U	V	u	v+w																								
V	W	v	w-u																								
W	U	w	u+v																								
Dy 11			<table border="1"> <tr><td>U</td><td>V</td><td>u</td><td>0</td></tr> <tr><td>V</td><td>W</td><td>v</td><td>0</td></tr> <tr><td>W</td><td>U</td><td>w</td><td>0</td></tr> <tr><td>U</td><td>V + W</td><td>u</td><td>w</td></tr> <tr><td>V</td><td>W + U</td><td>v</td><td>u</td></tr> <tr><td>W</td><td>U + V</td><td>w</td><td>v</td></tr> </table>	U	V	u	0	V	W	v	0	W	U	w	0	U	V + W	u	w	V	W + U	v	u	W	U + V	w	v
U	V	u	0																								
V	W	v	0																								
W	U	w	0																								
U	V + W	u	w																								
V	W + U	v	u																								
W	U + V	w	v																								
Dy 11			<table border="1"> <tr><td>U</td><td>0</td><td>u</td><td>w</td></tr> <tr><td>V</td><td>0</td><td>v</td><td>u</td></tr> <tr><td>W</td><td>0</td><td>w</td><td>v</td></tr> <tr><td>U</td><td>V + W</td><td>u</td><td>w</td></tr> <tr><td>V</td><td>W + U</td><td>v</td><td>u</td></tr> <tr><td>W</td><td>U + V</td><td>w</td><td>v</td></tr> </table>	U	0	u	w	V	0	v	u	W	0	w	v	U	V + W	u	w	V	W + U	v	u	W	U + V	w	v
U	0	u	w																								
V	0	v	u																								
W	0	w	v																								
U	V + W	u	w																								
V	W + U	v	u																								
W	U + V	w	v																								
Yd 11			<table border="1"> <tr><td>U</td><td>0</td><td>u</td><td>w</td></tr> <tr><td>V</td><td>0</td><td>v</td><td>u</td></tr> <tr><td>W</td><td>0</td><td>w</td><td>v</td></tr> <tr><td>U</td><td>V + W</td><td>u</td><td>w</td></tr> <tr><td>V</td><td>W + U</td><td>v</td><td>u</td></tr> <tr><td>W</td><td>U + V</td><td>w</td><td>v</td></tr> </table>	U	0	u	w	V	0	v	u	W	0	w	v	U	V + W	u	w	V	W + U	v	u	W	U + V	w	v
U	0	u	w																								
V	0	v	u																								
W	0	w	v																								
U	V + W	u	w																								
V	W + U	v	u																								
W	U + V	w	v																								
Yd 11			<table border="1"> <tr><td>U</td><td>V</td><td>u</td><td>v+w</td></tr> <tr><td>V</td><td>W</td><td>v</td><td>w-u</td></tr> <tr><td>W</td><td>U</td><td>w</td><td>u+v</td></tr> <tr><td>U</td><td>V</td><td>u</td><td>v+w</td></tr> <tr><td>V</td><td>W</td><td>v</td><td>w-u</td></tr> <tr><td>W</td><td>U</td><td>w</td><td>u+v</td></tr> </table>	U	V	u	v+w	V	W	v	w-u	W	U	w	u+v	U	V	u	v+w	V	W	v	w-u	W	U	w	u+v
U	V	u	v+w																								
V	W	v	w-u																								
W	U	w	u+v																								
U	V	u	v+w																								
V	W	v	w-u																								
W	U	w	u+v																								
Yz 11			<table border="1"> <tr><td>U</td><td>V</td><td>u</td><td>0</td></tr> <tr><td>V</td><td>W</td><td>v</td><td>0</td></tr> <tr><td>W</td><td>U</td><td>w</td><td>0</td></tr> <tr><td>U</td><td>V</td><td>u</td><td>v+w</td></tr> <tr><td>V</td><td>W</td><td>v</td><td>w-u</td></tr> <tr><td>W</td><td>U</td><td>w</td><td>u+v</td></tr> </table>	U	V	u	0	V	W	v	0	W	U	w	0	U	V	u	v+w	V	W	v	w-u	W	U	w	u+v
U	V	u	0																								
V	W	v	0																								
W	U	w	0																								
U	V	u	v+w																								
V	W	v	w-u																								
W	U	w	u+v																								
Yz 11			<table border="1"> <tr><td>U</td><td>V + W</td><td>u</td><td>w</td></tr> <tr><td>V</td><td>W + U</td><td>v</td><td>u</td></tr> <tr><td>W</td><td>U + V</td><td>w</td><td>v</td></tr> </table>	U	V + W	u	w	V	W + U	v	u	W	U + V	w	v												
U	V + W	u	w																								
V	W + U	v	u																								
W	U + V	w	v																								
Yz 11			<table border="1"> <tr><td>U</td><td>V</td><td>u</td><td>0</td></tr> <tr><td>V</td><td>W</td><td>v</td><td>0</td></tr> <tr><td>W</td><td>U</td><td>w</td><td>0</td></tr> <tr><td>U</td><td>V + W</td><td>u</td><td>w</td></tr> <tr><td>V</td><td>W + U</td><td>v</td><td>u</td></tr> <tr><td>W</td><td>U + V</td><td>w</td><td>v</td></tr> </table>	U	V	u	0	V	W	v	0	W	U	w	0	U	V + W	u	w	V	W + U	v	u	W	U + V	w	v
U	V	u	0																								
V	W	v	0																								
W	U	w	0																								
U	V + W	u	w																								
V	W + U	v	u																								
W	U + V	w	v																								

Tabla 1 (hoja 2)

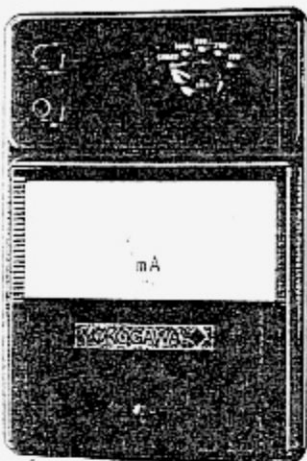
Conexión con excitación monofásica del transformador a medir

Grupo de conexión VDE 0532/8.64	Conexión del transformador a medir a los terminales U   V y u   v de la instalación de medida	Excitación del transformador a medir
Schaltgruppe VDE 0532/8.64	Anschuß des Prüflings an die Klemmen U   V und u   v der Meßeinrichtung	Erregung des Prüflings
Dd0-Yy0-Dz0	U   V      u   v V   W      v   w W   U      w   j	3 x 220
Dd6-Yy6-Dz6	U   V      v   u V   W      w   v W   U      u   w	3 x 220
Dy5-Yz5	U   V      0   u V   W      0   v W   U      0   w	3 x 220
Yd5	U   0      w   u V   0      u   v W   0      v   w	3 x 380
Dy11-Yz11	U   V      u   0 V   W      v   0 W   U      w   0	3 x 220
Yd11	U   0      u   w V   0      v   u W   0      w   v	3 x 380

Tabla 2

Conexión con excitación trifásica

# 2016 Portable High-Frequency Milliammeters & Voltmeters



(Ammeter)

260 x 180 x 90 mm 2.5 kg  
(10-1/4 x 7-1/3 x 4-1/2" 5.5 lbs)

Model 2016 instruments are essentially millivoltmeters of the highly sensitive moving coil type with self-contained vacuum couple. Range switching is made by connecting the vacuum thermocouple in parallel with suitable shunts.

## SPECIFICATIONS

**Principle:** Moving coil type taut-band suspension system with self-contained vacuum couple.

**Rated Accuracy:** Ammeter:  $\pm 1.0\%$  of full scale value at 50Hz; Voltmeter:  $\pm 0.5\%$  of full scale value at 50Hz.

**Frequency Coverage:** From 10 Hz to 100 kHz or more depending on range. (See below.)

**Frequency Influence:** Max. 1.0% of indicated value within the above frequency coverage.

**Maximum Input Current:** 150% of the rated value.

**Scale Length:** Approx. 135 mm (5-3/8").

**Dimensions:** Milliammeters ... 260 x 180 x 90mm (10-1/4 x 7-1/8 x 3-1/2); Voltmeter ... 195 x 170 x 87 mm (7-3/4 x 6-3/4 x 3-1/2").

**Ranges:**

Name	Model	Range	Frequency
Milliammeter	201601	0 to 20/100 mA	0 to 1000 to 5000 Hz
Voltmeter	201602	0 to 50/100/200 mV	0 to 1000 to 5000 Hz
Ammeter	201603	0 to 200/500/1000 mA	0 to 1000 to 5000 Hz
Voltmeter	201604	0 to 10/20/50 mV	0 to 1000 to 5000 Hz

**Note:** Model 2016 Milliammeters contain Cenco 209902 (5 mA) Vacuum Couples which can easily be replaced by the user. Spare Vacuum Couples are available at extra cost as a set including mounting plate and adjusting resistor. Replacement by the user, however, results in a change of instrument accuracy, e.g., from  $\pm 0.5\%$  and  $\pm 1.0\%$  to  $\pm 1.0\%$  and  $\pm 1.5\%$  respectively.

**Optional Accessories:** 229101 Carrying case for 2016 Voltmeter; 229201 Carrying case for 2016 Ammeter.

# 2017 Portable Audio-Frequency Voltmeter



195 x 170 x 87 mm 1.8 kg  
(7-3/4 x 6-3/4 x 3-1/2" 4.0 lbs)

Model 2017 is a rectifier type for use in the 45Hz to 10kHz audio-frequency range. This instrument is well suited as a precision flux voltmeter for use with an Estein Iron Loss Test Set.

## Common to 2016 & 2017

True RMS measurement

Friction-free taut band suspension system

Superior temperature characteristics due to thermocouple compensation

## SPECIFICATIONS

**Principle:** Moving coil type with rectifier.

**Rated Accuracy:**  $\pm 0.5\%$  of full scale value at 45 Hz to 10 kHz.

**Range:** 30, 75, 150, 300V.

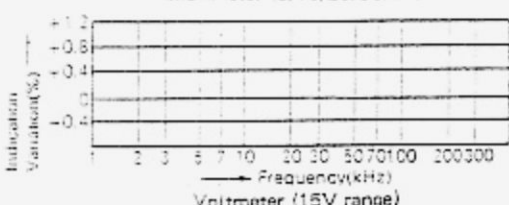
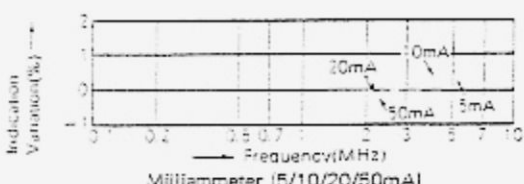
**Scale Length:** Approx. 135 mm (5-3/8").

**Scale Divisions:** 150.

**Deflection Angle:** 35°.

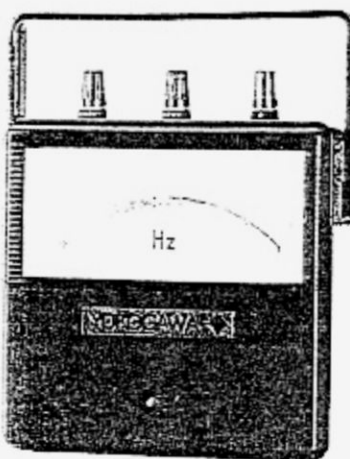
**Approx. Volt-Ampere Loss:** 1,000Ω/V.

**Optional Accessory:** 229101 Carrying case.



Frequency characteristics of Model 2016

## 2038 Portable Frequency Meters



195 x 175 x 87 mm 1.5 kg  
(7-3/4 x 6-7/8 x 3-1/2" 4.0 lbs)

Model 2038 uses a frequency-to-DC current transducer which drives a high sensitivity moving coil type indicator. It features accurate frequency measurements without noticeable influence of line voltage fluctuation (50 to 300V) or waveform distortion.

- Shock-and-vibration-proof taut band suspension indicator with transducer
- Negligible influence of voltage and waveform distortion
- Compact and lightweight
- Legible scale of perfect uniform graduation

### SPECIFICATIONS

#### Ranges and Rated Accuracy:

Model	Range	Accuracy (of full scale)
203831	45 to 65 Hz	±0.2%
203832	20 to 100 Hz	±1.0%
203803	100 to 300 Hz	±0.5%
203804	300 to 600 Hz	±0.5%

Note: For voltages higher than specified, use External Potential Transformers.

**Principle of Operation:** Frequency sensing transducer.

**Rated Voltage:** 120V/240V (.2 ranges).

120V: Usable in the range of 50 to 130V.

240V: Usable in the range of 120 to 300V.

**Scale Length:** Approx. 135mm (deflection angle: 85°).

**Scale Division:** 45 to 65 Hz range: 100 divisions (0.2 Hz/div.) 20 to 100 Hz range: 30 divisions (1.0 Hz/div.) 100 to 300 Hz and 300 to 600 Hz ranges: 100 divisions (2.0 Hz/div.).

**Power Consumption:** 120V range: approx. 1.3 VA, 240 V range: approx. 2 VA.

**Insulation Resistance:** More than 100 MΩ at 500V DC between electric circuit and case.

**Dielectric Strength:** 2,000V AC for one minute between electric circuit and case.

**Optional Accessory:** 229101 Carrying case.

## 2039 Portable Power Factor Meters



260 x 180 x 116 mm 2.9 kg  
(10-1/4 x 7-1/8 x 4-5/8" 6.4 lbs)

Model 2039 is used for measurement in single-phase and balanced three-phase circuits. From a phase discriminating circuit, the output of the built-in transducer produces a DC proportional to the phase between voltage and current to operate the DC indicator.

#### Good frequency response

Accuracy unaffected for frequencies of 45 to 60Hz.

#### Excellent overload characteristics

Excellent linearity over a voltage range of 50 to 300V

### SPECIFICATIONS

**Principle:** Phase angle sensing transducer.

**Rated Accuracy:** 3.0% within the effective power factor measuring range.

#### Ranges:

Current	Voltage	Model
0.2/1 A	120V (Usable in the range of 60 to 300V)	203901
1/5 A		203902
5/25 A		203903

**Notes:** 1. For ranges higher than 25A, use one External Current Transformer with 203902 & 203903.

2. For ranges higher than 300V, use one External Potential Transformer.

**Scale:** Power Factor: Lead 0-0.3-1.0-0.3-0 Lag,  
Phase Angle: Lead 90°-0°-90° Lag.

**Effective Power Factor Measuring Range:** Lead 0.5-1.0-0.5 Lag.

**Scale Length:** Approx. 135 mm (5-3/8").

**Frequency Effects:** Within ±1.5° in phase angle at 45 to 65 Hz.

#### Volt-Ampere Loss:

Voltage Circuit (120V) ... Approx. 0.14 VA.

Current Circuit (5A) ... Approx. 2.4 VA.

**Optional Accessory:** 229201 Carrying case.

**INSTRUCCIONES PARA EL USO**  
**Voltímetro portátil de hierro móvil**  
**Tipo HLV-2**

Klasse точности:	0,5
Dопускаемая погрешность:	$\pm 0,5\%$ при постоянном и переменном напряжении, от максимального значения диапазона измерения.
Длина линкада:	$120 \pm 3$ мм
Время измерения:	стаканная 4 сс,
Частота:	40...60...400 Гц
Величина измеряемого напряжения:	2 кВольт, 50 Гц, 1 мил.

### 3. Погрешка и измерение

Вольтметр во время измерения считает напряжение в короткое замыкание на входе.

Следует при измерении постоянного тока установить на 0.

Перед измерением напряжения и тока измерения необходимо привести измерительную машинку из положения измерения напряжения, а затем с учетом ожидания можно провести измерение в более чувствительном положении.

Таким образом, предохраняется прибор от измерения излишних измерений перегрузкой.

### 4. Чистка и уход за прибором

Неподвижное первоизмерение не допускается протирка стекла прибора при помощи сухой тряпки, так как создаваемый при этом электростатический эффект блокирует изолирующие измерительные механизмы измерительной машины.

Следует помнить, что изолированные измерительные механизмы изолированы от стекла прибора.

Измерительный механизм устанавливается на изолирующих измерительных панелях, а контактные поверхности изолированы и поэтому не требуют ухода. Перед измерением следует обратить внимание на чистоту изолирующих измерительных панелей.

Прибор необходимо занимать от занятий полчаса, неизменно.

### 1. Campo de utilización

El instrumento sirve para la medición de tensiones de corriente continua y de corriente alterna y se puede utilizar en todos los terrenos de las mediciones electrotécnicas requieren la realización rápida y de alta precisión. Los cuatro gomas de medición amplían considerablemente su terreno de utilización, dando simultáneamente un carácter universal al instrumento.

Los voltímetros se construyen en dos versiones; para gomas de tensiones bajas y más elevadas, con cuatro alcances de medición en cada instrumento. La combinación de los alcances de medición se realiza mediante un comutador incorporado. Los sistemas medidores poseen blindaje antimagnético, que evita los efectos perturbadores de campos magnéticos hasta 0,5 mT. Durante las mediciones los instrumentos se pueden colocar lado a lado sin temor a efectos perturbadores de campos magnéticos dispersos que pueden alterar los resultados obtenidos.

### 2. Datos técnicos

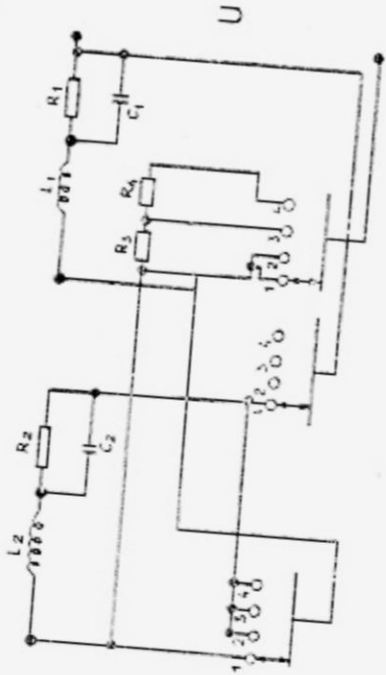
Alcance de medición	Consumo de corriente
3 V	200 mA
6 V	100 mA
12 V	100 mA
30 V	100 mA

Alcance de medición	Consumo de corriente
60 V	10 mA
120 V	5 mA
300 V	5 mA
600 V	5 mA

Clase de precisión 0,5  
 Error permisible  $\pm 0,5 \text{ m}$  para tensiones  
                       de corriente continua  
                       y de corriente alterna,  
                       referido al valor máximo  
                       del alcance de medición  
 Longitud de la escala 120  $\pm 3 \text{ mm}$   
 Tiempo de establecimiento max. 4 sec  
 Frecuencia 40 ... 60 ... 400 c/s  
 Tensión de ensayo 2 kVeff a 50 c/s por  
                       1 min

Schaltschema  
 Wiring diagram  
 Schéma des connexions  
 Платонометрическое  
 Esquema de conexiones



### 3. Preparaciones para las mediciones

La posición de uso regular del voltmetro es la horizontal  
 a cero. Antes de intercalar el voltmetro en el circuito de oíjiva  
 medida, será conveniente poner el comutador en el circuito de  
 al valor máxima de tensión y después, observando las  
 desviaciones de la aguja, cambiar hacia las posiciones de  
 mayor sensibilidad. Así el instrumento se puede proteger contra deterioraciones  
 provocadas por sobrecargas casuales.

### 4. Limpieza, mantenimiento del instrumento

Evitemos rotar el cristal del instrumento directamente antes  
 de una medición ya que el efecto electroestático antes  
 producido puede afectar las mediciones. En caso de que  
 se pudiera eliminar echando el cristal sobre el efecto electroestático  
 un breve tiempo. El sistema medidor es del tipo de cinta tenaq, los segmentos  
 de contacto del comutador poseen un recubrimiento de oro  
 que elimina la necesidad de su mantenimiento. Antes de  
 comenzar con las mediciones, téngase cuidado de la limpieza.  
 Los instrumentos de conexión, los terminales de conexión,  
 mecánicas fuertes, se deben proteger contra solicitudes

## INSTRUCCIONES PARA EL USO

Amperímetro portátil de hierro móvil

Tipo: HLA-2

Коэффициент точности: 0,5

Номинальная измерительная единица:  $\pm 0,5\%$  от статистического значения измерения при настройке и измерениях Токе.

Длина штанги:  $120 \pm 3$  мм

Время настройки: максимум 4 суб.

Частота: 40 ... 60 ... 400 Гц

Номинальное время измерения: 2 миллисекунды 5 мс и 1 мс

### 1. Campo de utilización

El instrumento ha sido diseñado para la medición de corrientes continua y alterna, se puede utilizar para mediciones electrotécnicas en terrenos donde la medición rápida y de alta precisión es necesaria. Los cuatro gomas de medición provistas por el instrumento sirven para el ampliamente, da su campo de utilización, dando al mismo tiempo un carácter universal al instrumento.

Los amperímetros se fabrican en dos modalos; para alcances de medición bajos y más elevados con cuatro alcances de medición en cada instrumento. La comutación de los alcances de medición se realiza mediante un commutador incorporado. Los mecanismos medidores poseen blindaje magnético por lo que campos magnéticos de intensidad inferior a 0,5 mT no ejercen ninguna influencia sobre la precisión de la medición. Durante las mediciones los instrumentos se pueden colocar inmediatamente uno junto a otro ya que no poseen campo magnético disperso que pueda perturbar la medición.

### 2. Datos técnicos

Alcance de medición	Resistencia interna	Inductividad
60 mA	48 Ohmios	28,00 mH
120 mA	12 Ohmios	6,00 mH
300 mA	2 Ohmios	1,40 mH
600 mA	0,5 Ohmios	0,36 mH

### 3. Измерение и измерение

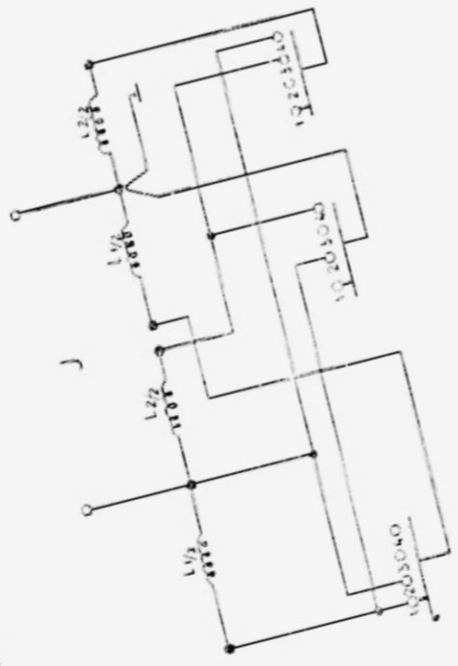
Амперметр при измерении устанавливается в горизонтальное положение. Стрелка при ненормальном измерении будет устанавливаться на 45°. Если же в режиме измерения неизвестного тока несогласовано предварительно значение измерения установите на ближайшее значение тока, а затем, если значение неизвестного тока, можно пропускать первое значение. Такие обходы предотвращают износ чувствительных контактов. Таким образом предотвращается износ измерительных переключений.

### 4. Чистка, уход за прибором

Непрерывно перед измерением всегда чистите стекло прибора при помощи сухой тряпки, т. к. загрязнение при этом электростатический заряд может оказаться излишне. Если же есть избежать пылесаса, пылесоса, т. е. статическое влияние можно избежать путем вымытия на стекло. Но избегайте этого приема стационарный заряд не исчезает сам по себе.

Пылесосом можно удалять пыль на полупальниках с наружной стороны, а контакты сегнетита покрыты золотом, золотом, сажонативно они не требуют ухода. Перед измерением следует обратить внимание на чистоту соединительных клемм. Прибор нужно защищать от избыточных механических воздействий.

Schaltschema  
 Wiring diagram  
 Schéma des connexions  
 Schéma d'unites éxternes  
 Diagramma di connessioni  
 Esquema de conexiones



Clase de precisión  
 Clase permisible  
 Tiempo:  $120 \pm 3$  min  
 Longitud de la escala: max. 400 c.s.  
 Frecuencia de amortiguación: 40 ... 60 Hz por un minuto  
 Tiempo de respuesta: 50 ms  
 2 kV AC  
 Frecuencia de ensayo  
 Tensión de ensayo

3. Preparación de las mediciones debe ponerse en posición el amperímetro directamente sobre el transformador de corriente. Antes de conectar el comutador de la escala se debe ajustar la aguja a cero. Para ser usado el amperímetro debe ser horizontal y convenientemente protegido de los cambios de temperatura y humedad. La escala debe ser horizontal y el comutador de la escala debe ser horizontal. El amperímetro debe ser colocado en una posición que no interfiera con la operación del instrumento. Debe ser colocado en una posición que no interfiera con la operación del instrumento.

4. Limpieza. Mantenimiento del instrumento. Evitar la exposición al agua y a las altas temperaturas. Los componentes electrónicos pueden dañarse si se exponen a temperaturas elevadas. Si el instrumento se expone a temperaturas elevadas, debe ser dejado en un lugar fresco antes de volver a usarlo. Los componentes electrónicos pueden dañarse si se exponen a temperaturas bajas. Si el instrumento se expone a temperaturas bajas, debe ser dejado en un lugar cálido antes de volver a usarlo. Los componentes electrónicos pueden dañarse si se exponen a temperaturas elevadas o bajas. Si el instrumento se expone a temperaturas elevadas o bajas, debe ser dejado en un lugar fresco o cálido antes de volver a usarlo.

2.3.2  
Gleichstrommessung

Genaukeitsklassen:  
 $\pm 0,5\%$  bei Gleich- und  
 Wechselstrommessungen, be-  
 zogen auf den Höchstwert  
 des Messbereiches.

zur Tragbarkeit nicht vordringlich

Leistungsmessgeräte:

Typ: HWA-2

#### 3.1 / Anwendungsbereich

Das Gerät eignet sich zur Messung der Wirkleistung von Gleich- und Wechselströmen, da es direkt mit einem im Meßzweck verbaute kontraktilem elektrisch-mechanischen Meßwerk hervorragt. Mit den eingeübten Vorwiderständen kann das Gerät nur zur Leistungsmessung in Gleichstromnetzen verwandt werden, mit Hilfe eines getrennten Verstärkerstufen erweitert es auch zur Messung der Leistung symmetrisch belasteter Dreiphasennetze.

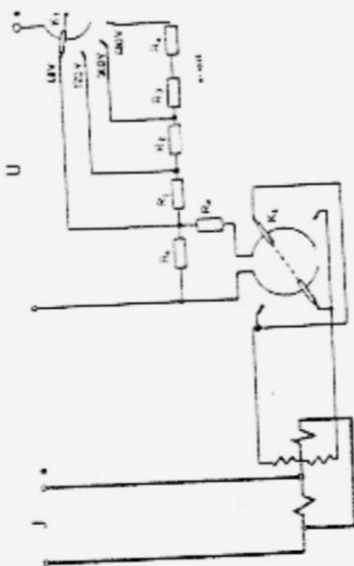
Die Leistungsmessgeräte sind für kleine Netttreppen und vier Stromamplifizierungen hergestellt. Die Auswahl der Spannung erfolgt mit dem eingeübten Schalter. In dem Gerät ist ein einschaltbar Polvorwahlschalter vorgesehen, um dadurch die Richtung des in der Dreiphasen Stromzählern Stromes kontrolliert und so der richtige Zeigerauslauf eingestellt werden kann.

Die Meßwerke werden mit magnetischer Abstimmung versehen, dadurch ergibt die Messungen durch Frequenzfehler unter  $0,5\%$  nicht bestimmt werden. Auch das magnetische Feld der Kreisfahrts zu kleinen Meßfehlern. Bei der Meßmethode können die Geißle unmittelbar reziprokerweise abgeordnet werden, da kein negativer Stromfeld vorliegt, durch daß die Meßwerte gestützt werden könnte.

#### 3.2 / Technische Daten

##### Meßbereiche

<u>U</u>	<u>N</u>	<u>I</u>	<u>A/F</u>	<u>W/Zeit, bei cos phi=1</u>
20-120-200-300	N	I	2	Zwischen 1200-2400
Umax		Imax		
120-200-300-500			2	



#### a./ Vorbereitung der Messung:

Zum Gebrauch wird das Wattmeter in waagrechte Lage gebracht. Der Zeiger wird mit Hilfe des Nullpunktjustierknopfes auf Null gestellt. Bevor das Gerät in den Meßstrom geschaltet wird, ist es zweckmäßig den Spannungsauswahler in die 400 V zu bringen.

Vor Anschluß des Gerätes hat man sich zweckmäßig so auszuhören, daß er sofort ansetzen wird - sowohl dann erforderlich ist -

mit Hilfe des Poloschalterhauses - der richtige Anschluß einzustellen.  
Dann werden mit dem Spannungsauswahler stets niedrigere Werte gewählt und der entsprechende Anschluß in die 400 V Reihe eingestellt.

Dadurch wird das Gerät vor Schäden auf diese eventuelle Überlastungen geschützt.

Die unter einem Stern  $\Delta$  angebrachten Anschlußbuchsen bedeuten den Beginn der Erzeuger- oder Spannungsauswahlebene. Sollte das gleiche Potential der mit einem Stern  $\Delta$  beschrifteten Anschlußstelle nicht gestellt werden kann /z.B. bei mittleren Leistungsauswählungen/, darf bei größeren Flußmagneten der eine Spannung von max. 380 V benutzt werden, in diesem Falle sind die 380/200 V Netze direkt einzutragen, während für Netze mit höheren Spannungen zweckmäßig wiederum Maßnahmen mit Röhrdeut berücksichtigt werden müssen.

#### b./ Bedienung und Wartung des Gerätes

Unmittelbar vor der Messung darf man das Gerät nicht mit einer trockenen Lappen reinigen, da dies dadurch entstehende elektrostatische Wirkung den Meßvergangen beeinträchtigt. Sollte ein Abdrücken des Gerätes unvermeidlich sein, so kann die statische Wirkung durch ein Anhauchen des Glaseinsatzes verhindert werden. Die statische Wirkung hört nach einer kurzen Zeit auch von selbst auf.

Das Metallwerk ist spannungsfrei gelagert, die Kontaktanordnungen sind mit Goldüberzügen versehen und bedürfen daher keiner Wartung. Vor der Messung soll man sich von der

#### c./ Beibehaltung der Anschlußleitung überzeugen.

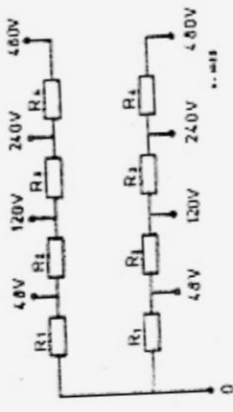
Die Geräte sind vor übermäßigem mechanischen Einwirkungen zu schützen.

#### d./ Getrennter Vormünderstand

In Verbindung mit dem Vormünderstand von Typ MM-2 kann das Wattmeter auch zu Leistungsmessungen von symmetrischen belasteten Dreiphasenströmen genutzt werden.

#### e./ Schaltung des Vormünderstandes

Nach erfolgreichen Anschluß an - sowohl dann erforderlich ist - mit Hilfe des Poloschalterhauses - der richtige Anschluß einzustellen.



#### f./ Technische Daten

Genaugkeitsstufen:  
0,2  
3 mA  
2 kVeff i Min.  
Max.:  
150 x 95 x 95 mm

## Versión de aplicación



### 1

El instrumento es adecuado para medir intensidades de corriente continua. Puede ser utilizado en las escenas de las mediciones electrostáticas donde hacen tales mediciones rápidas y exactas. Las siete u ocho gamas de medición incorporadas en el instrumento amplían su campo de aplicación y lo convierten en un instrumento universal. Los amperímetros se fabrican en tres modelos: uno para alcances de "A, uno para mA y uno para A. El alcance del miliamperímetro y del amperímetro puede ser, además extendido mediante una derivación blanca de 60 mV.

El cambio de gama de medición tiene lugar mediante un comutador de alcances instaurado.



### 2

## Datos técnicos

Gama de medición:  
miliampímetro: 1,5—30—75  
—150—300—750—1500 mA  
miliamperímetro: 0,6—1,2—3—  
6—12—30—60 mA 60 mV;  
0,6 mA para derivación  
amperímetro: 60—120—300 mA,  
0,6—1,2—3—6 A 60 mV;  
0,6 mA para derivación  
Caida de tensión: max. 240 mV

Clase de precisión: 0,5

Error admisible:  $\pm 0,5\%$  respecto al valor máximo de la gama de medición

Largo de escala: 120±3 mm

Tiempo de estabilización  
de la aguja: max. 4 seg

Tensión de prueba: 2 kV



La gama de medición puede ser extendida mediante la derivación de 60 mV tipo SII-2 a los siguientes valores:  
12—30—60—120 A  
300—600—1200 A

## HDA-2

### VARIABLES DE LAS RESISTENCIAS DE DERIVACION

#### medidor de "A

#### medidor de mA

$R_o + R_c$	12 kohm $\pm 0,02\%$	200 ohm $\pm 0,05\%$	200 ohm $\pm 0,05\%$
$R_1$	40,537 ohm $\pm 0,02\%$	2 ohm $\pm 0,05\%$	0,02 ohm $\pm 0,05\%$
$R_2$	81,026 ohm $\pm 0,02\%$	2 ohm $\pm 0,05\%$	0,02 ohm $\pm 0,05\%$
$R_3$	251,631 ohm $\pm 0,02\%$	6 ohm $\pm 0,05\%$	0,06 ohm $\pm 0,05\%$
$R_4$	443,35 ohm $\pm 0,02\%$	10 ohm $\pm 0,05\%$	0,1 ohm $\pm 0,05\%$
$R_5$	909,91 ohm $\pm 0,05\%$	20 ohm $\pm 0,05\%$	0,2 ohm $\pm 0,05\%$
$R_6$	4153,8 ohm $\pm 0,02\%$	60 ohm $\pm 0,05\%$	0,6 ohm $\pm 0,05\%$
$R_7$	1800 ohm $\pm 0,02\%$	100 ohm $\pm 0,05\%$	1 ohm $\pm 0,05\%$
$R_8$	—	—	190 ohm $\pm 0,05\%$



GANZ

# HIDA-2

## Preparativos para la medición



## Limpieza y mantención del instrumento

Colocar el amperímetro en posición horizontal y ajustar el índice a cero mediante el borne de ajuste a cero. Antes de conectar el amperímetro al circuito de medición, teniendo cuidado de conectar justamente las polaridades, será oportuno ajustar el commutador del límite de medida al valor máximo y sólo teniendo en cuenta la deflexión del índice cambiar el límite de medida de más a más sensible, así se podrá evitar los daños derivantes de una sobrecarga eventual.

Inmediatamente antes de la medición no se debe rotar el cristal del instrumento con paño seco, dado que el efecto electrostático que de ello surge, influye en el resultado de la medición. En cuanto fuere inevitable su uso antes de la medición, entonces el efecto electrostático puede ser disminuido expidiendo un aliento sobre el vidrio. Dicho efecto electrostático se elimina por si mismo al cabo de un breve tiempo. Los cojinetes del filamento del medidor, así como los segmentos del commutador se fabrican con revestimiento de plata, por lo cual estos elementos no exigen mantenimiento alguno. Antes de proceder a la medición hay que controlar si los bornes de conexión están adecuadamente limpios.

Los instrumentos deben ser protegidos contra las fuertes influencias mecánicas.

## 4

	Cantidad 10 100
Muelle extensor de	11—6332—B1
Muelle en "S" de	20 mm
Cu 1,5 x 0,05;	222—842
Espelho plano;	282—726
Pata de goma;	255—833
Ajua de vidrio;	263—581
Cruz indicadora;	11—3556—29
Núcleo de soporte	
del filamento;	230—011
Rodillo I;	230—012
Rodillo II;	231—304
Sostre del	
movil;	262—073
Gamas:	
Fila- mento	15 "A—1500 "A 0,2H CH73
de tor- sión	0,6 mA—60 mA 0,3H CH73
Boton de terminal;	330—043
Tuerca circuitu;	208—014
Tapa armada;	304—147
Centro de caja;	304—022
Fundamiento;	287—778
Gamas:	
Baseta- lante	15 "A—1500 "A 101—451
embor- biado	0,6 mA—60 mA 101—412
Botón giratorio;	331—063
Commutador;	352—090
Carrete gama;	163—114
de resis- 15 "A—1500 "A 163—115	15—1173—29
ten- cia	163—116
	163—117
	15—1176—20
	15—1177—20
	15—1178—20

## 5



## SCHEMATIC PLAN

## CIRCUIT DIAGRAM

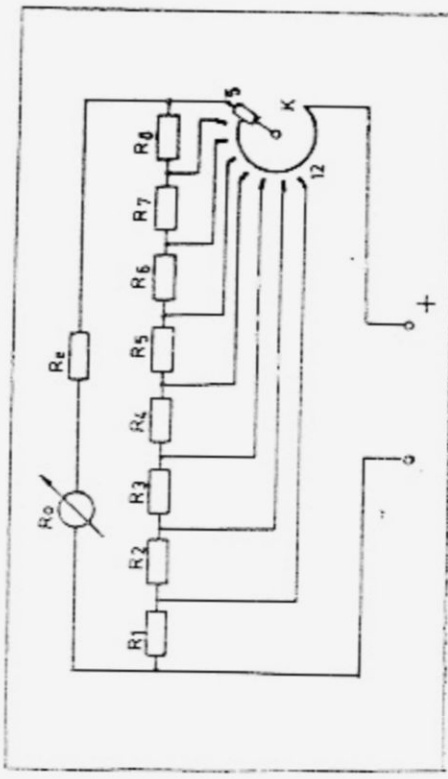
DRAFTS OF THE CIRCUITS

## SCHEMATIC CONNECTIONS

## VALUES OF THE ADAPTER RESISTORS

5

		Cantidad	
		10	100
Cárcase de re- sistencias; ca, gama: 0,6 mA--60 mA	163--113 163--119 163--120 163--121	15--1479--20 15--1480--20 15--1481--20 15--1482--20	— — — —
Cárcase de re- sistencias; ca, gama: 0,6 mA--60 mA	163--113 163--119 163--110 163--102 163--112 163--111 163--103	15--1474--20 15--1470--20 15--1471--20 15--1463--20 15--1473--20 15--1472--20 15--1464--20	5 10 5 5 5 5 5
Cárcase de re- sistencias; ca, gama: 60 mA--6 A	163--113 163--122 163--123 163--124	15--1474--20 15--1403--20 15--1404--20 15--1485--20	5 5 5 5
Tapón de cierre; Botón de puesta a cero; Patrón; Cristal;	233--797 330--042 233--311 233--359	11--1369--94 14--0538--33 11--1929--35 11--1530--36	1 — — 1



## Terreno

### de aplicación



El instrumento es adecuado para medir tensiones de corriente continua. Puede ser utilizado en las esteras de la técnica de mediciones electrotécnicas, donde se requieren mediciones rápidas y exactas. Con el fin de extender el terreno de aplicación y de brindar un carácter más universal al instrumento, este se ha provisto de siete gamas de medición. Los voltmetros se fabrican en dos variaciones una para balas y otra para altas tensiones, con siete alcances de medición cada variante. Un comutador incorporado permite la combinación de las distintas gamas de medición.

**2**

El instrumento es adecuado para medir tensiones de corriente continua. Puede ser utilizado en las esteras de la técnica de mediciones electrotécnicas, donde se requieren mediciones rápidas y exactas. Con el fin de extender el terreno de aplicación y de brindar un carácter más universal al instrumento, este se ha provisto de siete gamas de medición. Los voltmetros se fabrican en dos variaciones una para balas y otra para altas tensiones, con siete alcances de medición cada variante. Un comutador incorporado permite la combinación de las distintas gamas de medición.

## HDV-2

### VALORES DE LAS RESISTENCIAS ADAPTADORAS

	Medidor de mV—V
$R_b + R_a$	240 ohm $\pm 0.1\%$
$R_4$	240 ohm $\pm 0.1\%$
$R_5$	720 ohm $\pm 0.1\%$
$R_6$	1200 ohm $\pm 0.1\%$
$R_7$	2400 ohm $\pm 0.1\%$
$R_8$	7200 ohm $\pm 0.1\%$
$R_9$	12000 ohm $\pm 0.1\%$

Medidor de V

$R_b + R_a$	24 kohm $\pm 0.1\%$
$R_4$	24 kohm $\pm 0.1\%$
$R_5$	72 kohm $\pm 0.1\%$
$R_6$	120 kohm $\pm 0.1\%$
$R_7$	240 kohm $\pm 0.1\%$
$R_8$	720 kohm $\pm 0.1\%$
$R_9$	1200 kohm $\pm 0.1\%$

## Datos técnicos

Gama de medición:

medidor de mV—V: 60—120—  
240—600 mV; 1.2—3—6 V  
medidor de V: 6—12—30—60—  
120—300—600 V

Resistencia interna:

4000 Ohm/V

Clase de precisión: 0.5  
Error admisible:  $\pm 0.5\%$  respecto al valor máximo de 1.

Gama de medición:

Língüitud de escala: 120  $\pm$

3 mm

Tiempo de estabilización  
(de la aguja): máx. 4 seg  
Tensión de prueba:  
2 kV, 50 Hz, 1 min



# Preparación de la medición

## HDV-2



El volímetro se debe colocar en posición horizontal. La aguja se debe graduar a cero mediante el botón respectivo. Antes de aplicar el voltímetro al circuito de medición, conectarlo a la polaridad, es conveniente poner el commutador de gamas en la posición del mayor valor de tensión y luego, tomando en consideración la desviación de la aguja, puede pasarse a posiciones cada vez más sensibles. De este modo podemos preservar al instrumento contra daños que puedan provocar eventuales sobrecargas.

Immediatamente antes de la medición no se debe tratar el cristal del instrumento con paño seco, dado que el efecto electrostático que de ello surge influye en el resultado de la medición. En cuanto fuese necesario su uso ante de la medición, evitanse el efecto electrostático puede ser disminuido expidiendo un alienito sobre el vidrio. Dicho efecto electrostático se elimina por si mismo al cabo de un breve tiempo.

Los cometes del filamento del medidor, así como los segmentos del comodinador se fabrican con revestimiento de plata, por lo cual estos elementos no requieren mantenimiento alguno. Además de proceder a la medición hay que controlar si los bornes de conexión están adecuadamente limpios. Los instrumentos deben ser protegidos contra las severas influencias mecánicas.

## Limpieza y manutención

### del instrumento

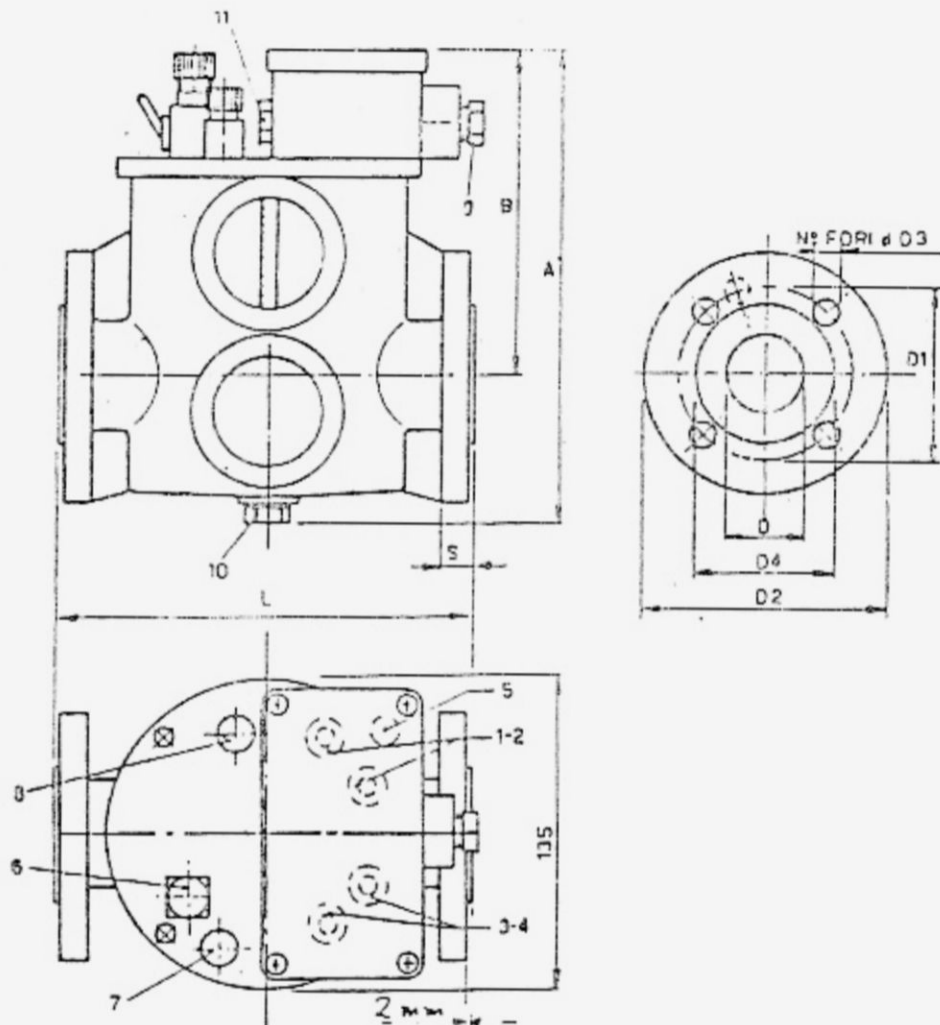
Immediatamente antes de la medición no se debe tratar el cristal del instrumento con paño seco, dado que el efecto electrostático que de ello surge influye en el resultado de la medición. En cuanto fuese necesario su uso ante de la medición, evitanse el efecto electrostático puede ser disminuido expidiendo un alienito sobre el vidrio. Dicho efecto electrostático se elimina por si mismo al cabo de un breve tiempo.

Los cometes del filamento del medidor, así como los segmentos del comodinador se fabrican con revestimiento de plata, por lo cual estos elementos no requieren mantenimiento alguno. Además de proceder a la medición hay que controlar si los bornes de conexión están adecuadamente limpios. Los instrumentos deben ser protegidos contra las severas influencias mecánicas.

	Cantidad
Muelle exterior de filamento:	10
Muelle en "S":	20 mm
Espacio plano:	222—842
Pata de goma:	282—726
Ajua de vibració:	253—833
Curz indicadora:	263—581
Núcleo de soporte del filamento:	230—011
Rodillo I:	230—012
Rodillo II:	231—304
Suporte del móvil:	262—973
Bola de termina:	330—043
Tapa armada:	304—147
Centro de caja:	304—022
Fundamento:	287—778
Botón giratorio:	331—9063
Interruptor:	352—099
Tuerca circular:	290—614
Tapon de cierre:	283—797
Filamento de ionización:	10—0348—13
sarma:	0.8 CH73
6mV—4mV	0.8 CH73
Báscula embobinado:	101—452
60mV—6mV	15—0146—01
4mV—6mV	101—132
	15—0146—01
	1
	5



NORME DIN 42586 FORMA BR



1-2 Morsetti di sgancio  
3-4 Morsetti di allarme  
5 Morsetto di terra  
6 Rubinetto di sviloto  
7 Valvola prova pneumatica  
8 Prova meccanica circuito di allarme e circuito di sgancio  
9 Pressacavo PG 16  
10 Tappo di scarico  
11 Tappo PG 16

1-2 Bornes de déclenchement  
3-4 Bornes d'alarme  
5 Borne de terre  
6 Robinet d'échappement  
7 Valve of pneumatic test  
8 Soupape pour essai mécanique  
9 Essai mécanique du circuit d'alarme et circuit de déclenchement  
9 Presse-câble PG 16  
10 Bouchon de vidange  
11 Bouchon PG 16

1-2 Release Terminals  
3-4 Alarm terminals  
5 Earth terminal  
6 Breather Cock  
7 Valve of pneumatic test  
8 Mechanical test of the alarm circuit and release circuit  
9 Cable press PG 16  
10 Drain plug  
11 Plug PG 16

1-2 Auslöseklemmen  
3-4 Alarmklemmen  
5 Erdklemme  
6 Entlüftungshahn  
7 Ventil zur pneumatischen Prüfung  
8 Mechanische Prüfung des Alarmkreises und Auslösekreises  
9 Kabelbuchse PG 16  
10 Ablaufstopfen  
11 Stopfen PG 16

1-2 Bornes de desenganche  
3-4 Bornes de alarma  
5 Borne de tierra  
6 Grifo de evacuación del aire  
7 Válvula para la prueba neumática  
8 Prueba mecánica del circuito de alarma y circuito de desenganche  
9 Prensa de cable PG 16  
10 Tapón de descarga  
11 Tapón PG 16

TIPO TYPE	A'	B	D	D <sub>1</sub>	D <sub>2</sub>	D <sub>3</sub>	D <sub>4</sub>	L	S	M*	KG
BR 25	187	129.5	25	85	115	14	68	200	15	4	3.1
BR 50	232	149.5	50	125	165	18	102	185	18	4	3.7
BR 80	260	160	80	160	200	18	138	195	18	4 (8)	4.8

## DESCRIPCIÓN DE LA CONSTRUCCIÓN

El cuerpo de los relés consta de compactas fundiciones de aluminio, resistentes a la corrosión y exentos de porosidad.

En los lados opuestos hay los ventanillas de inspección.

Estos son de cristal templado y tienen una escala graduada la calibración de la cual en  $\text{cm}^3$  concierne el volumen interior del relé.

En la parte superior hay:

- n. 1 grifo para la descarga de los gases con tornillo rosado G 1/4 macho con tapón de cierre.
- n. 1 válvula para la prueba neumática de los circuitos de alarma y de disparo con tapón de cierre.
- n. 1 dispositivo para la prueba mecánica de los circuitos de alarma y de disparo con tapón de cierre.
- n. 1 caja de bornes de hermeticidad al interior de la cual hay:
  - n. 4 aisladores de nylon (tanientes los números 1 - 2 - 3 - 4) a los cuales conectan los circuitos eléctricos interiores (solo 2 por la forma A);
  - n. 1 borne para la puesta a tierra.

La caja de bornes tiene dos rosca PG 16 paralelas al flujo del aceite. Sobre una se atornilla un prensacable y un tapón cierra la otra.

En la parte inferior hay el tapón para la eventual descarga del aceite. La parte inferior consta de un bastidor metálico que soporta:

- n. 2 flotadores de latón (solo 1 por la forma A).
- Interruptores eléctricos (solo 1 por la forma A).  
Interruptor está cerrado en una ampolla de vidrio conteniente gas neutro.
- n. 1 rodela metálica, calibrada, para la señalización de las fuertes corrientes de aceite de retorno (del transformador al recipiente de conservación).
- n. 2 imanes permanentes (éstos solo en los tipos con interruptor de mando magnético).

## INTERRUPTORES ELÉCTRICOS

Alimentación: 24 + 220 Volt c.c. alterno o c.c. c.c.

Corriente nominal: 0.5 amp. referido a 10.000 maniobras

Potencia de interrupción: 2 amp.

Círculo exterior: c.c. alterno (50 Hz)  $\cos \phi = 0.4 \pm 25\%$   
c.c. c.c.  $t = L/R$  40 ms  $\pm 15\%$ .

Estos interruptores pueden ser de ampolla de mercurio (siglo H) o de mando magnético (siglo M).

El circuito eléctrico de alarma conecta los aisladores marcados con los números 3 y 4.

El circuito eléctrico de disparo conecta los aisladores marcados con los números 1 y 2.

Grado de protección: IP 54.

## CARACTERÍSTICAS DE FUNCIONAMIENTO

Temperatura de ejercicio: todos los relés con idóneos para funcionar con temperaturas del aceite incluidos entre  $-25^\circ\text{C}$  y  $+100^\circ\text{C}$ .

Señalización de intervención de los interruptores eléctricos:

- En el relé de forma A:
  - cuando se ha acumulado en su interior un volumen de gas igual a  $100 \text{ cm}^3$ ;
  - cuando el aceite contenido en el relé disminuye de un volumen igual a  $100 \text{ cm}^3$ ;
  - cuando la velocidad de las corrientes del aceite que corren del transformador al recipiente de conservación, alcanza los  $100 \text{ cm}/\text{segundo}$  referida al diámetro del agujero.

## ALARMA

— Relé de tipo BG 25 y BR 25:

cuando se ha acumulado en su interior un volumen de gas igual a  $150 \text{ cm}^3$ ;

— cuando el aceite contenido en los relés disminuye de un volumen igual a  $150 \text{ cm}^3$ .

— Relé de tipo BR 50 y BR 50:

cuando se ha acumulado en su interior un volumen de gas igual a  $250 \text{ cm}^3$ ;

cuando el aceite contenido en los relés disminuye de un volumen igual a  $250 \text{ cm}^3$ .

## DISPARO

Sobre todos los tipos de relé hay esta intervención:

1. Después de aquella (intervención) de alarma, si continua la acumulación de gas o pérdida de aceite, sea como sea

siempre antes de permitir a la burbuja de gas de salir del relé.

2. cuando la velocidad de las corrientes de aceite, que corren del transformador al recipiente de conservación, alcanza los  $100 \text{ cm}/\text{segundo}$  referida al diámetro del agujero. No hay alguna intervención por las corrientes de aceite que corren del recipiente de conservación al transformador.

## RESISTENCIA A LAS VIBRACIONES

Los relés llenos de aceite, quiere decir en las condiciones de normal ejercicio, han sido puestos sobre una tabla vibrante teniendo la anchura de las vibraciones de 2 mm.

- Relés con interruptores de ampolla de mercurio (siglo H): Comenzando de cero se han alcanzado 150 vibraciones horizontales por segundo (175 Hz) y a este punto los contactos han comenzado a dar señales de cierre. Siempre comenzando de cero se han alcanzado 120 vibraciones verticales por segundo y los contactos han comenzado a dar señales de cierre.

- Relés con interruptores de mando magnético (siglo M): Comenzando de cero se han alcanzado 200 vibraciones horizontales por segundo (100 Hz) sin que los contactos hayan dado señales de cierre. Siempre comenzando de cero se han alcanzado 200 vibraciones verticales por segundo (100 Hz) y los contactos no han dado durante todo la prueba algún señal de cierre. Las pruebas han sido ejecutadas con los siguientes tiempos:

30 segundos: de 0 Hz + 100 Hz  
60 segundos: 100 Hz constantes  
30 segundos: de 100 Hz + 0 Hz.

## INDICACIONES DE MONTAJE

En los relés hay una flecha que indica la dirección de montaje (del transformador al recipiente de conservación).

Se admite una inclinación máxima de  $4^\circ$  sobre el eje horizontal hacia el recipiente de conservación.

Es una buena regla controlar el funcionamiento de los circuitos eléctricos después de haber ejecutado el montaje.

## PRUEBAS Y ENSAYOS

Interruptores y flotadores se ponen en autoclave e inmersos en aceite teniendo la temperatura de  $90^\circ\text{C}$  y sometidos a una presión constante de 100 KPa por 8 horas y quiere decir para eliminar aquellos que, por causa de mala construcción tuvieran dejado filtrar aceite.

En los cuerpos de los relés sin aislador interior, se hace circular aceite a la temperatura de  $90^\circ\text{C}$  a una presión constante de 300 KPa por 8 horas consecutivas para eliminar aquéllos que presentan perdidas o exudaciones.

El ensayo final consiste en, el relleno de los relés con aceite a la temperatura de  $90^\circ\text{C}$  a una presión constante de 100 KPa por 4 horas. Controlar que no haya alguna pérdida o exudación. Por lo menos 5 veces hay que ejecutar el funcionamiento del relé controlando la perfección y verificación que el cierre de los circuitos eléctricos se realice cuando el interior hay el volumen de gas prefijado; que la señalización de las fuertes corrientes de aceite de retorno se realice cuando la velocidad de éstas alcanza el mínimo fijado.

Última prueba el aislamiento hacia puesta a tierra a la tensión de 2000 Volt 50 Hz por la duración de un minuto.

## SIGLAS PARA LA IDENTIFICACIÓN DEL TIPO

Cada relé tiene su sigla la cual filja todas las características.

En las formas A y BG, las letras que identifican el tipo serán siempre seguidas por otras dos; la primera indicará el tipo de interruptor y la segunda el esquema del circuito eléctrico (ejemplo: AHE = relé de forma A con interruptor de ampolla de mercurio — esquema eléctrico E).

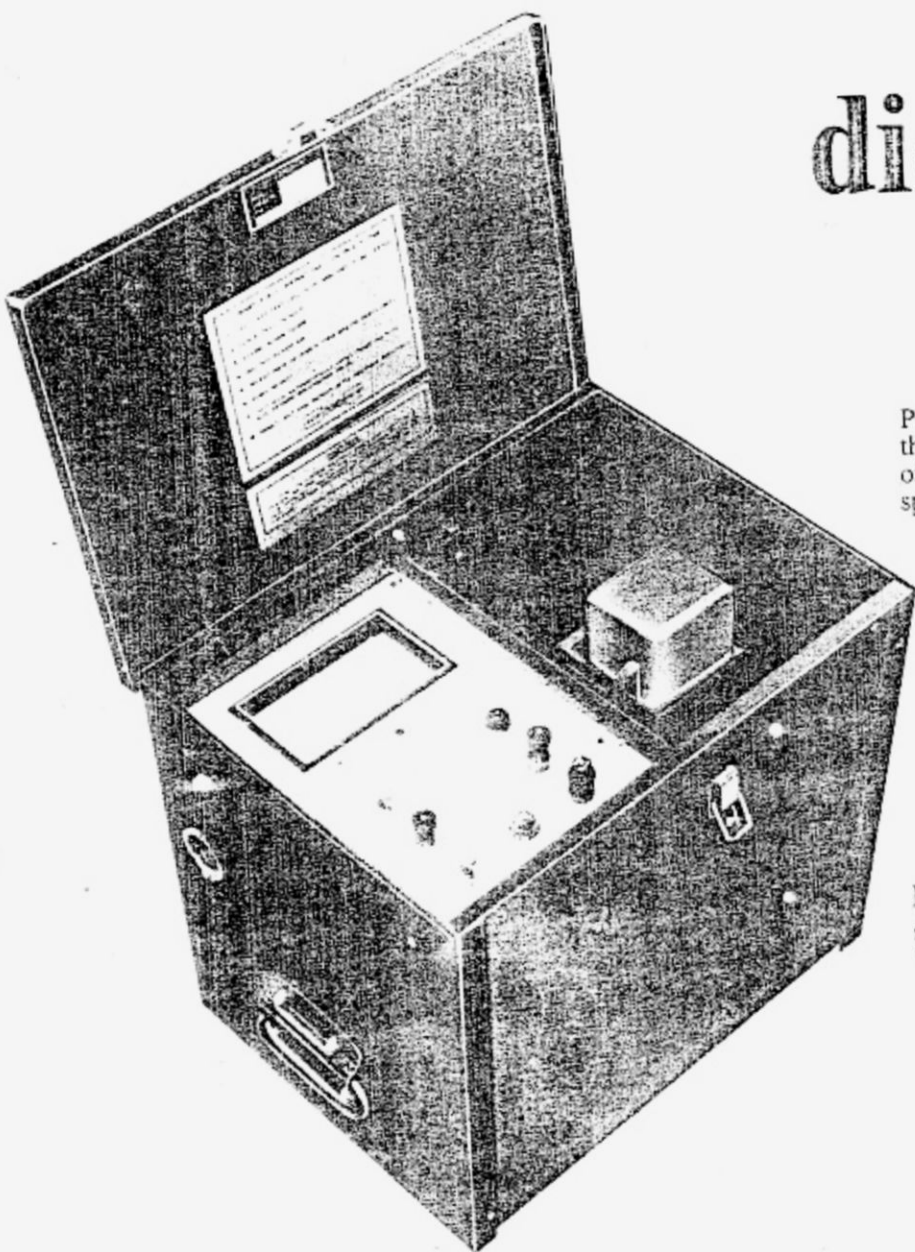
En la formas BR la sigla se forma con estas dos letras seguidas por:

- a) Una cifra de dos números que indica el diámetro del agujero de brida y portanto el tamaño de relé
- b) una primera letra:
  - M = interruptor de mando magnético
  - H = interruptor de ampolla de mercurio
- c) una segunda letra para indicar el esquema del circuito eléctrico interior (A B C D E F).

Ejemplo: relé BR 25 HA = relé de gas de forma BR 25 con interruptores de ampolla de mercurio, esquema eléctrico interior A.

HP 7106

# liquid dielectric testers



Portable units designed to test  
the breakdown voltage of insulating  
oils in accordance with ASTM  
specifications.

**Model OC-60A**  
shown with Hipotronics'  
VDE test cell

- Four models available:  
OC-50A (0-50 KV rms) Automatic  
OC-60A (0-60 KV rms) Automatic  
OC-90A (0-90 KV rms) Automatic  
OC-51M (0-50 KV rms) Manual Only
- Perform tests to these specifications  
automatically:  
ASTM D149  
ASTM D877  
ASTM D1816
- Fully automatic models — just  
select motorized rate of rise . . .  
memory meter records break-  
down voltage

  
**HIPOTRONICS**  
HIPOTRONICS, INC.

# AUTOMATIC TESTERS

(Models OC-50A, OC-60A & OC-90A)

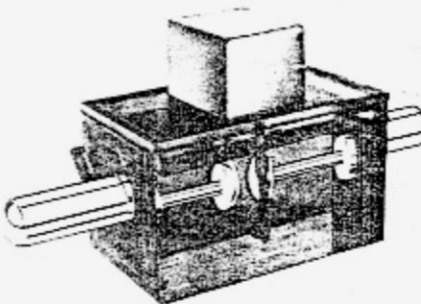
- Extended voltage ranges (to 50KV, 60KV & 90KV) to accommodate the dielectrics now being used in transformers, bushings, capacitors, etc.
- Memory Meter provides absolute accuracy and repeatability of readings, allowing truly comparative readings of different dielectrics and periodic comparative readings of the same dielectric.
- Automatic rate of rise with manual dwell at any voltage.
- Completely self-contained, with no external equipment needed.
- Interlocked test cell and sliding lucite cover panel for operator safety.
- No adjustments required.
- Cup options: takes standard disc test cell or VDE test cell.

EASY TO OPERATE . . .  
WITH  
ABSOLUTE ACCURACY  
FOR ASTM SPECS

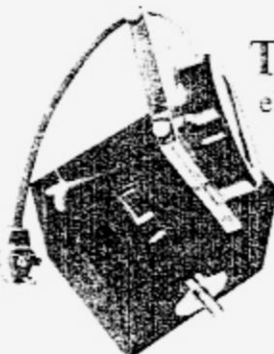
1. A motor-driven power stat automatically raises the voltage as required (500 volts per second for ASTM D1816 or 3,000 volts per second for ASTM D877).
2. An overload circuit instantaneously shuts off the voltage at the moment of arecover (breakdown voltage of the oil).
3. A memory meter retains the breakdown voltage reading until manually reset.
4. Manual override provides safety factor if necessary to stop test before breakdown occurs.



**TC/DE:** ASTM test cell with disc electrodes (oil cup). Adjustable 1-inch diameter electrode and standard 0.100-inch gap gauge. For testing with Models OC-50A, OC-60A and OC-51M at 3,000 volts per second in accordance with ASTM specification D877.



**TC/VDE:** ASTM test cell with VDE electrodes and motor-driven circulating system. For testing with Models OC-50A, OC-60A and OC-51M per ASTM specification D1816 at 500 volts per second.

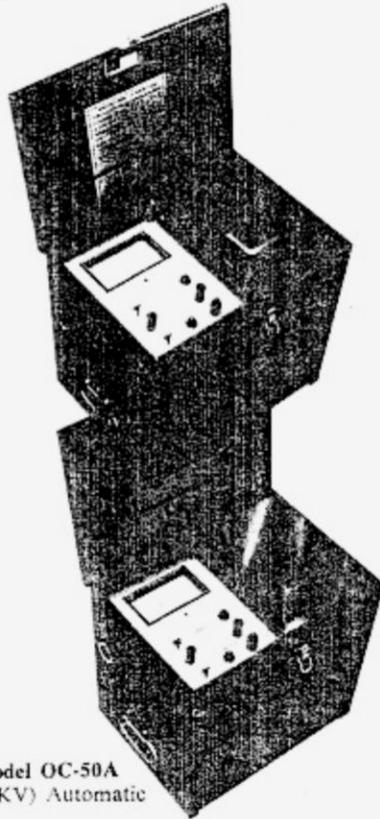


## Test Cell Specifications:

Type	TC/DE	TC/VDE	TC/CE90*
Unit tested with	OC-50A, OC-60A, OC-51M	OC-50A, OC-60A, OC-51M	OC-90A
Specification tested to	D-877	D-1816	D-877, D-1816
Weight (lbs)	2	4	5

\*Includes oil circulator VDE electrodes for conversion to disc electrode use.

**Model OC-60A**  
(0-60KV) Automatic



**Model OC-50A**  
(0-50KV) Automatic

## COLOR CHECK YOUR OILS WITH THIS COLOR GUIDE

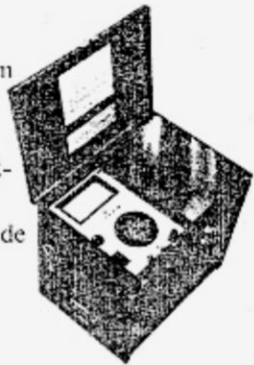
A quart sample of oil is required to properly determine the color. NEW Transformer Oil will discolor as oxidation of the oil takes place. COLOR BY ITSELF is not a reliable test to evaluating the condition of the oil for further use, but indicates that something is happening within the transformer that requires investigation.

### Rule of Thumb

Once transformer oil changes from the yellow range into the oranges and reds, the oil has degraded to the point where the vital parts of the transformer are being seriously affected. To determine the full extent of degradation of the oil, follow the dielectric breakdown test procedures as specified in ASTM specification numbers D877 and/or D1816.

### Model OC-51M (0-50KV) Manual Only

- Variable output transformer for adjusting test voltages from zero to maximum.
- Accepts all standard cups.
- Overload circuit breaker shuts off voltage instantly at breakdown point.
- Interlocked test cell and sliding lucite cover panel provide operator safety.



### Test Unit Specifications:

Model	OC-50A	OC-60A	OC-90A	OC-51M
Input	115V, 50/60 Hz, 2 amps, single phase			
Output	0-50KV rms or 2KVA	0-60KV rms or 2KVA	0-90KV rms or 2KVA	0-50KV rms or 2KVA
Accuracy	Memory Meter, 2% at full scale			
Rate of Rise	Automatic 500 V/sec for ASTM D1816 and 3000 V/sec for ASTM D 877, with manual dwell at any voltage		Manual only	
Dimensions (in.)	15½W x 15 H x 11½D	15½W x 15 H x 11½D	29 W x 17½H x 11½D	15½W x 15 H x 11½D
Weight	60	60	117	50

### EFFECT ON TRANSFORMER

### TRANSFORMER OIL Color Chart

NOTATION	ACTION	Interfacial Tension Dynes/cm	Acid (Neutral) No. mg/KOH/g	Color Classification
Providing these functions: 1. Efficient Cooling 2. Preserving insulation	Annual Testing Required. Purpose: To evaluate one year's operation of the transformer — Establish trends.	30-45	0.03 to 0.10	GOOD
Polar Compounds (sludges) in solution (Products of oil oxidation) causes the drop in IFT.	Annual Testing Required. Hot oil cleaning of oil and transformer should be considered.	27-29	0.05 to 0.10	PROP A
Fatty Acids coat the windings. Sludges in solution ready for initial fall-out. Sludges in insulation voids highly probable.	Annual Testing Required. Hot oil cleaning of transformer required at this time to eliminate rapid deterioration of insulation.	24-27	0.11 to 0.15	MARGINAL
In almost 100% of the transformers in this range sludges are deposited on core and coils. Sludges are first deposited in fin areas.	Annual testing Required. Hot oil cleaning using multiple passes of hot clean naphthenic oil required to re-dissolve these sludges.	18-24	0.16 to 0.40	BAD
	Annual Testing Required. SludgePurge® procedures required to arrest the harmful effects of oil decay products.	14-18	0.41 to 0.65	
	Annual Testing Required. SludgePurge® procedures required to remove the accumulation of decay products.	9-14	0.66 to 1.50	
Vast quantities of sludges may require other means than SludgePurge® procedures.	Annual Testing Required. Drain, flush, add new oil and SludgePurge®. Requires power outage to accomplish this work.	6-9	1.50 and higher	CLASS 7 OILS



ELECTROLUBE

10000 VOLTS D.C. 30°C. 100°F.

## ELECTROLUBE

ELECTROLUBE es un aceite lubricante que se elabora con aceites básicos nafténicos nacionales altamente refinados y que se recomienda para ser usado en transformadores e interruptores eléctricos. Este aceite sirve para aislador en los transformadores y llaves de interrupción.

Se caracteriza por ser altamente resistente a la oxidación y formación de borra, siendo químicamente neutro y libre de sustancias nocivas.

ELECTROLUBE ha sido previamente tratado con ácido sulfúrico, lo cual ha permitido elevar su poder dieléctrico hasta 30,000 voltios.

Se recomiendan las mayores precauciones en la manipulación de este aceite para evitar su contaminación con la humedad; de lo contrario, bajará su poder dieléctrico.

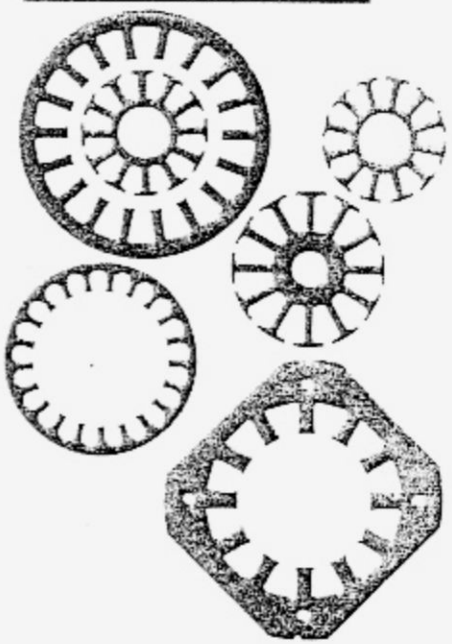
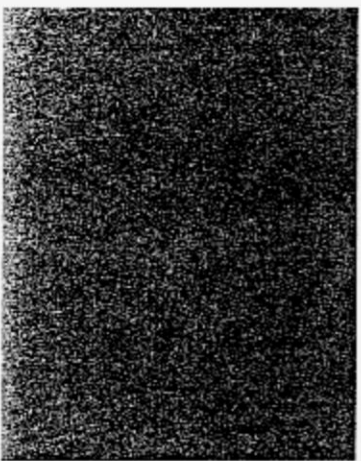
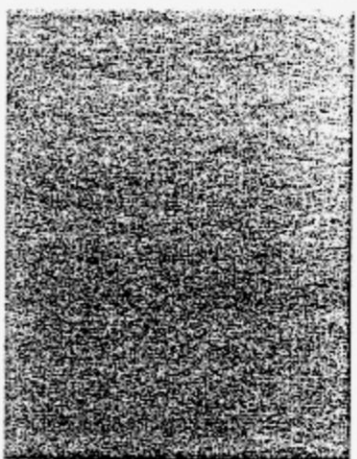
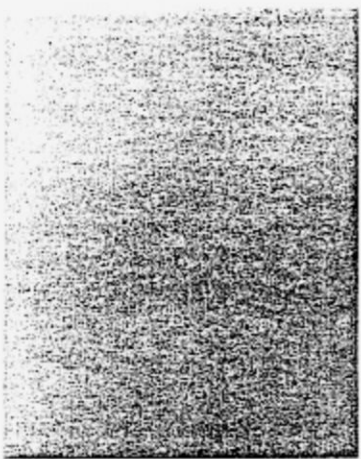
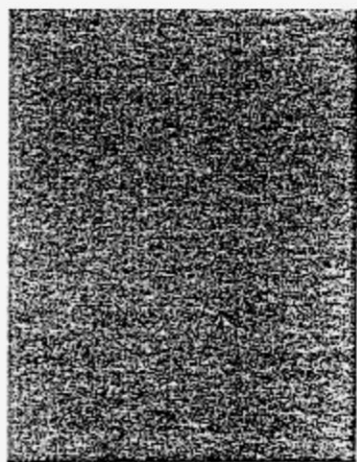
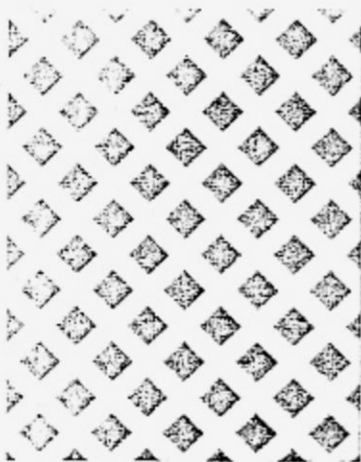
ELECTROLUBE ha sido formulado para dar las siguientes características de un buen aceite para transformadores eléctricos:

- Tiene baja viscosidad: es un aceite muy liviano que fácilmente disipa el calor absorbido en el transformador o interruptor.
- Tiene un alto poder dieléctrico, el cual llega hasta 30,000 voltios.
- Está libre de ácidos, álcalis y azufre corrosivo.
- Es altamente resistente a la oxidación y formación de borra.
- Es un aceite que no se emulsiona con el agua.
- Tiene bajo punto de fluidez (-35°F.) que permite usarlo a bajas temperaturas.
- No ataca el barniz de recubrimiento de las bobinas.

### ESPECIFICACIONES TÍPICAS: ELECTROLUBE

Gravedad °API	26.7
Punto de inflamación °F.	200
Punto de fluidez °F.	-20
Visc. SSU a 100°F.	84.2
Visc. SSU a 210°F.	36.8
Número de neutralización	0.01
Color, Robinson	19 1/2
Poder dieléctrico, voltios	30,000

# Pressboard For Insulation class A



**KREMPPEL**

ELECTRICAL INSULATION MATERIALS · FIBRE-REINFORCED PLASTICS · FLEXIBLE BASE MATERIALS

August Krempe1 Soehne GmbH + Co. · P.O.B. 484 · D-7000 Stuttgart 1 · Tel. (0711) 64 30 31 · Telex 7 22 032

## Advantages.

Pressboard is a proven insulating material with a cellulose base used for insulation class A (105°C). Its structure and its material properties are defined in DIN 7733, the test procedure is laid down in DIN 7734 (VDE 0315).

Apart from the high dielectric strength and the high impregnating capacity with transformer oil (mixed dielectric oil-cellulose) it is quite remarkable that pressboard has no melting point. For this reason it is capable of withstanding short duration thermal stresses (e.g. a few seconds at 350°C) without any significant deterioration in its properties and in many cases is often used instead of plastic insulation in machines which operate for short periods to withstand temperatures up to approx. 190°C.

Pressboard can be stamped out, folded, cut and partially shaped. This means no problems with subsequent processing.

## Composition.

The raw material base for the fibrous product pressboard is unbleached sulphate cellulose, which is derived from conifers from northern countries.

Pressboard is manufactured on special paper machines. It will in the first instance be necessary to loosen the cellulose fibres from their compound and crush them in a grinding mill into an aqueous suspension. This fibre-water mixture is conveyed to several cylindrical strainers arranged one behind the other (round sieves) after several rinsing processes and then formed into the wet multi-layer fibrous fleece ("sheet") by filtration. The water is then removed from this fleece which is then pressed into a sheet and dried in warm air.

The chemical bond of fibres in this process is not achieved by any added binding agent, but exclusively by hydrogen linkages. Pressboard is therefore a pure natural product.

The appropriate mechanical processes applied during the manufacture will achieve a fibre orientation in the longitudinal direction (machine direction) which is as near as possible equal to that in the transverse direction. This means that similar strength and shrinkage values are to a large extent guaranteed for both directions.

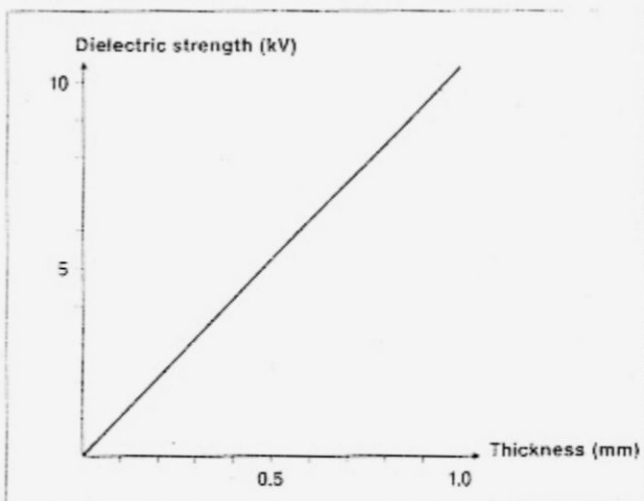
The pressboard is calendered after the drying process to obtain the specified thickness and density and hence its good mechanical and electrical properties.

Pressboard is manufactured with different qualities as well as different dimensions. The properties

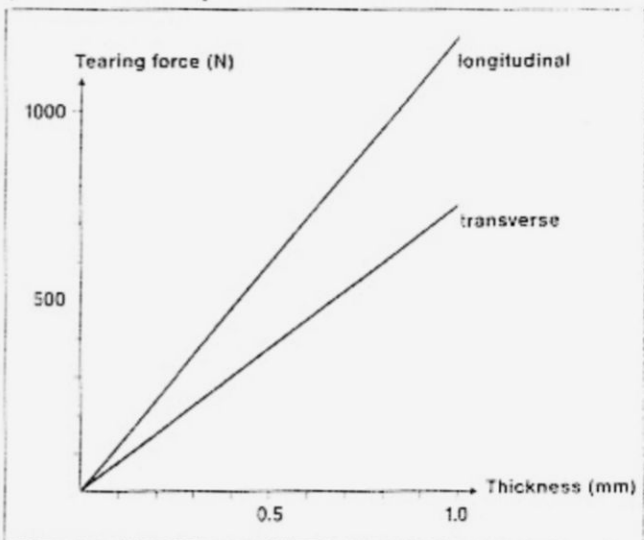
of the pressboard can be varied by suitable choice of the cellulose, by special preparation of the fibres, by special machine settings and by special drying processes.

Pressboard is supplied both in reels and in sheets, where the thinner material is formed from several bonded layers of foils and the thicker material by bonding several layers of pressboards (adhesive with a low electrolytic content). As the thickness of the material can have a significant effect on the technical properties, it is necessary to find the optimum relationship between the dimensions of the material and the specified minimum values when designing electrical machines.

**Dielectric strength as a function of the material thickness (for transformer pressboard RPT - minimum values)**



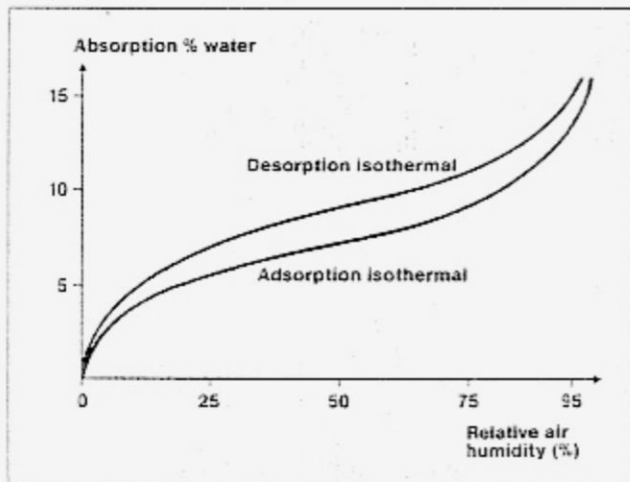
**Tearing force as a function of the material thickness (for transformer pressboard RPT - minimum values)**



Width of strip specimen 15 mm

Cellulose is always in a certain equilibrium with the surrounding air humidity. For this reason the properties of pressboard will depend to a considerable extent on the moisture content in each case. The distance between adsorption isothermals and desorption isothermals corresponds to the diffusion resistance, which is only broken down by a specific diffusion gradient. The natural equilibrium must if at all possible remain undisturbed, in order to avoid processing difficulties.

#### Sorption isothermals of pressboard (at 20 °C)

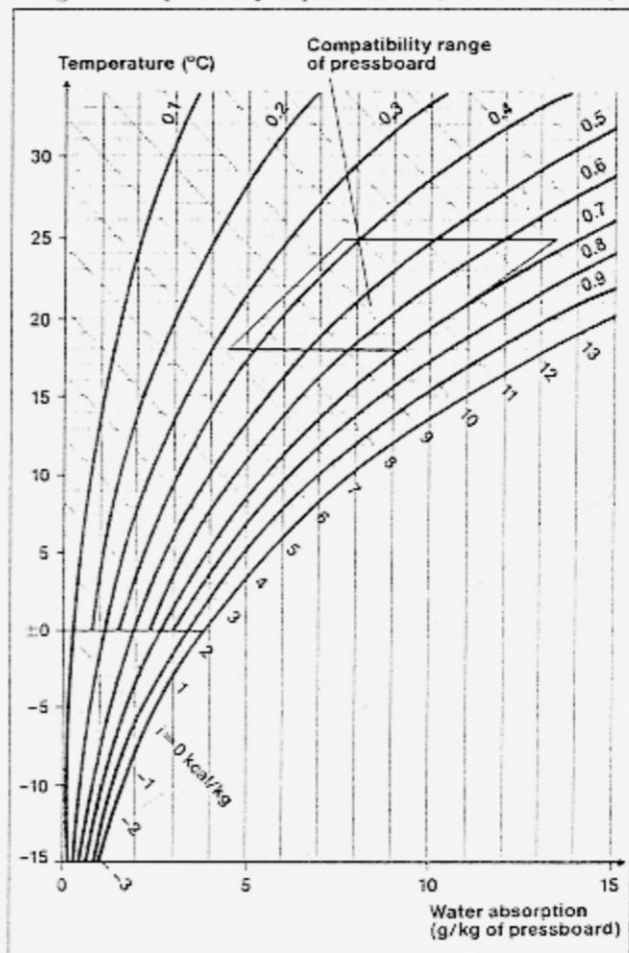


The strength of an insulation is mainly determined by the impregnating agent used. By impregnating with liquid or molten materials, an attempt is made to exclude the ionizing gases and to protect the carefully dried fibre materials against the effect of the atmospheric moisture. Complete removal of the air trapped between the pores is therefore a precondition for the impregnating agent to permeate effectively.

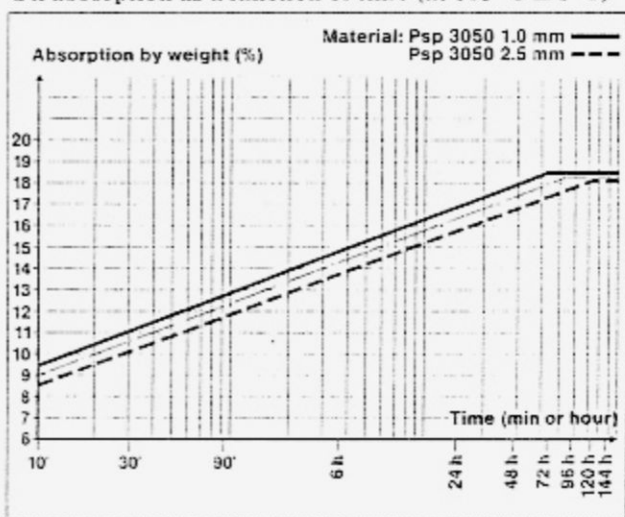
This produces the ideal mixed dielectric of oil-cellulose, so that the prolific absorption of oil by the pressboard will also continue to ensure the prominence of this material in the construction of oil-filled transformers and capacitors.

Cellulose products tend to break down when subjected to penetrating thermal stresses over long periods. The average degree of polymerization drops slowly, so that the breakdown when using an additional insulating material (e.g. insulation oils, impregnating resins) occurs more slowly, as the oxidation will have no effect. Long-term research has shown that whereas the mechanical values are reduced after storage at high temperatures, the dielectric strength will nevertheless be retained.

#### Range of compatibility of pressboard (at 1013.25 hPa)



#### Oil absorption as a function of time (at 105 °C ± 1 °C)



## Programme.

The following range of pressboard reels and pressboard sheets can be supplied:

### Standard types of pressboard reels

Designation	Type as per DIN	Colour	Applications
Machine pressboard RPG	Psp 3020	brown	Stamped and shaped components, coil formers, stator and rotor end plates, stamped shims
High-grade pressboard EPR	Psp 3040	greyish black	Slot linings, circumferential insulation, interleaving insulation for electrical machines, stamped components
Transformer pressboard RPT	Psp 3055	natural colours	Insulating components in oil-filled transformers, layer insulation, core insulation
Capacitor pressboard RPK	Psp 3065*	natural colours	Insulating components in oil-filled capacitors, layer insulation
Special pressboard NUTOFLEX	Special quality with high expansion	violet	Circumferential insulation, slot lining, stamped and shaped components
Special pressboard NUTODUR	Special quality with high bending strength	green	Stamped shims, slot closures

\*DIN values correspond to Psp 3060 (see pressboard sheets)

### Standard types of pressboard sheets

Designation	Type as per DIN	Colour	Applications
Machine pressboard	Psp 3010	brown	Stamped and shaped components, coil formers, stator and rotor end plates, stamped shims
High-grade pressboard	Psp 3030	greyish black	Interleaving insulation for electrical machines, slot covers, coil formers, stamped components
Transformer pressboard	Psp 3050	natural colours	Insulating components in oil-filled transformers, angle rings
Transformer pressboard STABIL	Psp 3052	natural colours	Insulating components in oil-filled transformers, insulating cylinders, spacing strips, spacers, pitch rings
Capacitor pressboard	Psp 3060	natural colours	Insulating components in oil-filled capacitors, disks, rings, spacers
Special pressboard NUTOFLEX	Special quality with high expansion	violet	Circumferential insulation, slot lining, stamped and shaped components
Special pressboard NUTODUR	Special quality with high bending strength	green	Stamped shims, slot closures

The different types of pressboard are again supplied in specific standard thicknesses. However, it will also be possible to supply intermediate thicknesses if sufficiently large quantities are purchased.

## Characteristic values.

Insulation class A

### Properties of pressboard reels

Properties	Type (0.25 to 1.0 mm)	Measuring unit	Psp 3020 RPG	Psp 3040 EPR	Psp 3055 RPT	Psp 3065 RPK	Special pressboard NUTOFLEX	Special pressboard NUTODUR
Colour	-	brown	greyish black	natural colours	natural colours	violet	green	
Density approx.	g/cm <sup>3</sup>	1.00-1.20	1.00-1.20	1.20-1.25	1.20-1.30	1.15-1.25	1.10-1.20	
Tensile strength longitudinal transverse	N/mm <sup>2</sup> N/mm <sup>2</sup>	≥70 ≥40	≥75 ≥45	≥80 ≥50	≥80 ≥50	≥80 ≥50	≥60 ≥30	
Failure strain longitudinal transverse	% %	≥4.0 ≥9.0	≥5.0 ≥11.0	≥6.0 ≥12.0	≥6.0 ≥12.0	≥6.0 ≥12.0	≥5.0 ≥10.0	
Dielectric strength	kV/mm	≥10.0	≥10.0	≥10.5	≥12.0	10.0	8.0	
Shrinkage (24 h/120°C)	%	1.8	1.8	1.0	1.0	1	1	
Coefficient of linear thermal expansion	K-1	5·10 <sup>-6</sup>	5·10 <sup>-6</sup>					
Thermal conductivity	W/(K·m)	0.45	0.45	0.45	0.45	0.45	0.45	0.415
Moisture content <sup>a)</sup>	Weight%	8	8	8	8	8	8	
Melting point	°C	none	none	none	none	none	none	

<sup>a)</sup>See also above "Sorption isotherms"

### Properties of pressboard sheets

Properties	Type (0.25 to 1.0 mm)	Measuring unit	Psp 3010	Psp 3030	Psp 3050	Psp 3052	Psp 3060
Colour	-	brown	greyish black	natural colours	natural colours	natural colours	
Density approx.	g/cm <sup>3</sup>	1.20-1.30	1.25-1.35	1.20-1.30	1.15-1.30	1.25-1.30	
Tensile strength longitudinal transverse	N/mm <sup>2</sup> N/mm <sup>2</sup>	≥75 ≥45	≥90 ≥50	≥90 ≥50	≥100 ≥70	≥90 ≥50	
Failure strain longitudinal transverse	% %	≥5.5 ≥10.0	≥7.0 ≥12.0	≥6.0 ≥12.0	≥6.0 ≥12.0	≥6.0 ≥12.0	≥6.0 ≥12.0
Dielectric strength	kV/mm	≥11.0	≥13.0	≥12.0	≥12.0	≥12.0	≥12.0
Shrinkage (24 h/120°C)	%	1.8	1.8	1.0	0.5	1.5	
Coefficient of linear thermal expansion	K-1	5·10 <sup>-6</sup>					
Thermal conductivity	W/(K·m)	0.45	0.45	0.45	0.45	0.45	0.45
Moisture content	Weight%	8	8	8	8	8	
Melting point	°C	none	none	none	none	none	

See entry "General instructions" for tests and methods of measurement.

New standards are being prepared for pressboard.

Table 1.

## Guaranteed maximum core losses for cold rolled, non-oriented electrical steel

W/kg at 50 c/sec

 $P_{10}$  = core losses at 10,000 gauss (1.0 T)  
 $P_{15}$  = core losses at 15,000 gauss (1.5 T)

Grade	Silicon %	0.35 mm		0.50 mm		0.63 mm		0.75 mm	
		$P_{10}$	$P_{15}$	$P_{10}$	$P_{15}$	$P_{10}$	$P_{15}$	$P_{10}$	$P_{15}$
DK-90	1.0			3.60	8.60	4.40	10.50	4.90	11.50
DK-80	1.0			3.30	8.00	3.90	9.10	4.40	10.00
DK-70	1.0			3.00	6.80	3.70	8.60	4.20	9.50
DK-66	1.3			2.60	6.00	3.30	7.50	3.80	8.50
DK-59	1.7			2.30	5.80	2.90	7.20	3.20	7.50
CK-44	2.1			2.00	4.50	2.30	5.20		
CK-43	2.5			1.75	4.00	2.00	4.60		
CK-40	2.5	1.40	3.30	1.70	4.00	1.95	4.60		
CK-37	2.7	1.35	3.00	1.65	3.60	1.90	4.20		
CK-33	2.8	1.20	2.80	1.45	3.30	1.70	3.90		
CK-31	3.0	1.10	2.60	1.35	3.10				
CK-29	3.0	1.00	2.50	1.25	2.90				

0.35 mm = 0.014 in 0.50 mm = 0.020 in 0.63 mm = 0.025 in 0.75 mm = 0.030 in

1.000 W/kg = 0.454 W/lb

W/lb at 60 c/sec

Grade	Silicon %	0.35 mm		0.50 mm		0.63 mm		0.75 mm	
		$P_{10}$	$P_{15}$	$P_{10}$	$P_{15}$	$P_{10}$	$P_{15}$	$P_{10}$	$P_{15}$
DK-90	1.0			2.07	4.95	2.53	6.05	2.81	6.60
DK-80	1.0			1.90	4.60	2.24	5.22	2.53	5.75
DK-70	1.0			1.72	3.91	2.13	4.95	2.41	5.45
DK-66	1.3			1.49	3.45	1.90	4.31	2.18	4.89
DK-59	1.7			1.32	3.33	1.67	4.13	1.84	4.31
CK-44	2.1			1.15	2.59	1.32	2.99		
CK-43	2.5			1.01	2.30	1.15	2.65		
CK-40	2.5	0.80	1.90	0.98	2.30	1.12	2.65		
CK-37	2.7	0.78	1.72	0.95	2.07	1.09	2.41		
CK-33	2.8	0.69	1.61	0.83	1.90	0.98	2.24		
CK-31	3.0	0.63	1.50	0.78	1.78				
CK-29	3.0	0.58	1.44	0.72	1.67				

0.35 mm = 0.014 in 0.50 mm = 0.020 in 0.63 mm = 0.025 in 0.75 mm = 0.030 in

1.000 W/lb = 2.205 W/kg

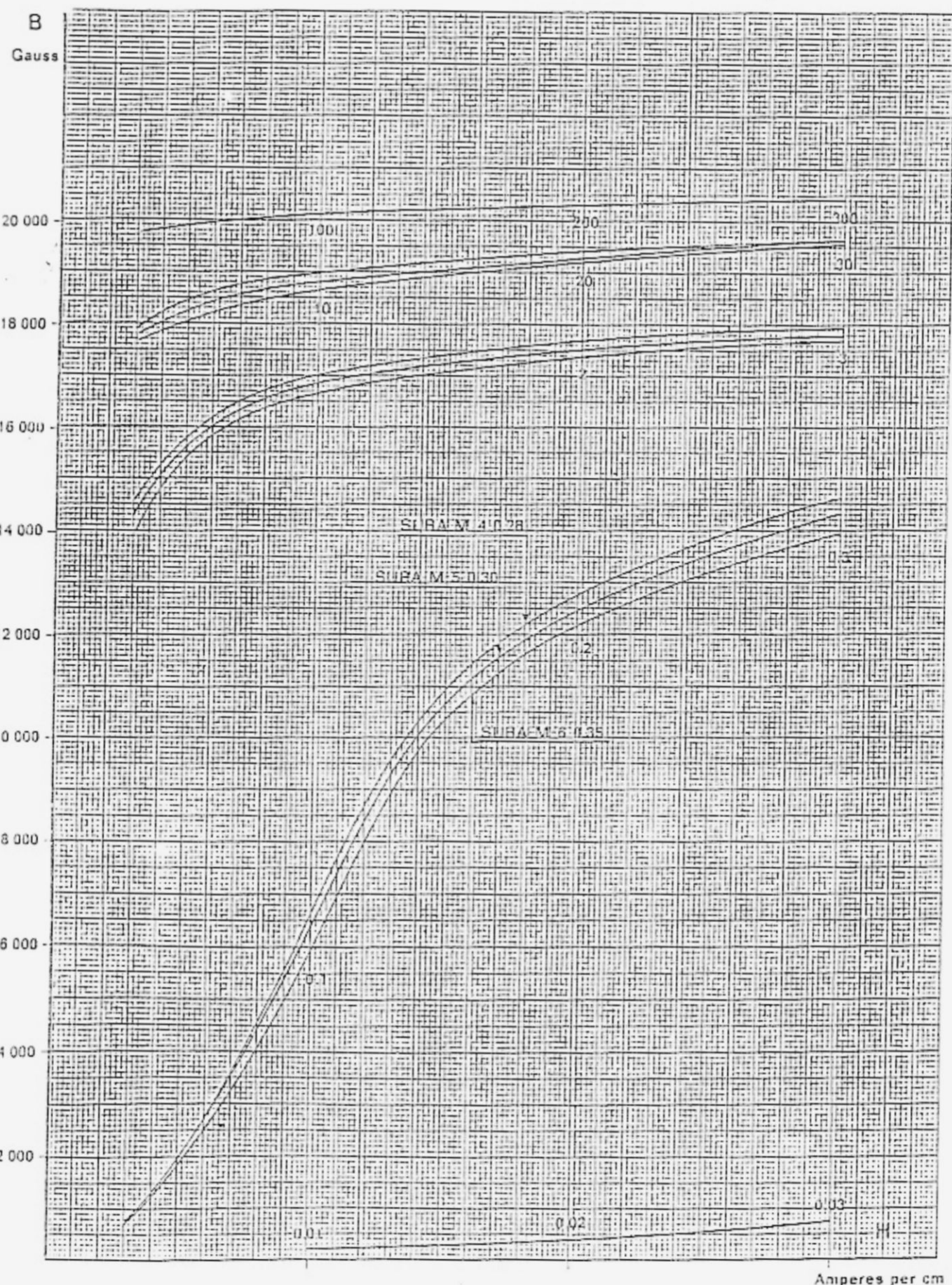
Table 2.

## Guaranteed maximum core losses at 15,000 gauss (1.5 T) for oriented steel

Grade	0.28 mm		0.30 mm		0.35 mm	
	50 c/s W/kg	60 c/s W/lb	50 c/s W/kg	60 c/s W/lb	50 c/s W/kg	60 c/s W/lb
M-4	0.88	0.53	0.89	0.53	—	—
M-5	0.95	0.57	0.97	0.58	1.00	0.60
M-6	1.06	0.63	1.07	0.64	1.11	0.66
M-7	—	—	1.19	0.71	1.22	0.73
M-8	—	—	—	—	1.34	0.80

0.28 mm = 0.011 in 0.30 mm = 0.012 in 0.35 mm = 0.014 in

## M-4, M-5, M-6. D.C. Magnetisation Curve





SOCIETÀ PER AZIONI - CAPITALE L. 200.000.000

Sede legale: 20131 MILANO - VIA G. Puccio, 3 - Tel. 2170787

Amministrazione e Ufficio Vendita: 24043 CARAVAGGIO - Via Treviso, 8 - Tel. 51581 (5 linee ricerca automatica) - Telex - 321418 IMECEB

Stabilimento: 24043 CARAVAGGIO (Bg) - Via Treviso, 8 - 20036 LIBBONE (MI) - Via G. Biardino, 22 - Tel. 41038

Città Tassale: 003656 0152 - Tribunale Milano N. 64391 Reg. Soc.

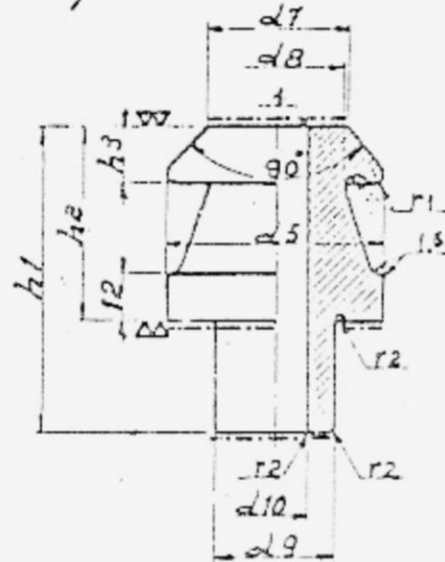
C.F. I.A. MILANO N. 158262 - C.F. I.A. BERGAMO N. 2702

# ISOLATORI PASSANTI PER TRASFORMATORI PER INTERNO E PER ESTERNO

SERIE DIN 42530-68

Classe 1 KV-250÷3150 A

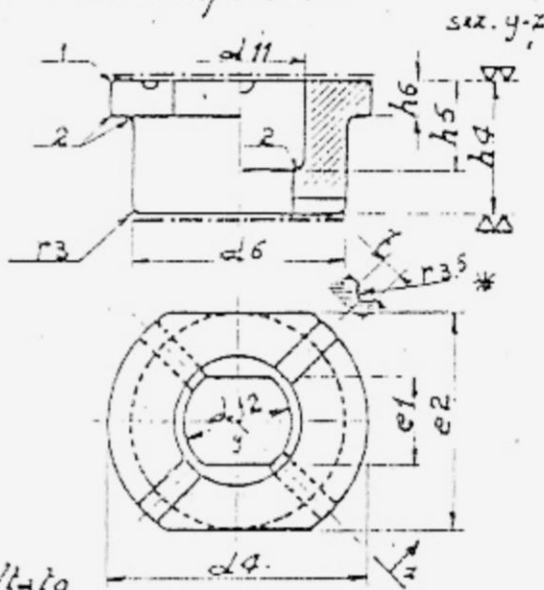
A-Parte superiore



Smalto: marrone.

---- non smaltato

B-Parte inferiore



Tolleranze generali: DIN 40680 grado grossolano.

A-Parte superiore

Tip. I.MEC	Tip. DIN 42530	d5	d7	d8	d9 max.	d10 min.	h1 max.	h2 min.	h3	r1	r2	Impiego
19218	A 1-250	50	32	34	27	14	70	45	13	2,5	1	DT 250
19220	A 1-630	70	47	49	43	22	80	55	16	3	1	DT 630
19222	A 1-1000	90	65	67	53	32	85	55	16	3	1,5	DT 1000
19224	A 1-2000	104	80	82	66	44	85	55	16	3	1,5	DT 2000
19226	A 1-3150	125	100	100	86	50	95	55	16	3	1,5	DT 3150

B-Parte inferiore

Tip. I.MEC	Tip. DIN 42530	d4	d6 min.	d11 min.	d12 min.	e1 min.	h4 min.	h5 min.	h6	r3	Impiego
19219	B 250	60	50	30	26	20	30	20	8	2	DT 250
19221	B 630	85	70	46	41	28	30	20	8	3	DT 630
19223	B 1000	110	90	57	46	37	35	25	10	4	DT 1000
19225	B 2000	125	104	70	64	51	35	25	10	4	DT 2000
19227	B 3150	150	125	90	80	61	35	25	12	4	DT 3150

Canali esistenti solo per i tipi: 19219 - DIN 42530 B 250

19221 - DIN 42530 B 630

TAK 182



Sede legale: 20131 MILANO - Via G. Puccio, 2 - Tel. 270767

Amministrazione e Ufficio Vendite: 24043 CARAVAOIO - Via Treviglio 8 - Telef. 51581 (5 linee ricerca automatica) - Telex: 35413 IMEC

Stabilimento: 24043 CARAVAOIO (Bg) - Via Treviglio, 8 20035 LISSONE (MI) - Via G. Giardino, 22 - Tel. 51078

C. C. I. R. MILANO N. 158282

IMPERIALE MILANO N. 20000 REG. BUL.

C. C. I. R. BERGAMO N. 21000

# ISOLATORI PASSANTI PER TRASFORMATORI PER INTERNO E PER ESTERNO

SERIE DIN 42531-68

Impiego:

DT10NF 250

Impiego:

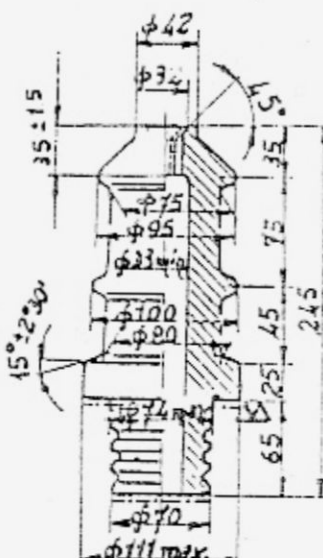
DT20NF 250-

DT30NF 250

Classe 10÷30 KV - 250A

Impiego:

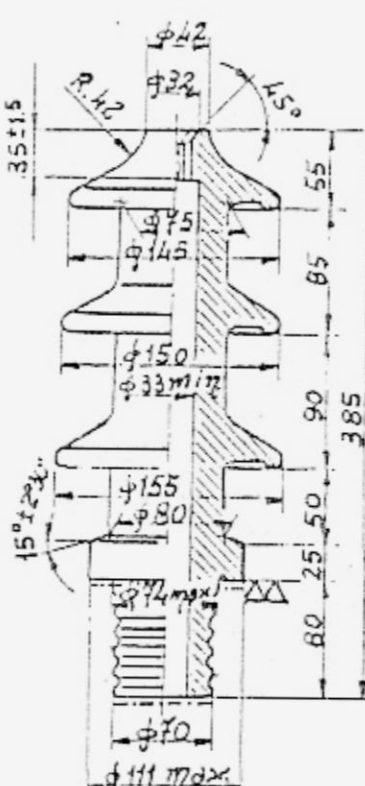
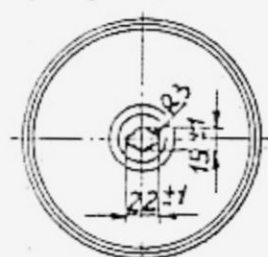
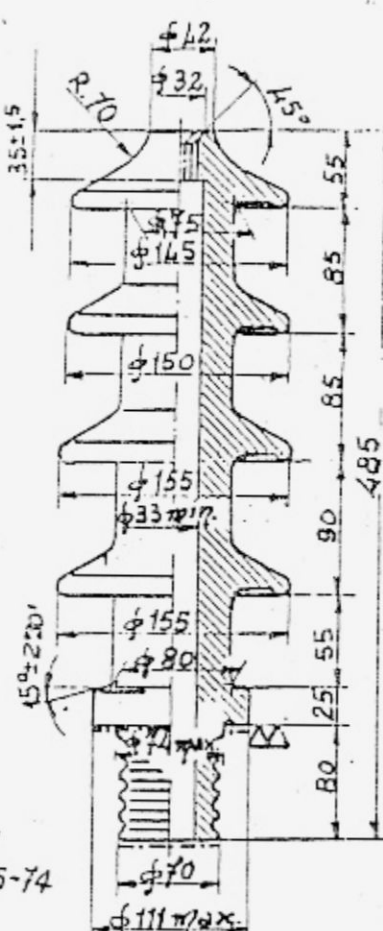
DT30NF 250



Isol. 20389-10NF DIN 42531

Impiego:

DT10NF 250-DT20NF 250

Isol. 20391-20NF DIN 42531  
UNEL 38145-74

Isol. 21247-30NF DIN 42531

Isol. 20390-10NF DIN 42531  
UNEL 38145-74

Smalto: marrone — non smaltato

Tolleranze generali: DIN 50680 grado grossolano

T915184

Transformador Monofásico en Aceite para Montaje en Poste  
 Dimensiones y Pesos Aproximados

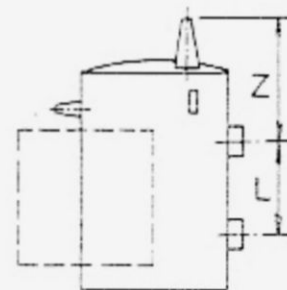
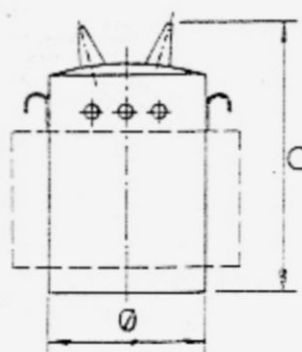
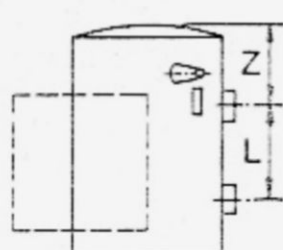
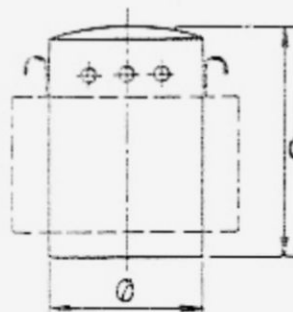
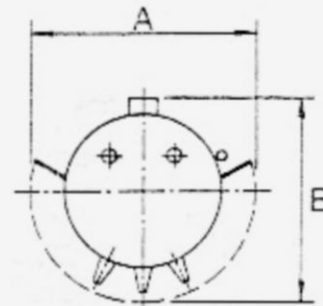
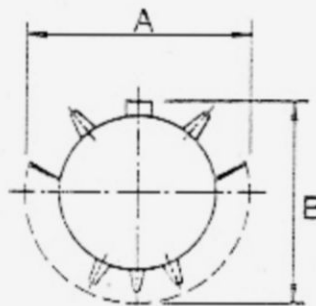


FIG. 1: Bornes AT Laterales

FIG. 2: Bornes AT sobre la tapa

FIG.	Tensiones (kV)		Potencia	Dimensiones en (mm)						Peso (kg.)	
	A.T.	B.T.		B	A	B	C	L	Z	Aceite	Total
1	7.2 48/832Y	0.120/0.240	15	480	700	660	850	285	260	82	210
			25	480	700	660	850	285	260	82	220
			37,5	480	700	660	1055	285	327	108	290
			50	480	700	660	1055	285	327	108	300
			75 *	525	800	700	1105	590	215	142	455
			100*	525	800	700	1105	590	215	140	465
2	12	0.120/0.240	15	480	600	660	1100	285	490	82	210
			25	480	600	660	1100	285	490	82	220
			37,5	480	600	660	1305	285	540	108	290
			50	480	600	660	1305	285	540	108	300
			75 *	525	730	700	1365	590	475	142	455
			100*	525	730	700	1365	590	475	140	465

1000 m.s.n.m.

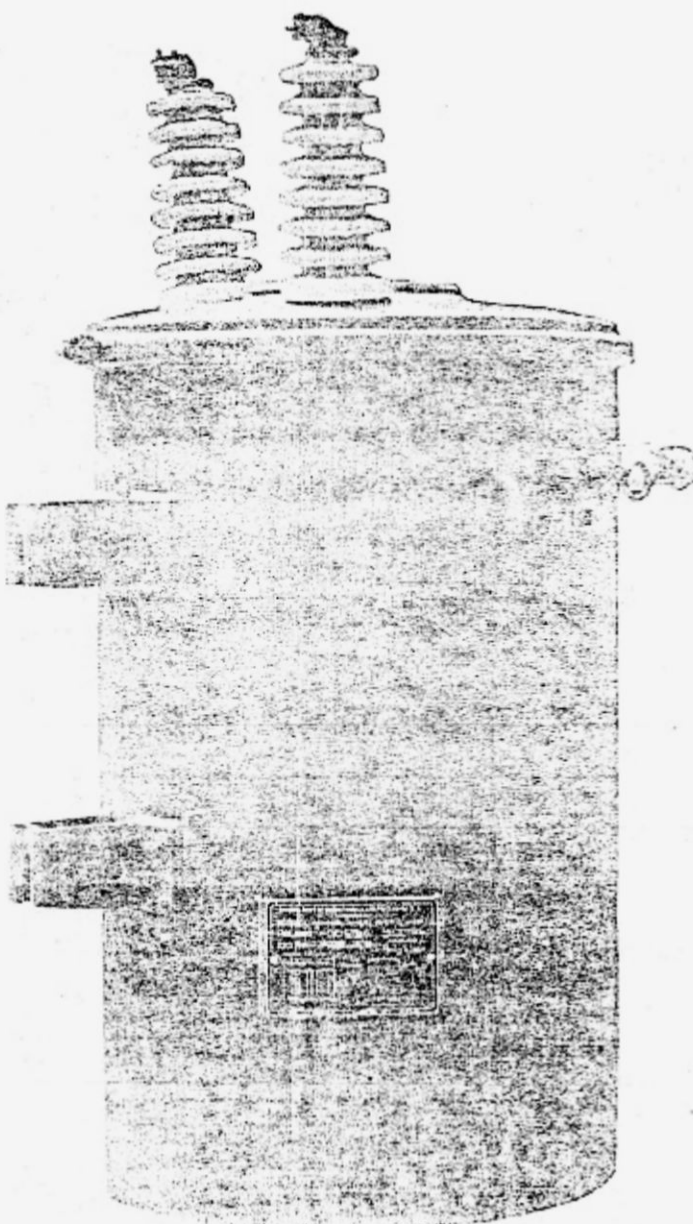
\* con aletas de refrigeración.

NOS RESERVAMOS EL DERECHO DE  
 INTRODUCIR CAMBIOS EN EL  
 DISEÑO, DIMENSIONES, ETC.

Brown Boveri Industrial Cánepe Tabiai S. A.

Av. Argentina 3120 - Telf. 527641 - Apartado Postal 3846  
Cables: Brownboveri Lima - Telex: 20146 - PE - BBICT  
LIMA - PERU

BBC  
BROWN BOVERI



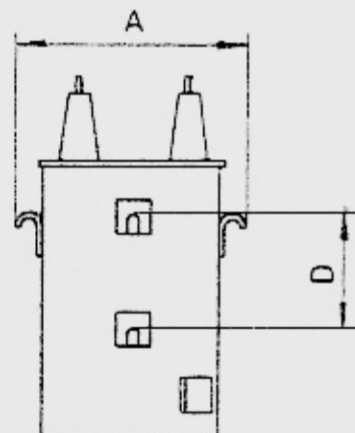
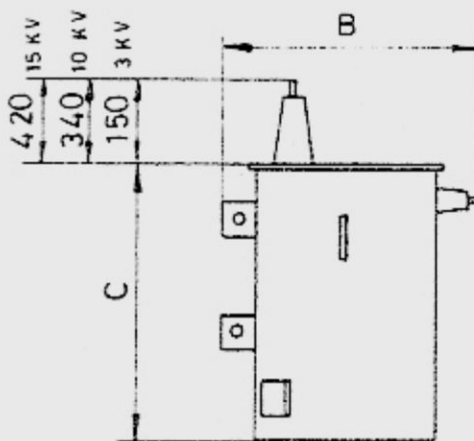
#### TRANSFORMADOR MONOFASICO TIPICO PARA MONTAJE EN POSTE

Nuestra firma ha incursionado con marcado éxito en la fabricación de transformadores monofásicos de distribución para instalación en poste, logrando una gran racionalización en su producción y por ende precios muy competitivos en el Mercado Internacional. Su bajo costo y alta calidad han orientado a las principales empresas de energía eléctrica en el Perú, utilizar este tipo de transformadores en la electrificación de zonas rurales y Ciudades satélites de la Capital.



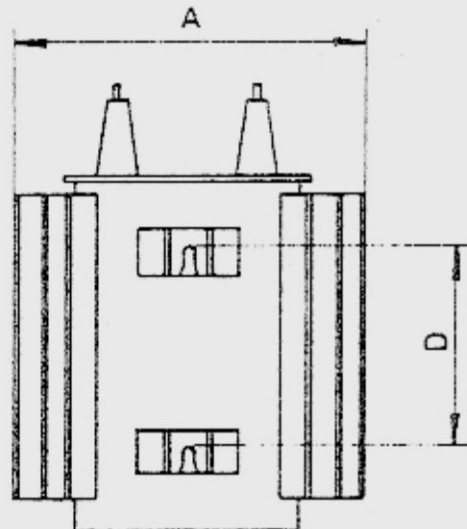
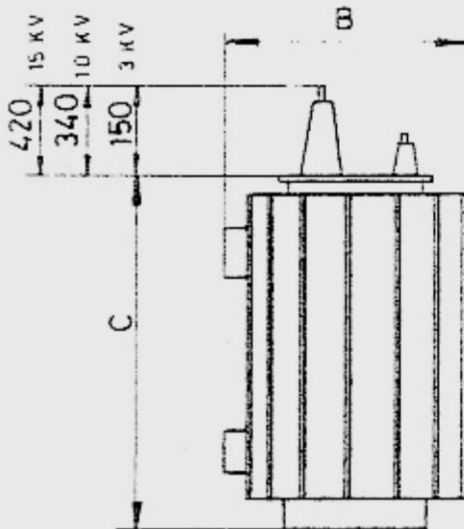
# TRANSFORMADORES MONOFASICOS DELCROSA

DEVANADOS EN ACEITE CON ENFRIAMIENTO NATURAL  
A.T. DESDE 3KV HASTA 15KV B.T. HASTA 600V (CONEX. SER-PAR)



TIPO	POTENCIA KVA	Dimensiones aproximadas en mm.					PESO Kg.
		A	B	C	D	E	
TPN101	5	540	660	600	285	TIPO A	120
TPN102	15	540	660	700	285	TIPO A	155
TPN103	25	540	660	800	285	TIPO A	200

AGARRADERAS (VER E')



TIPO	POTENCIA KVA	Dimensiones aproximadas en mm.					PESO Kg.
		A	B	C	D	E	
TPN 1065	37,5	660	470	770	285	TIPO A	250
TPN 1079	50	750	470	820	285	TIPO A	310
TPN 1092	64	790	560	970	590	TIPO B	420
TPN 1092	75	790	560	970	590	TIPO B	440
TPN 1112	100	850	600	1030	590	TIPO B	560

TN 0138-B



PRIMERA FABRICA DE MOTORES Y REDUCTORES.  
DE VELOCIDAD DEL GRUPO ANDINO.

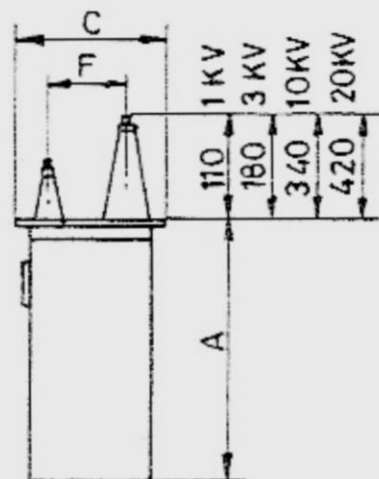
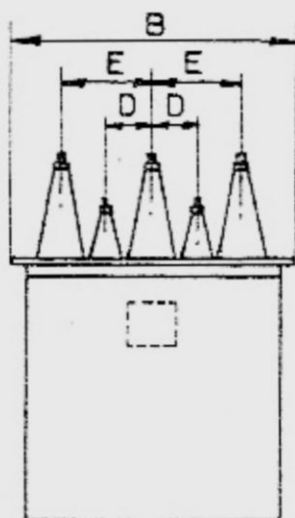
Av. Argentina 1509 al 1549 Apartado 48 Teléfono 310677-Cables Delcrosa-Telex 25665 PE-LIMA-1 PERU

# TRANSFORMADORES TRIFASICOS DELCROSA

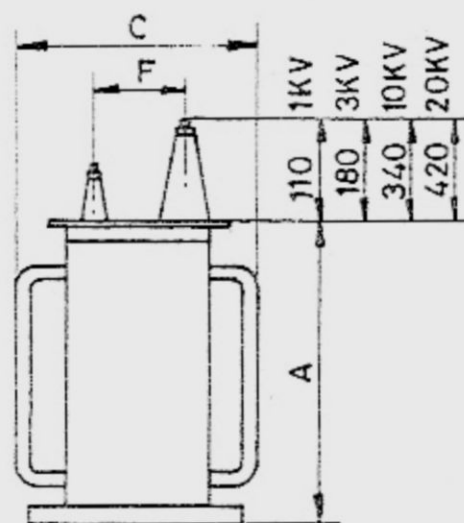
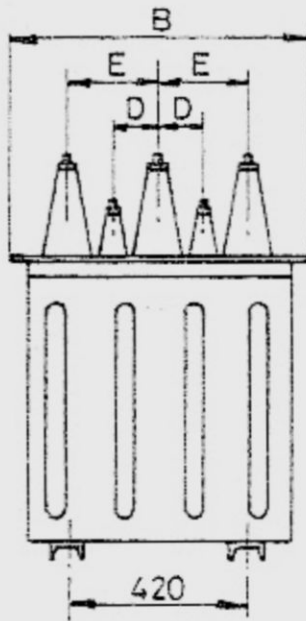
DE VANADOS EN ACEITE CON ENFRIAMIENTO NATURAL

AISL. CLASE A 60 Hz.

NORMAS: IEC 76, ITINTEC 370.002



TIPO	POTENCIA KVA.	DIMENSIONES APROXIMADAS EN mm.						PESO TOTAL Kg
		A	B	C	D	E	F	
TED 3034	10	710	635	345	150	230	170	200
TED 3046	25	800	715	375	150	230	200	300



TIPO	POTENCIA KVA	DIMENSIONES APROXIMADAS EN mm.						PESO TOTAL Kg.
		A	B	C	D	E	F	
TED 3058	37.5	810	755	590	150	280	210	365
TED 3065	50	830	775	600	150	280	220	425
TED 3079	80	960	835	620	150	280	240	500

NOS RESERVAMOS EL DERECHO DE CAMBIOS EN LAS DIMENSIONES Y PESO

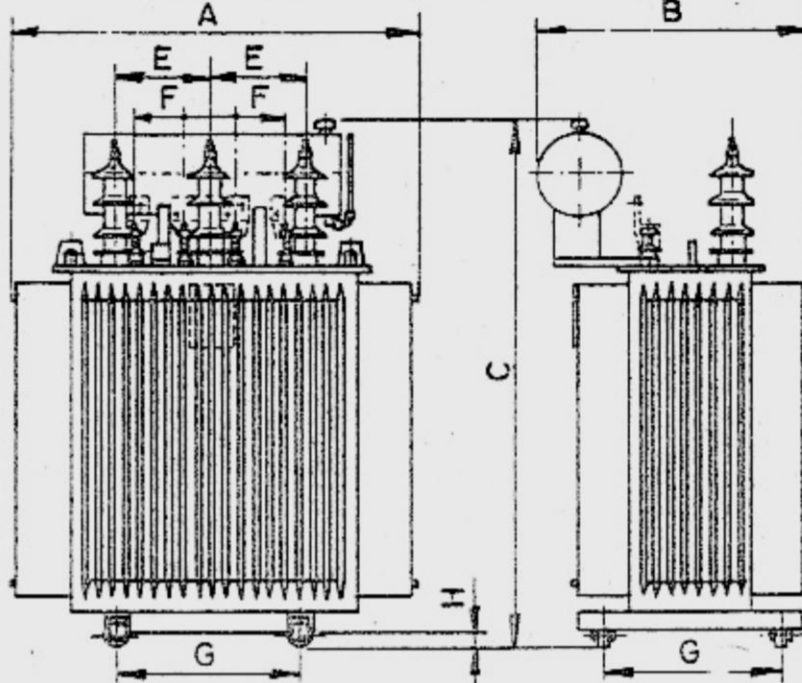


PRIMERA FABRICA DE MOTORES Y REDUCTORES  
DE VELOCIDAD DEL GRUPO ANDINO

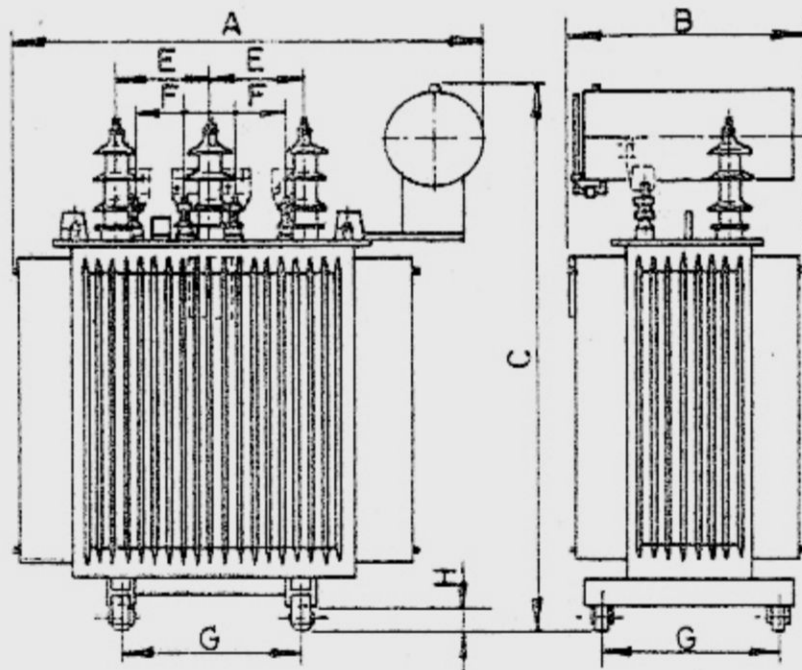
Av.Argentina 1509 al 1549 Apartado 48 Teléfono 310677-Cables Delcrosa-Telex 25665 PE-LIMA-1 PERU

**TRANSFORMADORES TRIFASICOS DELCROSA  
DEVANADOS EN ACEITE CON ENFRIAMIENTO NATURAL**

AISL. CLASE A 60 Hz. NORMAS: IEC76, ITINTEC 370.002.



TIPO	KVA	DIMENSIONES (m.m.)							PESOS (Kg.)		
		A	B	C	E	F	G	H	PART. ACT.	ACEITE	TOTAL
TECD 3092	100	930	690	1590	280	100	450	90	410	210	730
TECD 3112	160	990	760	1620	300	160	450	90	530	260	930
TECD 3153	250	1170	850	1690	300	160	570	90	680	320	1210



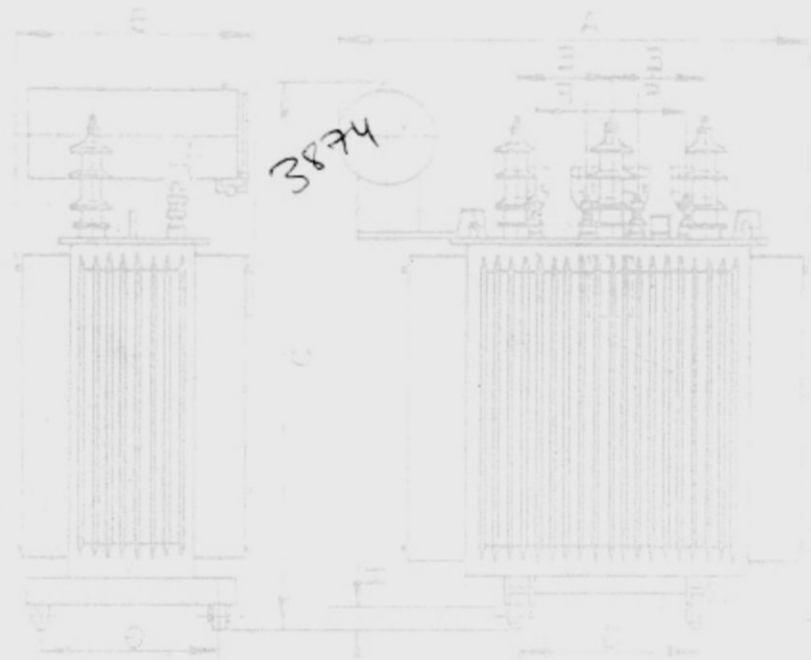
TIPO	KVA	DIMENSIONES (mm)							PESOS (Kg.)		
		A	B	C	E	F	G	H	PART. ACT.	ACEITE	TOTAL
TECD 3205	400	1560	830	1870	300	160	570	90	990	420	1710
TECD 3267	630	1720	980	2070	300	160	570	140	1340	550	2340
TECD 3322	1000	1785	1020	2280	300	160	820	140	1870	750	3300
TECD 3393	1600	2050	1085	2590	400	240	820	140	2420	950	4250

NOS RESERVAMOS EL DERECHO DE CAMBIOS EN LAS DIMENSIONES Y PESOS

TRANSFORMADORES TRIFÁSICOS DELCRADO  
DE ANODO EN ACEITE CON ENERGÍAS MÁXIMAS  
A ISL GRABE A 80 HZ NORMAS IEC 25, IITN 2350005



TOTAL	KVA	MENSURACIONES (mm)	OBLIGATORIAS						AVL	COT
			A	B	C	D	E	F		
150	150	4800	1000	1000	1000	1000	1000	1000	60	80
300	300	4800	1000	1000	1000	1000	1000	1000	120	120
500	500	4800	1000	1000	1000	1000	1000	1000	200	200
750	750	4800	1000	1000	1000	1000	1000	1000	300	300
1250	1250	4800	1000	1000	1000	1000	1000	1000	450	450
1500	1500	4800	1000	1000	1000	1000	1000	1000	500	500
1800	1800	4800	1000	1000	1000	1000	1000	1000	550	550
2250	2250	4800	1000	1000	1000	1000	1000	1000	650	650
2500	2500	4800	1000	1000	1000	1000	1000	1000	700	700
2800	2800	4800	1000	1000	1000	1000	1000	1000	750	750
3000	3000	4800	1000	1000	1000	1000	1000	1000	800	800
3300	3300	4800	1000	1000	1000	1000	1000	1000	850	850
3500	3500	4800	1000	1000	1000	1000	1000	1000	900	900
3800	3800	4800	1000	1000	1000	1000	1000	1000	950	950
4000	4000	4800	1000	1000	1000	1000	1000	1000	1000	1000



TOTAL	KVA	MENSURACIONES (mm)	OBLIGATORIAS						AVL	COT
			A	B	C	D	E	F		
150	150	4800	1000	1000	1000	1000	1000	1000	60	80
300	300	4800	1000	1000	1000	1000	1000	1000	120	120
500	500	4800	1000	1000	1000	1000	1000	1000	200	200
750	750	4800	1000	1000	1000	1000	1000	1000	300	300
1250	1250	4800	1000	1000	1000	1000	1000	1000	450	450
1500	1500	4800	1000	1000	1000	1000	1000	1000	500	500
1800	1800	4800	1000	1000	1000	1000	1000	1000	550	550
2250	2250	4800	1000	1000	1000	1000	1000	1000	650	650
2500	2500	4800	1000	1000	1000	1000	1000	1000	700	700
2800	2800	4800	1000	1000	1000	1000	1000	1000	750	750
3000	3000	4800	1000	1000	1000	1000	1000	1000	800	800
3300	3300	4800	1000	1000	1000	1000	1000	1000	850	850
3500	3500	4800	1000	1000	1000	1000	1000	1000	900	900
3800	3800	4800	1000	1000	1000	1000	1000	1000	950	950
4000	4000	4800	1000	1000	1000	1000	1000	1000	1000	1000